

最適 피이드백 制御系統의 構成에 關한 研究

(A Study on Optimal Feedback
Control System Structure)

梁 注 鎬

Joo-Ho Yong

< 目 次 >

Abstract

記號說明

第 1 章 序 論

第 2 章 最適 피이드백 制御系統

第 3 章 最適 피이드백 制御를 위한 狀態觀測器의 設計

第 4 章 디지털 制御器의 構成

第 5 章 數值計算 및 應答 시물레이션

第 6 章 마이크로 컴퓨터를 利用한 實時間 制御實驗

第 7 章 檢 討

第 8 章 結 論

參考文獻

A Study on Optimal Feedback Control System Structure

Yöng, Joo Ho

*** ABSTRACT ***

The PID controller is one of the most popular devices for control systems and the adjustment of its parameter is very important, because the stability and the characteristics of feedback control systems quite depend upon the values of its parameters.

Among the various methods for parameter adjustment of the PID controller, the methods which have been commonly used are the ultimate sensitivity method, the transient response method, the Cohen-Coon method and the modified Ziegler-Nichols method etc..

But, these methods are not recommendable in the view of saving energy because those have been accomplished by semiempirical rules and have been considered only in the view of improvement of the control performance.

In the modern control theory that is established in the beginning of sixties, a quadratic form ($J = \int_0^T (x(t)^T Q x(t) + u(t)^T R u(t)) dt$) is introduced as a criterion function which is considered not only to improve the quality of control but also to save the energy required for the control.

Many peoples have studied to obtain the optimal control input which minimizes the criterion function of quadratic form by means

of the optimal control theory, that is, the calculus of variation, the maximum principle and the dynamic programming etc..

It was required to discuss the relation between the modern optimal control theory and the PID controller and a few of studies on the parameter adjustment of the PID controller using the optimal control theory have been done by Yen-Ping Shih & Chih-Jian Chen and Stefano Marsili-Libelli etc..

In this paper, author makes the augmented system equation which is suited to the quadratic criterion function and proposes a method to compose the optimal feedback control system by means of the maximum principle minimizing the quadratic criterion function and establishes a link between the conventional parameter adjustment method and the technique of the modern optimal control theory in the design of the PID controller.

And author proposes a method to design the reduced order state observer and to compose the optimal feedback control systems for the higher order systems and confirms the utility of the method by the digital computer simulations for various plants.

At the end, the real time optimal state feedback control systems for various plants realized by an analog computer are constructed by means of a microcomputer, A/D converter and D/A converter. Time responses of the real time control systems are compared with those obtained by the digital computer simulation and their well coincidence is confirmed.

NOMENCLATURE

- A : augmented system matrix
 A_0 : (n-1)th order controlled system matrix
 \bar{A} : system matrix after 1st nonsingular transformation
 $\bar{A}_{11}, \bar{A}_{12}, \bar{A}_{21}, \bar{A}_{22}$; segment matrices of matrix \bar{A}
 \tilde{A} : system matrix after 2nd nonsingular transformation
 $\tilde{A}_{11}, \tilde{A}_{12}, \tilde{A}_{21}, \tilde{A}_{22}$; segment matrices of matrix \tilde{A}
 a_i : coefficients of dominator of the transfer function of the plant
 \tilde{a}_{ij} : elements of matrix \tilde{A}_{22}
 b : coefficients of numerator of the transfer function of the plant
 B : input matrix of the augmented system
 B_0 : input matrix of the plant
 \bar{B} : input matrix after 1st nonsingular transformation
 \bar{B}_1, \bar{B}_2 : segment matrices of matrix \bar{B}
 \tilde{B} : input matrix after 2nd nonsingular transformation
 \tilde{B}_1, \tilde{B}_2 : segment matrices of matrix \tilde{B}
 C : output matrix consist of matrix C_e and vector f
 C_e : output matrix of the augmented system
 C_0 : output matrix of the plant
 \bar{C} : output matrix after 1st nonsingular transformation

- \bar{C}_1, \bar{C}_2 ;segment matrices of matrix \bar{C}
- D ;segment matrix of the transform matrix T_1
- E ; $(n-2) \times n$ matrix
- $\bar{e}(t)$;estimate error of the observer after 1st nonsingular transformation
- $\tilde{e}(t)$;estimate error of the observer after 2nd nonsingular transformation
- F ;solution matrix of the Ricatti matrix equation
- F_{ij} ;elements of matrix F
- f_i ;optimal feed back gains
- g_i ;coefficients of the standard digital PID controller
- g'_i ;coefficients of the modified digital PID controller
- H ; $(n-2) \times 2$ segment matrix of transform matrix T_2
- h_{ij} ;elements of matrix H
- I_n ; $n \times n$ Identity matrix
- I, J ;performance indices of quadratic form
- k ;discrete time(kT)
- K_p ;proportional gain
- Q ;weighting matrices for state $x(t)$
- q_1 ;diagonal elements of matrix Q
- R ;weighting matrix for vector input
- r ;weighting coefficient for scalar input $u(t)$
- S ;Laplace operator

T	;sampling time
T_d	;derivative time
T_i	;integral time
T_1	;nonsingular matrix for 1st transformation
T_2	;nonsingular matrix for 2nd transformation
$u(t)$;input for the plant
u_s	;steady state value of input u
$\bar{u}(t)$; $u_s - u(t)$
$\bar{u}^o(t)$;optimal input of $\bar{u}(t)$
$v(t)$;measurement error vector
$w(t)$;state vector of the reduced order observer
$x(t)$;state vector of the augmented system
x_{1s}	;steady state of state variable $x_1(t)$
$\bar{x}(t)$;state vector after 1st nonsingular transformation
$\tilde{x}(t)$;state vector after 2nd nonsingular transformation
$\hat{x}(t)$;estimated state variable of $x(t)$
\bar{x}_1, \bar{x}_2	;segment vectors of state vector $\bar{x}(t)$
\tilde{x}_1, \tilde{x}_2	;segment vectors of state vector $\tilde{x}(t)$
$y(t)$;output vector for the reduced order observer design
$y_e(t)$;output of the augmented system
$y_c(t)$;output of the PID controller
z	;z-transfrom operater
$\phi(t)$;state vecttor of the plant

最適 피드백 制御系統의 構成에 關한 研究

$\rho(t)$; output of the plant

ρ^0 ; reference value

λ ; eigenvalue

$$\dot{x}(t) = \frac{dx(t)}{dt}$$

$\det[A]$ or $|A|$; determinant

A^T, f^T ; transpose of matrix A and vector f

A^{-1} ; inverse of matrix A



第1章 : 序 論

制御理論은 古典的制御理論(classical control theory)과 現代制御理論(modern control theory)으로 大別할 수 있으며, 古典的制御理論에서는 피이드백 방식이 原則이고, 이와 같은 피이드백 制御는 J.Watt의 蒸汽機關의 調速機로 부터 시작하여 오래 전부터 使用되어 왔으며 오늘날에도 産業現場에서 가장 널리 使用되고 있는 制御 方法이다. 이 피이드백 制御에서는 주로 比例動作, 積分動作 및 微分動作의 3項 動作을 하는 PID 制御機가 그 中樞的인 役活을 하고 있는 바 이 PID制御器의 比例帶, 微分時間, 積分時間 等の 파라미터 값에 따라 피이드백 制御系統의 安定性 및 制御特性이 顯著하게 달라지기 때문에 PID 制御器의 파라미터의 값을 適節하게 調整하는 것은 매우 重要的 問題로서 오래전부터 많은 사람들에 의해 研究 發表 되었다. 그중에서도 일찌기 Ziegler와 Nichols에 의해 制御應答에 있어서 基本振動數의 1周期당 減幅比가 25%가 되도록 制御器의 파라미터를 調整하는 것이 좋다고 하는 限界感度法(ultimate sensitivity method) 1), 또 單位階段應答으로 부터 steepest slope 와 遲延時間을 구하여 이들로부터 PID制御器의 파라미터를 選定하는 過度應答法(transient response method) 2), 달리 單位 階段應答으로 부터 slope 와 reaction point 및 reaction point 에서의 기울기와 時間軸과의 交叉點을 구하여 이들로 부터 PID制御器의 파라미터를 選定하는 Cohen-Coon method 3), Ziegler 와 Nichols 의 限界感度法을 自勵振動이 일어나지 않는 시스

법에 대하여 適用할 수 있도록 修定한 Modified Ziegler Nichols method 4,5) 등이 많이 이용되어 왔다.

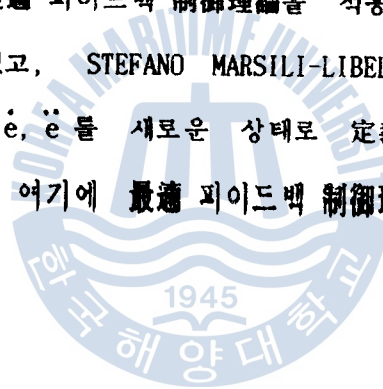
그러나 이 方法들은 正確한 理論的인 根據에서보다는 經驗的인 事實에 의한 것이니 데다가 단지 制御의 質만을 考慮하여 制御器를 設計하는 方法들이라 따라서 이 경우에는 制御에 큰 에너지를 消耗하게 되어 에너지 節約의 側面에서는 비합적하지 못할 경우도 많다.

이런이 1960년대 初에 定立된 現代制御理論에서는 一般的으로 制御의 質과 제어에 必要되는 에너지 및 기공의 量으로 주어지는 評價函數을 導入하고, 變分法(calculus of variation) (6,7), 最小原理(principle of minimum) (8,14) 및 動的計劃法(dynamic programming) (9,10) 등을 利用한 最適制御理論에 의하여 위의 評價函數을 最小으로 하는 最適制御入力を 구하는 問題 즉, 最短期間制御問題 (8,19), 最小에너지問題 (8) 등에 關한 研究가 많이 發表되어 왔다.

그러나 이 最適制御理論에 의하여 計算되는 最適制御入力, 즉 最適操作量은 일반적으로 時間의 函數로서 이 操作量으로 플랜트가 動作하면 이것은 개루우프(open loop)制御가 된다. 그러나 물론 實계의 數學的 모형이 이따간저간 近似的이고 퍼레미터도 誤差를 包含하고 있으며 最適操作量 자체도 誤差가 있으므로 時間함수로 求하여진 最適操作量으로 개루우프 制御를 할 경우에는 目標值에 到達할 수 없는 일이 일어날 수도 있다. 그러므로 最適制御에서도 피이드백 方式을 적용하면 外亂이나 操作量の 誤差의 影響을 줄일 수 있는 利點이 있다.

여기서 이러한 最適피드백 制御理論을 目標値의 性質에 따라서 各各 달리 適用한 것으로서 最適 Regulator問題 (20-23), 最適 Tracking問題 (24-26) 등이 있으며 또한 最適制御理論과 PID制御器와의 關連性 問題에 대한 檢討가 要求되어 最近 最適制御理論에 의한 PID 制御器의 파라미터 選定法에 관한 研究가 이루어진 바 있다. (5,27-30)

즉, YEN-PING SHIH 와 CHIN-JIAN CHEN (5)은 플란트의 出力을 $\rho(t)$ 라 할 때 이 出力의 積分 $\int \rho(t)dt$ 를 새로운 狀態로 定義하고 여기에 最適 피드백 制御理論을 적용하여 PID 制御器의 파라미터를 選定하였고, STEFANO MARSILI-LIBELL (30)은 제어편차를 e 라 할 때 e, \dot{e}, \ddot{e} 를 새로운 狀態로 定義하여 오그멘트 狀態方程式을 세우고 여기에 最適 피드백 制御理論을 적용시켜 最適制



템에 대하여 適用할 수 있도록 修定한 Modified Ziegler Nichols method 4.5) 등이 많이 이용되어 왔다.

그러나 이 方法들은 正確한 理論的인 根據에서보다는 經驗的인 事實에 의한 것인 데다가 단지 制御의 質만을 考慮하여 制御器를 設計하는 方法들이다. 따라서 이 경우에는 制御에 큰 에너지를 消耗하게 되어 에너지 節約의 側面에서는 바람직하지 못할 경우도 있다.

또한 1960년대 初에 定立된 現代制御理論에서는 一般的으로 制御의 質과 제어에 소요되는 에너지 및 시간의 함수로 주어지는 評價函數을 導入하고, 變分法(variational calculus) 6,7), 最大原理(maximum principle, 8-14) 및 動的計劃法(dynamic programming) 15-17) 등을 利用한 最適制御理論에 의하여 위의 評價函數을 最小으로 하는 最適制御入力を 구하는 問題 즉, 最短時間制御問題 18, 19), 最小에너지問題 18) 등이 關한 研究가 많이 發表되어 왔다.

그러나 (C) 最適制御理論에 의해서 計算되는 最適制御入力, 즉 最適操作量은 일반적으로 時間의 函數로서 이 操作量으로 操作된 系統 控制하면 이것은 개루우프(open loop)制御로 된다. 그러나 結論으로 言하면 數學的 方法이 아니라 近似的이고 퍼래미터도 誤差를 包含하고 있으며 最適操作量 자체도 誤差가 있으므로 時間함수로 求하여진 最適操作量으로 개루우프 制御를 할 경우에는 目標值에 到達할 수 없는 일이 일어날 수도 있다. 그러므로 最適制御에서도 피이드백 方式을 적용하면 外亂이나 操作量の 誤差의 影響을 줄일 수 있는 利點이 있다.

여기서 이러한 最適 피이드백 制御理論을 目標値의 性質에 따라서 各各 달리 適用한 것으로서 最適 Regulator問題 (20-23), 最適 Tracking問題 (24-26) 等이 있으며 또한 最適制御理論과 PID制御器와의 關連性 問題에 대한 檢討가 要求되어 最近 最適制御理論에 의한 PID 制御器의 파라미터 選定法에 관한 研究가 이루어진 바 있다. (5, 27-30)

즉, YEN-PING SHIH 와 CHIN-JIAN CHEN (5)은 플란트의 出力을 $\rho(t)$ 라 할 때 이 出力의 積分 $\int \rho(t)dt$ 를 새로운 狀態로 定義하고 여기에 最適 피이드백 制御理論을 적용하여 PID 制御器의 파라미터를 選定하였고, STEFANO MARSILI-LIBELL (30)은 제어편차를 e 라 할 때 e, \dot{e}, \ddot{e} 를 새로운 狀態로 定義하여 오그멘트 狀態方程式을 세우고 여기에 最適 피이드백 制御理論을 적용시켜 最適制御 入力를 나타내는 식을 구하고 이 식을 時間에 대해 한번 積分함으로써 PID 制御器의 3項을 誘導하여 各 파라미터를 選定하는 方法을 提案하였다.

위의 두 方法 中 前者에 의한 方法은 制御對象이 2次인 시스템까지는 適用 可能하나 그 以上の 시스템에 대해서는 適用할 수 없는 缺點이 있으며, 後者の 方法에 의하면 評價函數 속에 制御入力の 2次形式 대신에 制御入力の 微分에 대한 2次形式이 들어 있게 되어 경우에 따라서 物理的인 意味를 잃게되는 缺陷이 있다.

本 연구에서는 일반적인 피이드백 制御系統에 대하여 2次形式의 評價函數를 導入하고 이 評價函數에 適合한 플란트의 狀態

最適 피드백 制御系統의 構成에 關한 研究

方程式을 導出한 다음, Pontryagin의 最大原理를 利用하여 이 評價函數를 最小로 하는 最適制御入力を 구함으로서 最適피드백 制御系統을 구성하고 이것으로 부터 종전의 PID制御器의 퍼래미터와 最適制御 理論과의 相互關係를 考察한다.

그리고 制御對象이 高次系인 경우 최적피드백 制御를 行하기 위해서는 觀測器가 必須적으로 要求되는 바 本 연구에서는 最小次元의 部分狀態觀測器를 設計하고 디지털 시뮬레이션 및 마이크로 컴퓨터를 이용한 實時間 制御實驗을 通하여 本 方法의 妥當性を 檢討한다.

本 論文은 8章으로 이루어져 있으며 第1章은 序論이고, 第2章에서는 最大原理를 利用하여 最適피드백 制御系統을 設計하고, 이렇게 構成된 最適피드백 制御系統과 PID 制御器의 퍼래미터와의 關係를 鮮明하기 위하여 制御對象의 1~3次系인 시스템에 대해 서 具體적인 例를 든다.

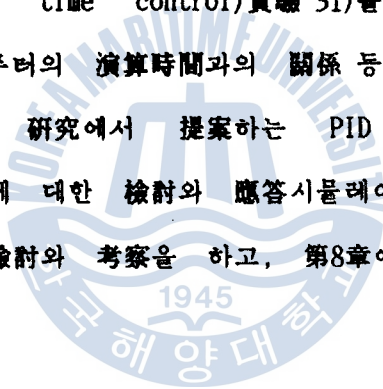
第3章에서는 最小次元의 部分狀態觀測器에 대해 簡單히 言及한 後 第2章에서 設計된 PID 制御器의 入出力으로서 새로운 出力方程式을 세우고 이 出力方程式과 操作量으로 부터 最小次元의 部分 觀測器를 構築하는 問題를 다룬다.

第4章에서는 第2章 및 第3章에서의 觀測器를 包含하는 制御器를 考구하고 이를 利用하여 實現시키기 위하여 連續 PID 制御器를 標準形 디지털 PID 制御器 또는 確定된 디지털 PID 制御器의 알고리즘으로 制御器를 구성하고 制御器도 離散形으로 構成한다.

第5章에서는 여러 制御對象에 대하여 피이드백 계인 및 評價函數의 最適值을 計算하고, 本 研究에서 提案하는 方法으로 構成된 最適피이드백 制御系統에 대해서 應答 시뮬레이션을 행하고, 그 妥當性을 檢討하기 위하여 2차계인 制御對象에 대하여 修定된 Ziegler-Nichols 方法에 의한 應答과 比較 檢討한다.

第6章에서는 以上과 같은 內容을 土臺로 하여 最適피이드백 制御를 위한 CAD(computer aided design)와 制御器 및 觀測器를 最近 兪進적으로 發展하고 있는 마이크로 컴퓨터로서 實現시키는 實時間 制御(real time control)實驗 3)을 행하고 샘플링 時間 및 마이크로 컴퓨터의 演算時間과의 關係 등에 대해서 檢討한다.

第7章에서는 本 研究에서 提案하는 PID 制御器 퍼래미터 選定 및 觀測器 構成에 대한 檢討와 應答시뮬레이션 및 實時間 制御實驗 등에 대한 檢討와 考察을 하고, 第8章에서 結論을 내린다.



第2章 : 最適 피이드백 制御系統

2-1 最適 制御理論을 利用하기 위한 플란트의 모델화

本 研究에서 이용한 制御對象으로는 식(2.1.1)과 같은 傳達函數 또는 식(2.1.2)와 같은 狀態方程式으로 表示되는 1入力 1出力의 (n-1)次の 시스템을 생각한다.

$$\frac{P(S)}{U(S)} = \frac{b}{S^{n-1} + a_1 S^{n-2} + a_2 S^{n-3} + \dots + a_{n-1}} \quad (2.1.1)$$

$$\left. \begin{aligned} \dot{\$}(t) &= A_0 \$ (t) + B_0 u(t) \\ P(t) &= C_0 \$ (t) \\ P^0 &= \text{reference value (目標值)} \end{aligned} \right\} \quad (2.1.2)$$

$$\text{단, } A_0 = \begin{bmatrix} 0 & 1 & 0 & \dots & 0 \\ 0 & 0 & 1 & \dots & 0 \\ \vdots & & & & \vdots \\ -a_{n-1} & -a_{n-2} & -a_{n-3} & \dots & -a_1 \end{bmatrix}$$

$$B_0 = \begin{bmatrix} 0 \\ 0 \\ \vdots \\ b \end{bmatrix}$$

$$C_0 = [1 \quad 0 \quad 0 \quad \dots \quad 0]$$

피이드백 方式의 最適 制御理論과 PID 제어기에 의한 피이드백 제

어와의 關係를 규명하고 PID 제어기의 最適 퍼라미터를 選定하려 면 우선 制御의 基準으로서 식(2.1.3)과 같은 評價函數를 이용하 여야 한다.

$$I = \int_0^{\infty} \frac{1}{2} (x(t)^T Q x(t) + u(t)^T R u(t)) dt \quad (2.1.3)$$

단, x : 狀態벡터

u : 制御入力벡터

Q, R : 適當한 次元의 荷重係數行列로써 Q 는 positive semi-definite, R 은 positive definite

그런데 식(2.1.3)의 積分이 收斂하고 評價函數의 값이 存在하려 면 다음의 條件을 滿足해야한다.

$$\begin{aligned} \lim_{t \rightarrow \infty} x(t) &= 0 \\ \lim_{t \rightarrow \infty} u(t) &= 0 \end{aligned} \quad (2.1.4)$$

그러나 식(2.1.2)와 같은 狀態方程式으로 表示되는 制御對象에 대하여 피이드백제어를 行하고 그 目標值를 ρ^0 라 하면 制御系가 安定할 때 狀態벡터 $\$$ 의 第1要素 $\$_1$ 및 入力 u 는 다음과 같 이 된다.

$$\begin{aligned} \lim_{t \rightarrow \infty} \$_1(t) &= \lim_{t \rightarrow \infty} \rho(t) = \rho^0 \\ \lim_{t \rightarrow \infty} u(t) &= \frac{a_{n-1}}{b} \rho^0 \end{aligned} \quad (2.1.5)$$

따라서 ρ^0 가 0이 아닌 以上 식(2.1.4)가 滿足되지 않는다.

또한 誤差의 積分이 狀態變數로 導入되지 않는 한 피드백방식의 最適制御理論으로는 積分動作의 制御動作은 實現될 수 없다. 따라서 本 研究에서는 최적제어이론을 PID 제어기에 의한 피드백 제어에 이용하기 위하여 狀態變數 x_1 를 다음과 같이 새로이 定義한다.

$$\int (\rho^0 - \rho) dt - x_{1s} = x_1(t)$$

$$\dot{x}_1(t) = \rho^0 - \rho = x_2(t), \quad (2.1.6)$$

$$\vdots$$

$$\dot{x}_n(t) = -a_{n-1}x_2(t) - a_{n-2}x_3(t) \cdots - a_1x_n(t) + b\bar{u}(t)$$

단, ρ^0 : 새로이 定義된 制御入力 ($u_2 = \rho^0$)

x_1 : 새로이 定義된 出力 ($\rho^0 - \rho$)

x_{1s} : ρ^0 에 對應하는 x_1 의 定常值

\bar{u} : ρ^0 에 對應하는 u 의 定常值

이상의 같이 새로운 狀態를 定義하면 오그멘트 狀態방정식은 (augmented state equation) 을 식(2.1.6)과 같은 $n \times n$ 次元으로 된다.

$$\begin{cases} \dot{x}(t) = Ax(t) + B\bar{u}(t) \\ y_0(t) = C_0x(t) \end{cases} \quad (2.1.7)$$

$$\text{단, } A = \begin{bmatrix} 0 & 1 & 0 & 0 & \cdots & 0 \\ 0 & 0 & 1 & 0 & \cdots & 0 \\ 0 & 0 & 0 & 1 & \cdots & 0 \\ \vdots & \vdots & \vdots & \vdots & \ddots & \vdots \\ C_0 & -a_{n-1} & -a_{n-2} & -a_{n-3} & \cdots & -a_1 \end{bmatrix}$$

$$B = \begin{bmatrix} 0 \\ 0 \\ \vdots \\ b \end{bmatrix}$$

$$C_e = [0 \quad 1 \quad 0 \quad 0 \quad \dots \quad 0]$$

다음에 評價函數는 식(2.1.8)과 같이 定義한다.

$$J = \int_0^{\infty} (x(t)^T Q x(t) + r \bar{u}(t)^2) dt \quad (2.1.8)$$

$$\text{단, } Q = \begin{bmatrix} q_1 & 0 & 0 & \dots & 0 \\ 0 & q_2 & 0 & \dots & 0 \\ \vdots & \vdots & \vdots & \ddots & \vdots \\ 0 & 0 & 0 & \dots & q_n \end{bmatrix} \quad (2.1.9)$$

: 荷重係數를 나타내는 準正値行列

$$q_i \geq 0$$

$$r > 0$$

2-2 最適 피이드백 制御系統의 構成

피이드백 方式의 最適 制御理論을 利用하여 最適 피이드백 制御系統을 구성하기 위하여 식(2.1.7)의 상태방정식으로 表示되는 시스템에 대하여 식(2.1.8)의 評價函數를 最小로 되게하는 制御入力 즉, 最適 制御入力 $\bar{u}^0(t)$ 를 Pontryagin의 最大原理를 利用하여 求하면 식(2.2.1)과 같이 된다.

$$\bar{u}^0(t) = -\frac{1}{r} B^T F x(t) \quad (2.2.1)$$

여기서 F는 식(2.2.2)와 같이 表示되는 Ricatti 行列方程式의 解行列로써 $n \times n$ 對稱 正值行列이다. (32-34)

$$FA + A^T F - FB r^{-1} B^T F + Q = 0 \quad (2.2.2)$$

行列 F의 ij 要素를 F_{ij} 라 하고 식(2.1.7)의 行列 B를 식(2.2.1)에 代入하면 다음과 같은 식을 얻는다.

$$\begin{aligned} \bar{u}^0(t) = & -(f_1 x_1(t) + f_2 x_2(t) + f_3 x_3(t)) \\ & -(f_4 x_4(t) + \dots + f_n x_n(t)) \end{aligned} \quad (2.2.3)$$

$$\text{단, } f_1 = \frac{b}{r} F_{1n}, \quad f_2 = \frac{b}{r} F_{2n}, \quad \dots \dots f_n = \frac{b}{r} F_{nn}$$

식(2.2.2)의 Ricatti 行列方程式에 대한 解析的인 解를 구하기는 일반적으로 困難하나 數值計算으로는 용이하게 구할 수 있다. 또한 플란트가 時不變이면 F_{ij} 도 시불변이므로 매번 계산할 필요

도 없다. 따라서 식(2.2.3)의 最適制御入力を 이용하여 용이하게 최적피드백 제어계통을 구성할 수가 있으며 이를 블록선도로 表示하면 Fig.1 과 같이 된다.

식(2.2.3)의 右邊에 있어서 첫번째 括號部分은 피드백제어계통에서 오래전부터 사용해 오던 PID 제어기로써 實現할 수 있으나 끝의 括號部分은 별도로 상태피드백을 행하여야 한다. 만일 이때 狀態를 直接 관측할 수 없으면 Fig.2 와 같이 觀測器를 이용하여 상태추정치를 구하여야 하며 이에 대해서는 第3章에서 論하기로 한다.



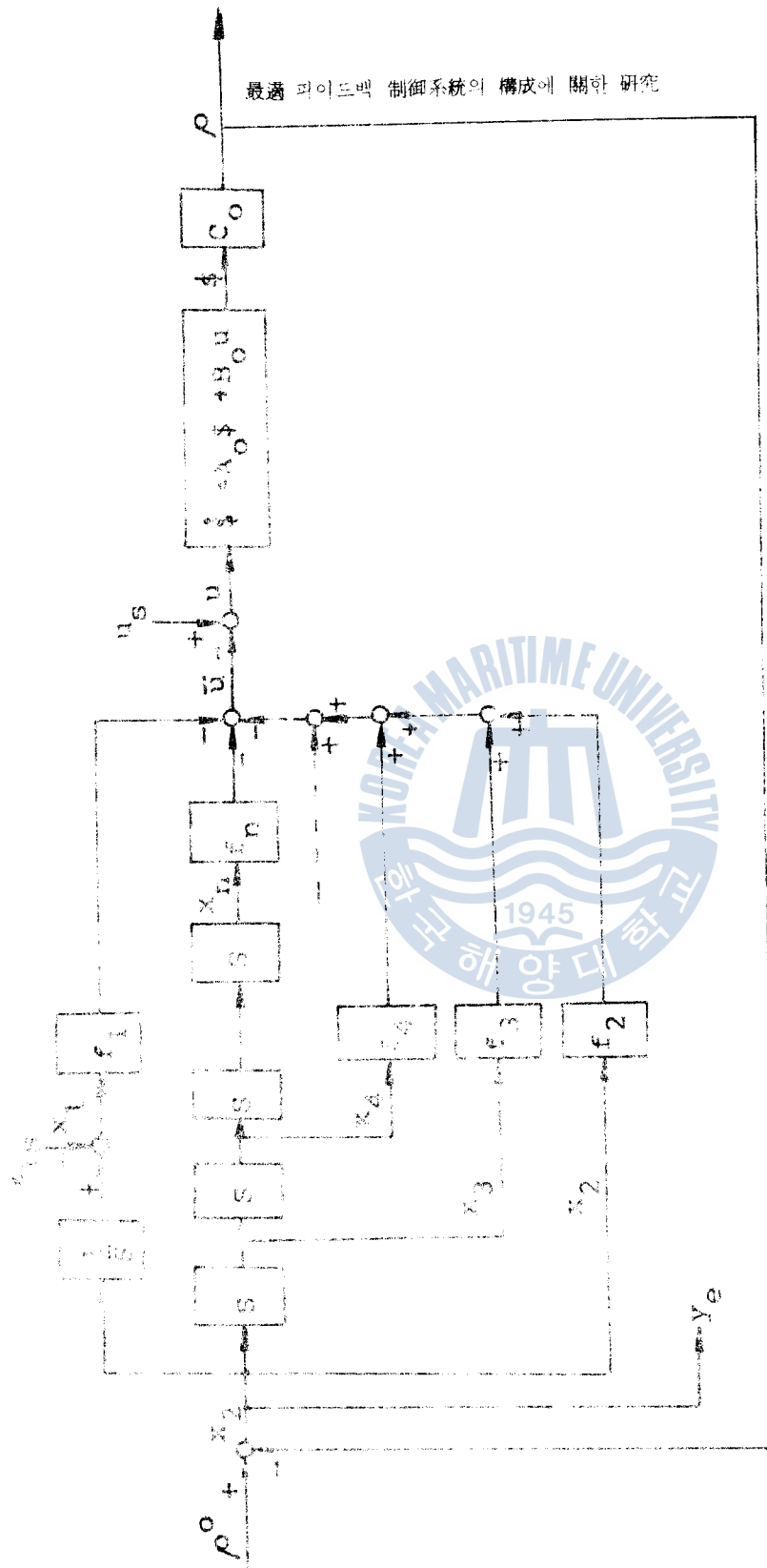


Fig. 1 Block diagram of (n-1)th order controlled system with optimal gains

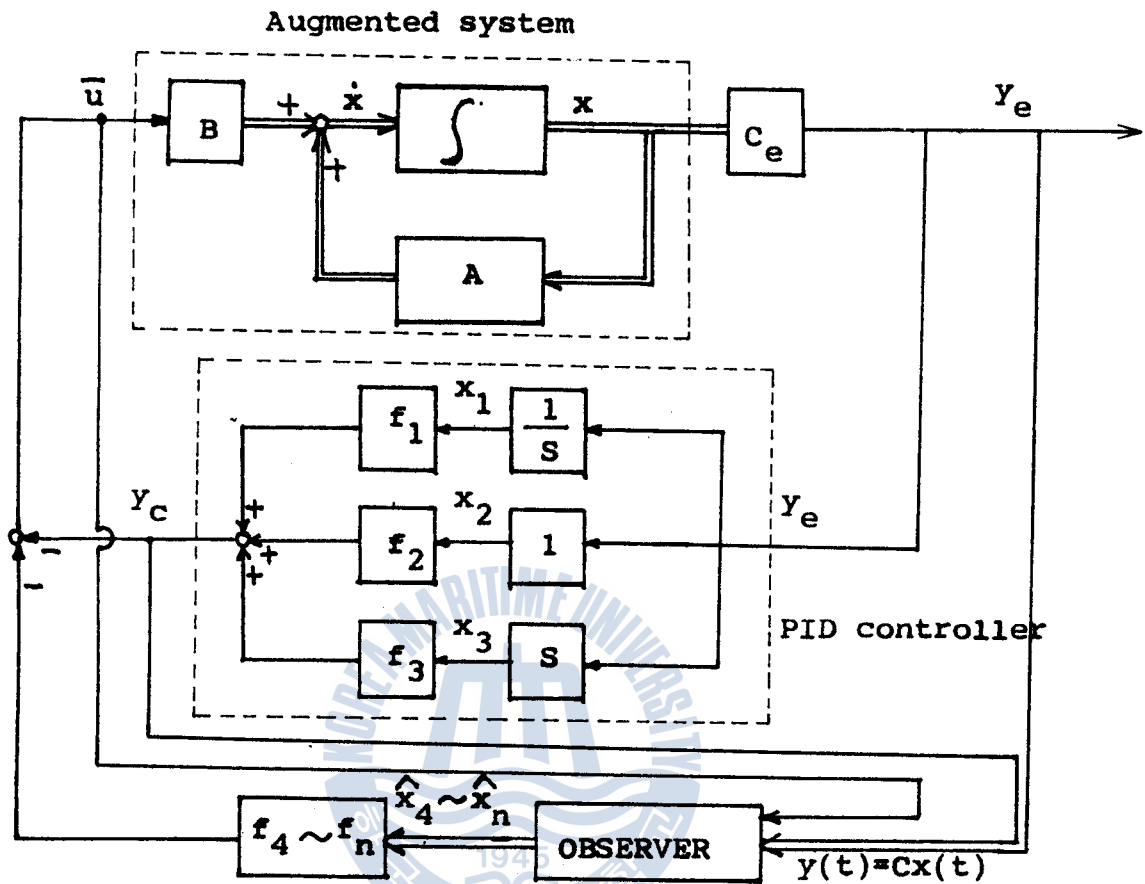


Fig.2 Block diagram of augmented system with optimal gains

2-3 PID 制御器의 퍼라미터 選定

2-2 절에서 最適制御入力の 일부는 PID 제어기로써 실현할 수 있다고 하였다. 이것을 이용하여 PID 制御器의 各 파라미터 즉 比例 感度 K_p , 積分時間 T_i , 微分時間 T_d 등의 최적치를 다음과 같이 選定할 수 있다.

$$K_p = \frac{b}{r} F_{2n}$$

$$T_i = F_{2n}/F_{1n} \tag{2.3.1}$$

$$T_d = F_{3n}/F_{2n}$$

식(2.2.3)을 利用하여 制御器를 構成하면 Fig.1과 같이 된다.

다음에 制御對象이 1次 ~ 3次인 경우에 대해서 Ricatti 方程式을 具體적으로 푸는 方法과 PID 제어기의 퍼라미터의 값을 選定하는 方法에 대해서 說明하기로 한다.

1) 1次 시스템에의 適用.

制御對象이 1次인 시스템의 狀態方程式 및 出力方程式은 식(2.3.

2)와 식(2.3.3)으로 주어진다.

$$\dot{\$}(t) = -a\$ (t) + bu(t) \tag{2.3.2}$$

$$\rho(t) = \$ (t) \tag{2.3.3}$$

ρ^0 = reference value ; 目標值

이 시스템에 대한 식(2.1.7)의 오그멘트 상태방정식은

$$\begin{bmatrix} \dot{x}_1(t) \\ \dot{x}_2(t) \end{bmatrix} = \begin{bmatrix} 0 & 1 \\ 0 & -a \end{bmatrix} \begin{bmatrix} x_1(t) \\ x_2(t) \end{bmatrix} + \begin{bmatrix} 0 \\ b \end{bmatrix} u \quad (2.3.4)$$

$$y_e(t) = \begin{bmatrix} 0 & 1 \end{bmatrix} \begin{bmatrix} x_1(t) & x_2(t) \end{bmatrix}^T \quad (2.3.5)$$

으로 되고 最適制御入力は 식(2.3.6)과 같이 된다.

$$\begin{aligned} \bar{u}^0(t) &= -\frac{1}{r} B^T F x(t) \\ &= -\frac{b}{r} (F_{12} x_1(t) + F_{22} x_2(t)) \\ &= -(f_1 x_1(t) + f_2 x_2(t)) \\ &= -K_p (x_2(t) + \frac{1}{T_i} \int x_2(t) dt) \end{aligned} \quad (2.3.6)$$

$$\text{단, } f_1 = \frac{b}{r} F_{12}, \quad f_2 = \frac{b}{r} F_{22}$$

식(2.3.6) 中の F_{ij} 는 식(2.3.7) 으로부터 解析的으로 簡單히 구할 수 있다. 이 식 中の 復號는 F 가 正值가 되도록 選擇하면 된다.

$$\begin{aligned} F_{12} &= \pm \sqrt{rq_1} / b \\ F_{11} &= \sqrt{q_1(a^2 r / b^2 + q_2 \pm 2 \sqrt{rq_1} / b)} \\ F_{22} &= -ar / b^2 \pm \sqrt{r(a^2 r / b^2 + q_2 \pm 2 \sqrt{rq_1} / b)} / b \\ &\dots\dots\dots (2.3.7) \end{aligned}$$

따라서 이 경우는 最適制御器가 PI 제어기로 되며 이 制御器의 係數 K_p 및 T_i 의 最適値는 다음과 같이 決定된다.

$$K_D = \frac{b}{r} F_{22}$$

$$T_i = F_{22}/F_{12} \quad (2.3.8)$$

2. 3.2 시스템에의 適用.

制御對象인 2次인 시스템의 狀態方程式 및 出力方程式은 각각
다음 같이 표현되고 (1)과 같이 表示된다.

$$\begin{bmatrix} \dot{s}_1(t) \\ \dot{s}_2(t) \end{bmatrix} = \begin{bmatrix} 0 & 1 \\ -a_2 & -a_1 \end{bmatrix} \begin{bmatrix} s_1(t) \\ s_2(t) \end{bmatrix} + \begin{bmatrix} 0 \\ b \end{bmatrix} u(t) \quad (2.3.9)$$

$$p(t) = [1 \quad 0] \begin{bmatrix} s_1(t) \\ s_2(t) \end{bmatrix}^T \quad (2.3.10)$$

p^0 = reference value (目標值)

이 시스템의 2차인 식(2.3.9)의 오그먼트 狀態방정식은

$$\begin{bmatrix} \dot{x}_1(t) \\ \dot{x}_2(t) \\ \dot{x}_3(t) \end{bmatrix} = \begin{bmatrix} 0 & 1 & 0 \\ 0 & 0 & 1 \\ 0 & -a_2 & -a_1 \end{bmatrix} \begin{bmatrix} x_1(t) \\ x_2(t) \\ x_3(t) \end{bmatrix} + \begin{bmatrix} 0 \\ 0 \\ b \end{bmatrix} u(t) \quad (2.3.11)$$

$$p(t) = [0 \quad 1 \quad 0] \begin{bmatrix} x_1(t) \\ x_2(t) \\ x_3(t) \end{bmatrix}^T \quad (2.3.12)$$

이와 같이 식(2.3.9)의 最適制御 입력은 다음과 같이 된다.

$$u^0(t) = -\frac{1}{b} p^0 T p(t)$$

$$= -\frac{1}{b} p^0 F_{13} x_1(t) + \frac{1}{b} p^0 F_{23} x_2(t) + F_{33} x_3(t)$$

$$\begin{aligned}
&= -(f_1 x_1(t) + f_2 x_2(t) + f_3 x_3(t)) \\
&= -K_p(x_2(t) + \frac{1}{T_i} \int x_2(t) dt + T_d \dot{x}_2(t)) \quad (2.3.13)
\end{aligned}$$

$$\text{단, } f_1 = \frac{b}{r} F_{13}, \quad f_2 = \frac{b}{r} F_{23}, \quad f_3 = \frac{b}{r} F_{33}$$

여기서도 1차 시스템의 경우와 같은 방법으로 行列 F의次元을 3 x 3으로 하고 荷重係數行列 Q를 식(2.1.9)에서 3x3次元의 行列이 되도록 選定하여 이를 식(2.2.2)에 代入함으로써 F₃₃에 관한 식(2.3.20)과 같은 4次の 代數方程式을 얻을 수 있다.

$$-\frac{b^2}{r} F_{13}^2 + q_1 = 0 \quad (2.3.14)$$

$$F_{11} - a_2 F_{13} - \frac{b^2}{r} F_{13} F_{23} = 0 \quad (2.3.15)$$

$$F_{12} - a_1 F_{13} - \frac{b^2}{r} F_{13} F_{33} = 0 \quad (2.3.16)$$

$$2(F_{12} - a_2 F_{23}) - \frac{b^2}{r} F_{23}^2 + q_2 = 0 \quad (2.3.17)$$

$$F_{22} - a_1 F_{23} + F_{13} - a_2 F_{33} - \frac{b^2}{r} F_{23} F_{33} = 0 \quad (2.3.18)$$

$$2(F_{23} - a_1 F_{33}) - \frac{b^2}{r} F_{33}^2 + q_3 = 0 \quad (2.3.19)$$

$$F_{33}^4 + K_3 F_{33}^3 + K_2 F_{33}^2 + K_1 F_{33} + K_0 = 0 \quad (2.3.20)$$

$$\text{단, } K_0 = \frac{4r^3}{b^6} \left(\frac{q_3^2 b^2}{4r} - a_2 q_3 - q_2 + \frac{2a_1 \sqrt{r q_1}}{b} \right)$$

$$K_1 = \frac{4r^3}{b^6} \left(2a_1 a_2 - \frac{a_1 q_3 b^2}{r} + \frac{2b \sqrt{r q_1}}{r} \right) \quad (2.3.21)$$

$$K_2 = \frac{4r^2}{b^4} \left(a_1^2 + a_2 - \frac{q_3 b^2}{2r} \right)$$

$$K_3 = \frac{4a_1 r}{b^2}$$

여기서 식(2.3.20)의 4次 方程式을 풀어서 F_{ij} 를 求할 수 도 있고, 달리 식(2.2.2)의 解行列 F 를 다른 方法으로도 구할 수 있다. 30~32) F_{ij} 가 求해지면 PID 제어기의 係數 값의 最適値는 다음과 같이 決定할 수 있다.

$$\begin{aligned} K_p &= \frac{b}{r} F_{23} \\ T_i &= F_{23}/F_{13} \\ T_d &= F_{33}/F_{23} \end{aligned} \quad (2.3.22)$$

식(2.3.13)과 같이 求하여진 最適制御入力を 이용하여 2次系에 대한 制御系統 構成하면 Fig.3과 같이 된다.

3) 3次 시스템에의 適用.

식(2.3.23) 및 식(2.3.24)로 주어지는 3次 시스템에 대해 擴張 適用한다.

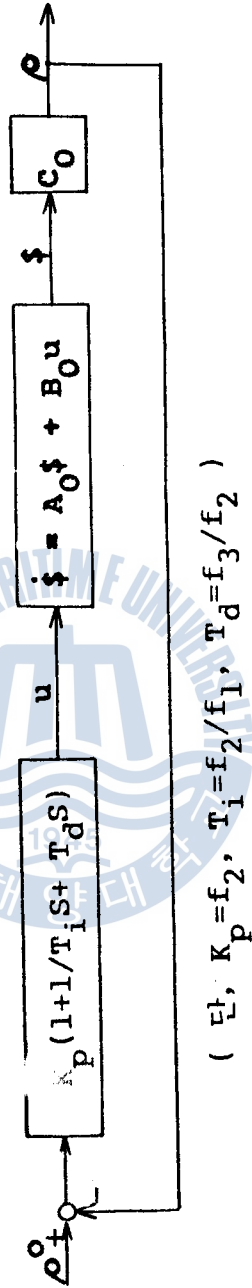


Fig.3 Block diagram of 2nd order controlled system with optimal gains

$$\begin{bmatrix} \dot{\$}_1(t) \\ \dot{\$}_2(t) \\ \dot{\$}_3(t) \end{bmatrix} = \begin{bmatrix} 0 & 1 & 0 \\ 0 & 0 & 1 \\ -a_3 & -a_2 & -a_1 \end{bmatrix} \begin{bmatrix} \$_1(t) \\ \$_2(t) \\ \$_3(t) \end{bmatrix} + \begin{bmatrix} 0 \\ 0 \\ b \end{bmatrix} u(t) \quad (2.3.23)$$

$$\rho(t) = [1 \quad 0 \quad 0] [\$_1(t) \quad \$_2(t) \quad \$_3(t)]^T \quad (2.3.24)$$

$\rho^0 =$ reference value (目標值)

이 시스템에 식(2.1.6)과 같은 狀態를 適用하면 오그멘트 상태

방정식은

$$\begin{bmatrix} \dot{x}_1(t) \\ \dot{x}_2(t) \\ \dot{x}_3(t) \\ \dot{x}_4(t) \end{bmatrix} = \begin{bmatrix} 0 & 1 & 0 & 0 \\ 0 & 0 & 1 & 0 \\ 0 & 0 & 0 & 1 \\ 0 & -a_3 & -a_2 & -a_1 \end{bmatrix} \begin{bmatrix} x_1(t) \\ x_2(t) \\ x_3(t) \\ x_4(t) \end{bmatrix} + \begin{bmatrix} 0 \\ 0 \\ 0 \\ b \end{bmatrix} \bar{u}(t) \quad (2.3.25)$$

$$y_e(t) = [0 \quad 1 \quad 0 \quad 0] [x_1(t) \quad x_2(t) \quad x_3(t) \quad x_4(t)]^T \quad (2.3.26)$$

으로 되고 最適制御入力 $\bar{u}^0(t)$ 는 식(2.3.27)과 같이 된다.

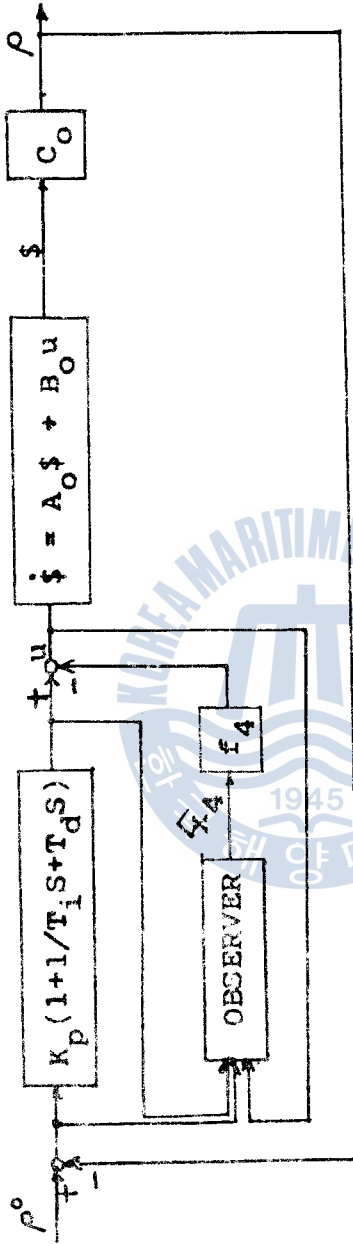
$$\begin{aligned} \bar{u}^0(t) &= -\frac{1}{r} B^T F x(t) \\ &= -\frac{b}{r} (F_{14} x_1(t) + F_{24} x_2(t) + F_{34} x_3(t) + F_{44} x_4(t)) \\ &= -(f_1 x_1(t) + f_2 x_2(t) + f_3 x_3(t) + f_4 x_4(t)) \\ &= -K_p (x_2(t) + \frac{1}{T_i} \int x_2(t) dt + T_d \dot{x}_2(t)) - f_4 x_4(t) \quad (2.3.27) \end{aligned}$$

$$\text{即, } f_1 = \frac{b}{r} F_{14}, \quad f_2 = \frac{b}{r} F_{24}, \quad f_3 = \frac{b}{r} F_{34}, \quad f_4 = \frac{b}{r} F_{44}$$

식(2.3.27)에서 右邊의 첫項은 PID動作을 意味하고 있으며, 끝項은 狀態 x_4 의 피이드백을 意味하고 있다. 여기서 狀態 x_4 를 피이드백 시키기 위해서는 일반적으로 觀測器가 必要하다. 또 식(2.3.27)中의 解行列 F 는 1次 및 2次 시스템의 경우와 같이 解析的으로 求解 難 수 없고 디지털 計算機에 의해 求解 難 수 밖에 없다. F_{ij} 가 求解되면 PID 제어기의 係數 값의 最適値는 다음식에서 決定된다.

$$\begin{aligned} K_p &= \frac{b}{r} F_{24} \\ T_i &= F_{24}/F_{14} \\ T_d &= F_{34}/F_{24} \end{aligned} \quad (2.3.28)$$

식(3.2.7)과 같이 求解된 最適制御入力を 이용하여 3次시스템에 대한 制御系를 構成하면 Fig.4와 같이 되고, Fig.4에서의 狀態 x_4 는 앞서서도 말한 바와 같이 일반적으로 觀測器에 의해 얻어질 수 있다.



$$(\text{단, } K_p = f_2, T_i = f_2/f_1, T_d = f_3/f_2)$$

Fig. 4 Block diagram of 3rd order controlled system with optimal gains

第3章 : 最適피드백 制御를 위한 狀態觀測器의 設計

2-2節에서 言及한 바와 같이 最適制御理論을 利用하여 最適피드백 制御를 行하려면 全 狀態의 피드백이 要求 된다. 그러나 일반적으로는 狀態 全部가 모두 觀測되는 것은 아니다. 따라서 制御對象이 3次系 以上으로 되면 PID動作 以外에 $x_4 \sim x_n$ 상태의 피드백을 行하기 위하여 이들 變量의 推定이 要求되며 이를 爲해서는 觀測器가 必要하다.

本 章에서는 일반적인 最小次元의 觀測器의 設計法(35-37)을 利用하여 PID제어기의 入出力 및 制御對象의 測定 가능한 出力 等으로 부터 새로운 出力方程式을 세우고, 이 出力方程式과 制御入力 Ⅱ로 부터 効率的인 部分狀態觀測器를 構成하는 方法을 提示한다.

3-1 部分狀態觀測器의 設計

2-1節에서 誘導한 狀態方程式 식(2.1.7)에서 觀測할 수 있는 出力 y_e 는 狀態 x_2 즉, 피드백 制御系統의 制御誤差 만으로 되어 있다.

그러나 PID 제어기를 이용하여 피드백 제어를 行할 경우 PID 제어기의 出力 y_c 는 觀測이 가능한 것이며, 이것은 狀態 x_1, x_2, x_3 의 線形結合으로 되어 있다. 따라서 y_e 와 y_c 로 부터 두 개의 狀態는 計算 또는 推定이 可能하므로 나머지 $x_4 \sim x_n$ 의 狀態 推定을 爲한 部分狀態觀測器만을 設計하면 된다.

本 節에서는 y_e 및 y_c 가 正確하게 觀測되는 것으로 假定하고

와 같이 되고, 여기서 \bar{X}_1 은 y 와 같게 된다. 식(3.1.6)을 이용하여 식(3.1.4)에서 \bar{X}_2 에 대한 식만을 拔萃하여 쓰면 식(3.1.7)과 같이 되고 \bar{X}_2 에 대해 觀測器를 構成하면 식(3.1.8)과 같이 된다.

$$\dot{\bar{X}}_2(t) = \bar{A}_{22}\bar{X}_2(t) + \bar{A}_{21}y(t) + \bar{B}_2\bar{u}(t) \quad (3.1.7)$$

$$\text{단, } \bar{X}_2(0) = \bar{X}_{20} = \begin{bmatrix} 0 \\ \vdots \\ I_{n-2} \end{bmatrix} T_1^{-1} x_0$$

$$\dot{w}(t) = \bar{A}_{22}w(t) + \bar{A}_{21}y(t) + \bar{B}_2\bar{u}(t) \quad (3.1.8)$$

$$\text{단, } w(0) = 0$$

다음에 觀測器의 誤差 $\bar{e}(t)$ 를

$$\bar{e}(t) = \bar{X}_2(t) - w(t) \quad (3.1.9)$$

라고 하면

$$\dot{\bar{e}}(t) = \bar{A}_{22}\bar{e}(t), \quad \bar{e}(0) = \bar{X}_{20} \quad (3.1.10)$$

으로 되고 Fig. 2 의 피드백 制御系統이 安定하면 \bar{A}_{22} 의 固有值도 모두 負의 값을 가지게 되고 $\bar{e}(t)$ 는 0에 收斂하게 되나 상태피드백 \bar{X}_2 대신에 w 를 이용하였을 경우 系(system)가 安定될 때까지는 誤差 $\bar{e}(t)$ 의 影響을 받게 된다. 따라서 \bar{A}_{22} 의 固有值는 모두 負의 값을 가질 뿐만 아니라 그 絕對値는 가능한한 큰 것이 좋다. 이러한 目的으로 $x(t)$ 를 다시 다음과 같이 正則變換을 한다.

$$\tilde{x}(t) = T_2\bar{x}(t) \quad (3.1.11)$$

$$\text{단, } T_2 = \begin{bmatrix} I_2 & 0 \\ H & I_{n-2} \end{bmatrix}$$

여기서 H 는 $(n-2) \times 2$ 次元의 行列로써 식(3.1.12)와 같이 들 수 있다.

$$H = \begin{bmatrix} h_{11} & h_{12} \\ h_{21} & h_{22} \\ \vdots & \vdots \\ h_{n-2,1} & h_{n-2,2} \end{bmatrix} \quad (3.1.12)$$

식(3.1.11) 을 식(3.1.4)에 代入하여 定理하면 다음과 같은 식 을 얻는다.

$$\begin{bmatrix} \dot{\tilde{X}}_1(t) \\ \dot{\tilde{X}}_2(t) \end{bmatrix} = \begin{bmatrix} \tilde{A}_{11} & \tilde{A}_{12} \\ \tilde{A}_{21} & \tilde{A}_{22} \end{bmatrix} \begin{bmatrix} \tilde{X}_1(t) \\ \tilde{X}_2(t) \end{bmatrix} + \begin{bmatrix} \tilde{B}_1 \\ \tilde{B}_2 \end{bmatrix} \bar{u}(t) \quad (3.1.13)$$

$$\text{단, } \tilde{A}_{11} = \bar{A}_{11} - \bar{A}_{12}H \quad (3.1.13-a)$$

$$= \begin{bmatrix} -h_{11}f_2 - h_{21}f_3 & f_1 - h_{12}f_2 - h_{22}f_3 \\ -h_{11} & -h_{12} \end{bmatrix}$$

$$\tilde{A}_{12} = \bar{A}_{12} \quad (3.1.13-b)$$

$$\tilde{A}_{21} = \bar{A}_{21} + H\bar{A}_{11} \quad \bar{A}_{22}H - H\bar{A}_{12}H \quad (3.1.13-c)$$

$$= \begin{bmatrix} \tilde{a}_{11} & \tilde{a}_{12} \\ \tilde{a}_{21} & \tilde{a}_{22} \\ \vdots & \vdots \\ \tilde{a}_{n-2,1} & \tilde{a}_{n-2,2} \end{bmatrix}$$

$$\tilde{a}_{i1} = -h_{i+1,1} - h_{11}h_{i2} - h_{11}h_{i1}f_2 - h_{21}h_{i1}f_3$$

$$\tilde{a}_{i2} = -h_{i+1,2} - h_{12}h_{i2} + h_{i1}f_1 - h_{12}h_{i1}f_2 - h_{22}h_{i1}f_3$$

$$(i = 1, 2, \dots, n-3)$$

식(2.1.7)로 表示되는 시스템에 대해 식(3.1.1)과 같이 出力方程式을 새로이 세워서 이것과 制御入力 \bar{u} 를 利用하여 部分狀態觀測器를 설계하는 方法을 提示한다.

$$\dot{x}(t) = Ax(t) + B\bar{u}(t) \quad (2.1.7)$$

$$y(t) = \begin{bmatrix} y_c(t) \\ y_e(t) \end{bmatrix} = Cx(t), \quad x(0) = 0 \quad (3.1.1)$$

$$\text{단 } C = \begin{bmatrix} f^T \\ c_e \end{bmatrix} = \begin{bmatrix} f_1 & f_2 & f_3 & 0 & \dots & 0 \\ 0 & 1 & 0 & 0 & \dots & 0 \end{bmatrix}$$

우선 $n \times n$ 次元의 行列 T_1 을 利用하여 狀態變數 $x(t)$ 에 대하여 다음과 같은 正則變換을 行한다.

$$\bar{x}(t) = T_1 x(t) \quad (3.1.2)$$

$$\text{단 } T_1 = \begin{bmatrix} \dots & C & \dots \\ \vdots & \vdots & \vdots \\ 0 & I_{n-2} & \dots \end{bmatrix}$$

$$\dot{\bar{x}}(t) = \bar{A}\bar{x}(t) + \bar{B}\bar{u}(t) \quad (3.1.3)$$

$$y(t) = \bar{C}\bar{x}(t) \quad (3.1.4)$$

$$\bar{A} = T_1 A T_1^{-1}$$

$$\bar{B} = T_1 B \quad (3.1.5)$$

$$\bar{C} = C T_1^{-1}$$

식(3.1.3)에 對應하여 \bar{A} , \bar{B} , \bar{C} 를 다음과 같이 分割하여 表示한다.

$$\bar{A} = \begin{bmatrix} \bar{A}_{11} & \dots & \bar{A}_{12} \\ \vdots & \ddots & \vdots \\ \bar{A}_{21} & \dots & \bar{A}_{22} \end{bmatrix} \quad (3.1.6-a)$$

(n-2)

$$\begin{aligned}
 \text{단, } \bar{A}_{11} &= \begin{bmatrix} 0 & f_1 \\ 0 & 0 \end{bmatrix} \\
 \bar{A}_{12} &= \begin{bmatrix} f_2 & f_3 & 0 & \dots & 0 \\ 1 & 0 & 0 & \dots & 0 \end{bmatrix} \\
 \bar{A}_{21} &= \begin{bmatrix} 0 & 0 \\ 0 & 0 \\ \vdots & \vdots \\ 0 & -a_{n-1} \end{bmatrix} \\
 \bar{A}_{22} &= \begin{bmatrix} 0 & 1 & 0 & \dots & 0 \\ 0 & 0 & 1 & \dots & 0 \\ \vdots & \vdots & \vdots & \ddots & \vdots \\ -a_{n-2} & -a_{n-3} & -a_{n-4} & \dots & -a_1 \end{bmatrix} \\
 \bar{B} &= \begin{bmatrix} \bar{B}_1 \\ \dots \\ \bar{B}_2 \end{bmatrix} \begin{matrix} ; 2 \\ \\ ; (n-2) \end{matrix} \quad (3.1.6-b)
 \end{aligned}$$

$$\begin{aligned}
 \text{단, } \bar{B}_1 &= \begin{bmatrix} 0 \\ 0 \end{bmatrix} \\
 \bar{B}_2 &= \begin{bmatrix} 0 \\ \vdots \\ b \end{bmatrix} \\
 \bar{C} &= \begin{bmatrix} I_2 & \vdots & 0 \end{bmatrix} \quad (3.1.6-c)
 \end{aligned}$$

$$\bar{x}(t) = \begin{bmatrix} \bar{x}_1(t) \\ \bar{x}_2(t) \end{bmatrix} \begin{matrix} ; 2 \\ ; (n-2) \end{matrix} \quad (3.1.6-d)$$

$$\tilde{a}_{n-2,1} = (h_{11}a_{n-2} + h_{21}a_{n-3} + \dots + h_{n-2,1}a_1)$$

$$-h_{11}h_{n-2,2} - h_{11}h_{n-2,1}f_2 - h_{21}h_{n-2,1}f_3$$

$$\tilde{a}_{n-2,2} = -a_{n-1} + (h_{12}a_{n-2} + h_{22}a_{n-3} + \dots + h_{n-2,1}a_1)$$

$$-h_{12}h_{n-2,2} + h_{n-2,1}f_1 - h_{12}h_{n-2,1}f_2$$

$$-h_{22}h_{n-2,1}f_3$$

$$\tilde{A}_{22} = \bar{A}_{22} + H\bar{A}_{12} \tag{3.1.13-d}$$

$$= \begin{bmatrix} h_{11}f_2 + h_{12} & 1 + h_{11}f_3 & 0 & \dots & 0 \\ h_{21}f_2 + h_{22} & h_{21}f_3 & 1 & \dots & 0 \\ \vdots & \vdots & \vdots & \ddots & \vdots \\ -a_{n-2} + h_{n-2,1}f_2 + h_{n-2,2} & -a_{n-3} + h_{n-2,1}f_3 & -a_{n-4} & \dots & -a_1 \end{bmatrix}$$

$$\tilde{B}_1 = \bar{B}_1 \tag{3.1.13-e}$$

$$\tilde{B}_2 = \bar{B}_2 + H\bar{B}_1 = \bar{B}_2 \tag{3.1.13-f}$$

또한,

$$\begin{aligned}\tilde{X}_1(t) &= y(t) \\ \dot{\tilde{X}}_2(t) &= \tilde{A}_{22}\tilde{X}_2(t) + \tilde{A}_{21}y(t) + \tilde{B}_2\tilde{u}(t)\end{aligned}\quad (3.1.14)$$

$$\text{단, } \tilde{X}_2(0) = Ex_0$$

$$E = \begin{bmatrix} 0_{(n-2) \times 2} & \vdots & I_{n-2} \end{bmatrix} \begin{bmatrix} C \\ HC+D \end{bmatrix}^{-1}$$

$$D = \begin{bmatrix} 0 & \vdots & I_{n-2} \end{bmatrix}$$

식(3.1.14)에서 \tilde{A}_{22} 는 $\bar{A}_{22} + H\bar{A}_{12}$ 이며 원래(C A)는 可觀測(observability)이므로 (C A) 및 $(\bar{A}_{21} \bar{A}_{22})$ 도 可觀測이 되어 H를 적절히 選定하므로써 \tilde{A}_{22} 가 임의의 固有值를 갖도록 할 수 있다. 따라서 $\tilde{X}_2(t)$ 에 대한 n-2 차의 상태관측기를 다음과 같이 構成할 수 있다.

$$\dot{w}(t) = \tilde{A}_{22}w(t) + \tilde{A}_{21}y(t) + \tilde{B}_2\tilde{u}(t)\quad (3.1.15)$$

$$\text{단, } w(0) = 0$$

식(3.1.15)로부터 w가 計算 되면 x(t)의 推定值 $\hat{x}(t)$ 는 다음식으로 부터 計算할 수 있다.

$$\hat{x}(t) = \begin{bmatrix} C \\ HC+D \end{bmatrix}^{-1} \begin{bmatrix} y(t) \\ w(t) \end{bmatrix}\quad (3.1.16)$$

이와 같이 構成된 觀測器와 最適피드백 制御系統을 블록線圖로 表示하면 Fig. 5와 같이 된다.

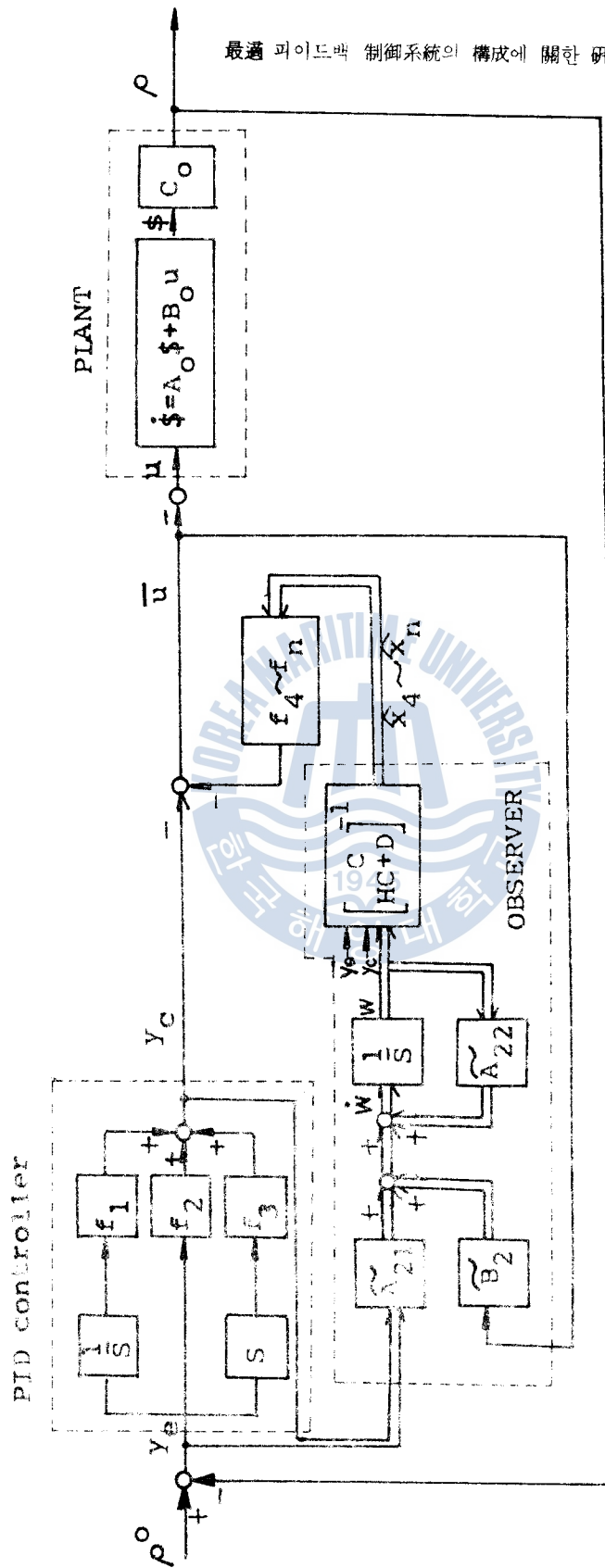


Fig. 5 Block diagram of (n-1)th order controlled system consist of PID controller and state feedback using reduced order observer

3-2 行列 H의 選定法

3-1절에서 최적피드백 制御를 行하기 爲하여 要求되는 部分狀態 觀測器의 設計法에 對해서 論할 때에 出力 $y(t)$ 는 測定誤差 없이 正確하게 觀測되는 것으로 假定하였다. $y(t)$ 에 測定雜音이 隨伴될 경우에는 칼만필터(Kalman Filter)등의 최적필터를 用하여 未知의 狀態變數에 對한 推定을 行하여야 하나 칼만필터를 用하려면 測定雜音의 統計的 性質을 完全히 알아야 한다. 그러나 本 研究에서의 出力 $y(t)$ 中 第2性分 $y_e(t)$ 는 制御誤差로써 比較的 正確하게 觀測되나 第1性分 $y_c(t)$ 는 PID제어기의 出力으로 此 여기에는 近似的인 微分動作에 의해서 發生되는 誤差가 隨伴되어 있기 때문에 이의 統計的 性質을 正確하게 把握할 수가 없다. 따라서 本 연구에 있어서의 상태추정에는 最適필터의 使用이 困難하여 觀測器를 使用하기로 하고, 本 節에서는 行列 H의 選定法과 出力에 隨伴되는 測定雜音이 觀測器의 推定誤差에 미치는 影響에 對해서 檢討 해보기로 한다.

우선 식(3.2.1)과 같이 測定雜音을 $v(t)$ 라 하자.

$$\begin{aligned} y(t) &= Cx(t) + v(t) \\ &= \bar{X}_1(t) + v(t) \end{aligned} \quad (3.2.1)$$

$v(t)$: 2次의 測定雜音 벡터

이때 식(3.1.14)의 $y(t)$ 는 $\bar{X}_1(t)$ 로 代置되어야 하므로 식(3.2.2)로 表示되는 觀測器의 推定誤差 $\tilde{e}(t)$ 는 식(3.2.3)의 微分方程式을 滿足한다.

$$\tilde{e}(t) = \tilde{X}_2(t) - w(t) \quad (3.2.2)$$

$$\frac{d\tilde{e}(t)}{dt} = \tilde{A}_{22}\tilde{e}(t) - \tilde{A}_{21}v(t) \quad (3.2.3)$$

$$\text{단, } \tilde{e}(0) = \tilde{X}_2(0)$$

따라서 $e(t)$ 는

$$\tilde{e}(t) = e^{\tilde{A}_{22}t} \tilde{X}_2(0) - \int_0^t e^{\tilde{A}_{22}(t-\tau)} \tilde{A}_{21}v(\tau) d\tau \quad \dots\dots\dots (3.2.4)$$

와 같이 되고 식(3.2.4)의 右邊의 第一項은 觀測器 固有의 誤差이며 第二項은 PID 제어기의 不正確性 즉 微分動作의 不正確性에 起因되는 誤差로써 主로 過渡狀態에서만 發生하므로 定常狀態에서 $v(t)$ 는 0으로 되어 有限 제로(zero) 整定雜音이라 볼 수 있다.

$$v(t) = 0, \quad t \geq t_1 : t_1; \text{ 유한}$$

$$\int_0^{t_1} v(t) dt = N_0 : \text{유한}$$

따라서 식(3.1.13-d)의 \tilde{A}_{22} 의 固有值가 負의 充分히 큰 값을 갖는다면 식(3.2.4)에서 알 수 있듯이 $\tilde{e}(t)$ 는 매우 빨리 消滅되어 $v(t)$ 가 觀測器의 推定 精度에 미치는 影響은 거의 無視할 수 있을 것이므로 觀測器의 推定誤차를 줄이는 방법으로는 行列 H 를 적절히 選定하여 \tilde{A}_{22} 의 固有值를 가능한한 큰 負의 값이 되도록 하는 수 밖에 없다. 行列 H 가 \tilde{A}_{22} 의 固有值에 미치는 影響을 식(3.1.14)로부터 일반적으로 考察하기는 困難하나 H 의 要素 h_{ij} 의 수는 $2x(n-2)$ 개이고 \tilde{A}_{22} 의 固有值의 수는 $n-2$ 개로서 두배의

自由度가 있기 때문에 \tilde{A}_{22} 의 固有値가 주어지면 이에 相應하는 H 의 각 要素 h_{ij} 은 容易하게 計算할 수가 있다. 다음에 오그멘트시스템이 n차인 경우에 대해서 H의 각 요소의 값을 決定하는 具體的인 方法에 대해서 說明하기로 한다.

\tilde{A}_{22} 의 固有値가 $-p$ 의 n重根을 갖도록 觀測器를 設計하기 위하여 먼저 $2 \times (n-2)$ 개의 h_{ij} 의 요소 중에서 h_{i1} 의 全 要素를 0으로 選定하면 식(3.1.13-d)는 다음과 같이된다.

$$\tilde{A}_{22} = \begin{bmatrix} h_{12} & 1 & 0 & \dots & 0 \\ h_{22} & 0 & 1 & & \vdots \\ h_{32} & 0 & 0 & & \vdots \\ \vdots & \vdots & \vdots & \vdots & \vdots \\ -a_{n-2} + h_{n-2,2} & -a_{n-3} & -a_{n-4} & \dots & -a_1 \end{bmatrix} \quad \dots \dots \quad (3.2.5)$$

식(3.2.5)의 固有方程式은

$$\begin{aligned} & \det(\lambda I_{n-2} - \tilde{A}_{22}) \\ &= \begin{vmatrix} \lambda - h_{12} & -1 & 0 & \dots & 0 \\ -h_{22} & \lambda & -1 & & \vdots \\ -h_{32} & 0 & \lambda & & \vdots \\ \vdots & \vdots & \vdots & \vdots & \vdots \\ a_{n-2} - h_{n-2,2} & a_{n-3} & a_{n-4} & \dots & \lambda + a_1 \end{vmatrix} \\ &= 0 \end{aligned} \quad (3.2.6)$$

와 같이 되고 \tilde{A}_{22} 의 固有値가 $-p$ 의 n重根을 갖기 위해서는

이의 固有多項式은 다음과 같은 形式으로 表現되어야 한다.

$$(\lambda+p)^m = \lambda^m + {}_m C_1 p \lambda^{m-1} + {}_m C_2 p^2 \lambda^{m-2} + \dots + {}_m C_{m-1} p^{m-1} \lambda + p^m \quad (3.2.7)$$

단, C는 組合(combination) 표시 기호, $m = n-2$

따라서 식(3.2.6)과 식(3.2.7)의 각 係數를 比較함으로써 h_{i2} 의 各 要素를 求할 수 있으며 結局 h_{ij} 는 식(3.2.8)과 같이 表現 된다.

$$h_{ij} = \begin{cases} 0 & ; (j=1) \\ a_i - n C_j p^i - \sum_{k=1}^{i-1} a_k h_{i-k,2} & ; (j=2) \end{cases} \quad (3.2.8)$$

단, $i = 1 \sim n-2$, $h_{02} = 0$

第4章 : 디지털 制御器의 構成

半導體 産業의 急進的인 發達에 힘입어 低廉하면서도 精度 높은 마이크로 컴퓨터가 널리 普及 되었고, 이 小型 마이크로 컴퓨터는 각 産業分野에서 없어서는 안될 重要的 位置를 占하게 되었다. 그 應用分野 中에서 計測 및 制御分野에서는 實時間 制御器 (38-43)와 모니터(Real time controller and monitor) 및 CAD (44~45) 用으로 大別할 수 있다.

第2章에서 提案한 方法에 의해 設計된 PID制御器의 實現을 위해서는 連續 PID제어기를 이용하는 方法도 있겠으나, 앞에서 提及한 마이크로 컴퓨터로서 이를 實現시키기 위해서는 이 연속 PID 제어기를 離散化한 디지털 PID 制御器 (46-50)의 알고리즘을 이용하여야 한다.

그러므로 本 章에서는 연속 PID제어기를 離散化하고 이것으로부터 標準形 디지털 PID制御器(Standard digital PID controller)와 修定된 디지털 PID制御器(Modified digital PID controller)의 알고리즘을 구성하는 方法에 대해 說明한다.

다음 第3章에서 提及한 最小次元의 觀測器의 設計方法을 離散形으로 表示하고, 이 離散形으로 表示된 알고리즘에 의해 설계된 디지털 觀測器와 앞에서 說明한 디지털 PID制御器를 結合하여 디지털 制御器를 構成하는 方法을 提示한다.

4-1 標準形 디지털 PID制御器 (46,47)

連續 PID制御器는 식(4.1.1)로 表示되고,

$$y_c(t) = K_p(y_e(t) + \frac{1}{T_i} \int_0^t y_e(\tau) d\tau + T_d \frac{d}{dt} y_e(t)) \quad (4.1.1)$$

단, K_p : 比例動作 利得

T_i : 積分時間

T_d : 微分時間

이 連續 PID制御器에 대하여 微分은 Backward difference를 積分은 Trapezoidal integration 을 利用하여 離散化한 경우의 디지털 PID 制御器의 出力은 식(4.1.2)와 같아된다.

$$y_c(k) = y_c(k-1) + K_p(g_1 y_e(k) + g_2 y_e(k-1) + g_3 y_e(k-2)) \quad \dots \dots \quad (4.1.2)$$

$$\begin{aligned} \text{단, } g_1 &= 1 + \frac{T}{T_i} + \frac{T_d}{T} \\ g_2 &= -(1 - \frac{T}{2T_i} + \frac{2T_d}{T}) \\ g_3 &= \frac{T_d}{T} \end{aligned} \quad (4.1.3)$$

이때 샘플링 周期 T 는 充分히 작은 값을 갖는 것을 한다
 위의 식이 離散化한 디지털 PID制御器의 轉移函數는 Fig.6과 같이 表示할 수 있으며, 轉移函數는 식(4.1.4)와 같다.

$$G_{PID}(Z) = \frac{Y_c(Z)}{Y_e(Z)} = 1 + \frac{g_1 Z^2 + g_2 Z + g_3}{Z(Z-1)} \quad (4.1.4)$$

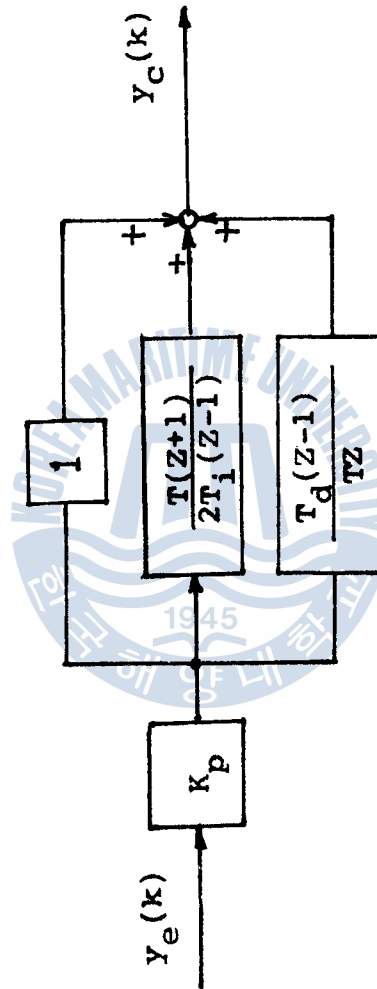


Fig.6 Block diagram of standard digital
PID controller

4-2 修正된 디지털 PID制御器 48)

식(4.1.1)로 表示되는 連續 PID制御器에 對해 微分은 Backward difference를 積分은 rectangular integration 을 利用하여 이산 化한 경우의 디지털 PID制御器의 出力은 식(4.2.1)과 같은 反復 形으로 表示할 수 있다.

$$Y_c(k) = y_c(k-1) + K_p (y_e(k) - y_e(k-1)) + \frac{T}{T_i} y_e(k-1) + \frac{T_d}{T} (y_e(k) - 2y_e(k-1) + y_e(k-2)) \quad (4.2.1)$$

식(4.2.1)로 表示되는 디지털 PID制御器의 알고리즘은 基準入력이 급작스럽게 變化할 경우 瞬間적으로 큰 값이 出力됨으로 이의 影響을 減衰시키기 위해서는 階段上의 入力變化를 微分項에서 除外 시켜 식(4.2.2)와 같은 修正된 디지털 PID制御器의 알고리즘을 使用하기도 한다.

$$\begin{aligned} Y_c(k) &= Y_c(k-1) + K_p (y_e(k) - y_e(k-1)) + \frac{T}{T_i} y_e(k-1) \\ &\quad + \frac{T_d}{T} (\rho(k) + 2\rho(k-1) - \rho(k-2)) \\ &= Y_c(k-1) + g_1 y_e(k) + g_2 y_e(k-1) + g_3 (\rho(k) \\ &\quad + 2\rho(k-1) - \rho(k-2)) \end{aligned} \quad (4.2.2)$$

여기서, $\rho(k) = \rho^0 - y_e(k)$ (4.2.3)

ρ^0 : reference input

$\rho(k)$: 플란트의 出力

$$\begin{aligned} \text{단, } g_1' &= K_p \\ g_2' &= K_p \left(\frac{T}{T_i} - 1 \right) \\ g_3' &= K_p \frac{T_d}{T} \end{aligned} \quad (4.2.4)$$



4.3 觀測器를 利用한 디지털 制御器의 構成

마이크로 컴퓨터를 이용하여 디지털 觀測器를 構成하기 위하여 식(4.1.15)의 觀測器의 狀態方程式을 4.1節에서 言及된 샘플링 周期 T 로써 이산화하고, 이 $\tilde{A}_{22}, \tilde{A}_{21}, \tilde{B}_2$ 에 對應하는 係數行列을 A, B 라 하면 식(4.3.1)과 같은 觀測狀態에 대한 差分方程式을 얻을 수 있다.

$$w(k) = A \cdot w(k-1) + B \cdot \bar{u}(k-1) + C \cdot y(k-1), w(0) = 0 \quad (4.3.1)$$

이때 狀態推定值 $\hat{x}(k)$ 는 다음과 같이 表示된다.

$$\hat{x}(k) = \begin{bmatrix} C \\ HC+D \end{bmatrix}^{-1} \begin{bmatrix} y(k) \\ w(k) \end{bmatrix} \quad (4.3.2)$$

식(4.3.2)에서 推定된 狀態 $\hat{x}_1, \hat{x}_2, \hat{x}_3, \dots, \hat{x}_n$ 를 피드백 제어기로서 實現되었고, 나머지 狀態 $\hat{x}_1, \dots, \hat{x}_n$ 를 피드백 제어기에서 한다.

따라서 4.2節에서 設計된 디지털 PID 制御器의 出力과 본 節에서 推定된 狀態의 피드백에 의한 最適操作量 $\bar{u}^o(k)$ 는 식(4.3.3)과 같이 表示된다.

$$\bar{u}^o(k) = -y_c(k) - [0 \ 0 \ 0 \ 1 \ d_1 \ \dots \ c_n] [\hat{x}_1 \ \hat{x}_2 \ \dots \ \hat{x}_n]^T \quad (4.3.3)$$

第5章 : 數值計算 및 應答 시뮬레이션

本章에서는 第2章에서 提案한 PID制御器의 파라미터의 選定과 最適피이드백 制御系統의 구성 및 第3章에서 提示한 最小次元의 狀態觀測器의 設計 등의 妥當性を 檢討하기 위하여 例題로서 制御 對象이 Table 1 에 표시되어 있는 4개의 플란트를 選定하고 이들 플란트에 대하여 피이드백게인 및 評價函數의 最適值를 계산하고, 디지털 計算機를 利用하여 最適피이드백 制御系統에 대한 應答 시 뮬레이션을 行한다. 그리고 system 2에 대해서는 修定된 Ziegler -Nichols 方法에 의한 PID제어기를 설계하고 應答 시뮬레이션을 行하고, 또한 system 4에 대해서는 部分狀態觀測器를 설계하여 최 적피이드백 制御系統을 구성하고 應答 시뮬레이션도 行하기로 한 다.

Table 1 Model system used in the simulation

order (n-1)	parameter				name	remark
	a_1	a_2	a_3	b		
2	-3.0	2.0	0.0	1.0	system 1	eq.(2.1.1)
	0.2	1.0	0.0	1.0	system 2	
	0.5	0.0	0.0	1.0	system 3	
3	2.2	1.4	2.0	1.0	system 4	

5-1 피이드백 게인 및 評價函數의 最適值計算

식(2.2.2)의 Riccati 方程式의 解行列 F 는 1차, 2차시스템에 대해서는 식(2.3.7), 식(2.3.14), 식(2.2.20)에서 解析的으로 求할 수 있으나 3차 이상의 시스템에 대해서는 그렇지 못하다. 그러므로 본 節에서는 BRYSON-HO에 의한 Sweep method를 이용하여 數值計算으로서 Riccati 방정식의 해를 구하기로 하고 이 방법에 의해 구하여진 定常狀態의 F 의 값으로 부터 최적 게인을 구한다. 이 수치계산에 이용된 프로그램의 플로우차트는 그림 7과 같다.

예로써 system 1, system 2, system 3에 대해 入力에 대한 荷重係數 r 을 0.1로 固定하고 3차 시스템에 대한 荷重行列 Q 과 식(2.2.6)의 各要素 q_1, q_2, q_3 를 變化시킬 때의 최적게인과 평가함수의 값을 계산한 結果는 Table 2~Table 4과 같다.

Table 5는 system 2에 대해서 求得된 Ziegler-Nichols 方法에 의하여 제어기를 설계할 경우의 각 파라미터의 값, 2乘誤差面積 및 二次形式의 평가함수의 값을 表示하고 있다. 이 設計法에서 著명히 1단계, 2단계는 이 方法 그대로를 따르으나 3단계의 K_p 의 再調整에서는 1.4 decay ratio에 의한 方法을 따르지 않고 2乘誤差面積이 最小가 되도록 F_p 로 調整하였다.

그리고 system 1에 대해서는 荷重係數 r 을 0.1로 固定하고 荷重行列 Q 의 要素 q_1, q_2, q_3, q_4 를 變化시킬 때의 최적게인과 평가함수의 값은 Table 6과 같다. 또 최적게인 $f_1 \sim f_4$ 중에서 f_4

를 0으로 했을 때(상태 $x_4(t)$ 를 피드백 시키지 않은 경우)의
평가함수 값은 Table 7에 表示하고 있다.



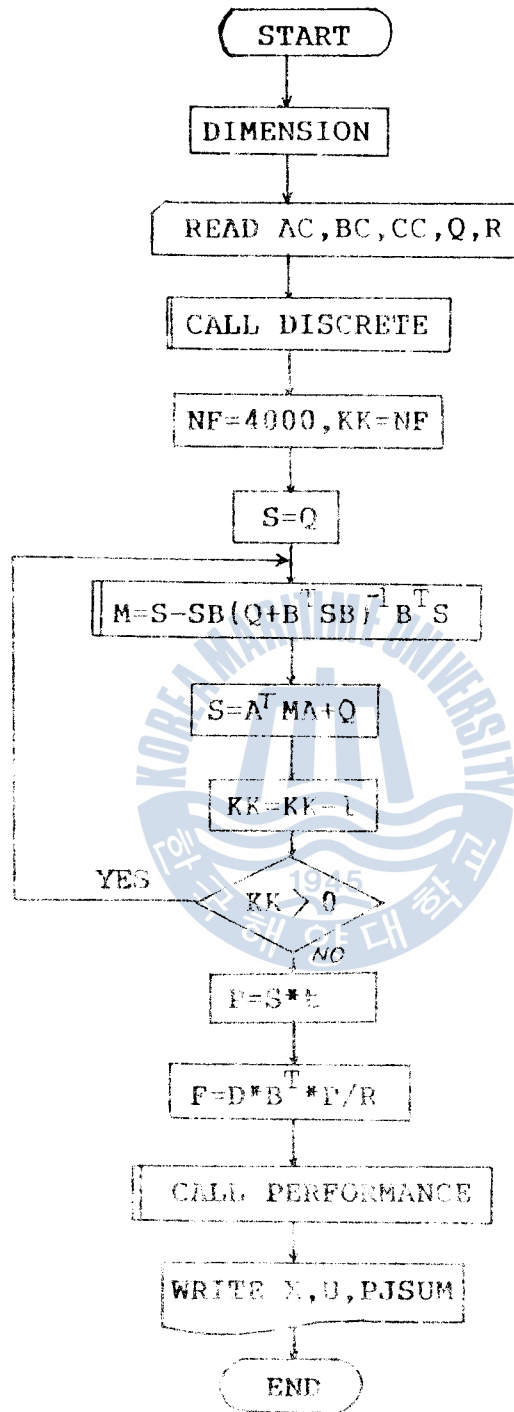


Fig.7 Flow chart used to solve the matrix Riccati equation

Table 2 Values of optimal gain f_1, f_2, f_3
and cost function J of system 1

system 1; $a_1=-3, a_2=2., r=0.1, \text{ unstable}$						
q_1	q_2	q_3	f_1	f_2	f_3	J
1.0	1.0	1.0	3.16	4.93	8.37	3.987
1.0	0.0	0.0	3.16	3.40	6.97	2.423
1.0	10.0	1.0	3.16	9.98	9.24	7.662
1.0	1.0	10.0	3.16	7.18	14.11	10.449

Table 3 Values of optimal gain f_1, f_2, f_3
and cost function J of system 2

system 2; $a_1=0.2, a_2=1.0, r=0.1, \text{ stable}$						
q_1	q_2	q_3	f_1	f_2	f_3	J
1.0	1.0	1.0	3.16	5.30	4.34	2.509
1.0	0.0	0.0	3.16	3.10	2.30	0.682
1.0	10.0	1.0	3.16	10.68	5.40	6.103
1.0	1.0	10.0	3.16	7.92	10.57	9.198

Table 4 Values of optimal gain f_1, f_2, f_3
and cost function J of system 3

system 3; $a_1=0.5, a_2=0.0, r=0.1, \text{ ervo}$						
q_1	q_2	q_3	f_1	f_2	f_3	J
1.0	1.0	1.0	3.16	6.35	4.29	2.700
1.0	0.0	0.0	3.16	4.35	2.49	0.976
1.0	10.0	1.0	3.16	11.69	5.30	6.346
1.0	1.0	10.0	3.16	8.88	10.36	9.277

Table 5 Comparison with modified method of Ziegler-Nichols

system 2; $r=0.1, q_1=1.0, q_2=10.0, q_3=1.0$					
method	f_1	f_2	f_3	$\sum x_2^2$	J
method proposed this paper	3.16	10.68	5.40	0.350	6.103
modified method Ziegler-Nichols	0.075	0.69	1.591	0.830	19.85

Table 6 Values of optimal gain f_1, f_2, f_3, f_4 and cost function J of system 4

system 4; $a_1=2.2, a_2=1.4, a_3=2.0, r=0.1$								
q_1	q_2	q_3	q_4	f_1	f_2	f_3	f_4	J
1.0	1.0	1.0	1.0	3.16	6.68	8.31	3.43	6.389
1.0	1.0	1.0	0.0	3.16	6.09	6.72	2.08	4.948
1.0	10.0	1.0	0.0	3.16	11.26	9.94	2.77	13.242
1.0	1.0	10.0	0.0	3.16	8.15	12.69	3.30	12.305

Table 7 Values of cost function J of system 4 when the gain f_1, f_2 and f_3 are optimal gains and the f_4 is zero

system 4; $a_1=2.2, a_2=1.4, a_3=2.0, r=0.1$								
q_1	q_2	q_3	q_4	f_1	f_2	f_3	f_4	J
1.0	1.0	1.0	1.0	3.16	6.68	8.31	0.0	10.538
1.0	1.0	1.0	0.0	3.16	6.09	6.72	0.0	6.807
1.0	10.0	1.0	0.0	3.16	11.26	9.94	0.0	19.709
1.0	1.0	10.0	0.0	3.16	8.15	12.69	0.0	15.264

5-2 荷重係數와 PID 제어기의 파라미터와의 관계

상태 $x(t)$ 에 대한 荷重係數 q_1, q_2, q_3 와 PID 制御器의 파라미터와의 關係를 檢討하기 위하여 Table 1에 表示되어 있는 system 2를 제어대상으로 하고, 먼저 q_2 와 q_3 를 1.0으로, r 를 0.1로 固定해 두고 q_1 을 0.1, 0.5, 1.0, 5.0, 10.0, 50.0, 100.0으로 점차 增加시킬 때 PID 제어기의 각 파라미터의 값이 변화해 가는 模樣을 Fig.8에 表示하고 있다. 또 q_1 과 q_3 를 1.0으로, r 를 0.1로 固定해 두고 q_2 를 上記와 같은 방법으로 변화시킨 경우 PID 제어기의 각 파라미터의 값은 Fig.9에 표시되어 있으며, q_1 과 q_2 를 1.0으로, r 를 0.1로 固定하고 q_3 를 變化시킨 경우는 Fig.10에 표시하고 있다. 이 세 그림에 있어서 荷重係數의 크기를 表示하는 橫軸의 座標는 常用對數의 눈금으로

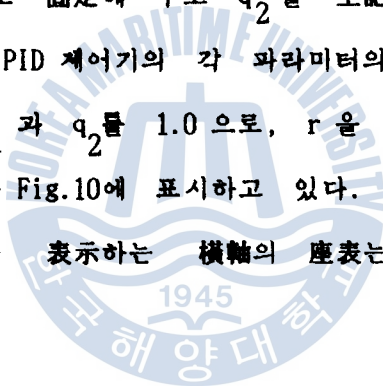


Table 5 Comparison with modified method of Ziegler-Nichols

system 2; $r=0.1, q_1=1.0, q_2=10.0, q_3=1.0$					
method	f_1	f_2	f_3	$\sum x_2^2$	J
method proposed this paper	3.16	10.68	5.40	0.350	6.103
modified method Ziegler-Nichols	0.075	0.69	1.591	0.830	19.85

Table 6 Values of optimal gain f_1, f_2, f_3, f_4 and cost function J of system 4

system 4; $a_1=2.2, a_2=1.4, a_3=2.0, r=0.1$								
q_1	q_2	q_3	q_4	f_1	f_2	f_3	f_4	J
1.0	1.0	1.0	1.0	3.16	6.68	8.31	3.43	6.389
1.0	1.0	1.0	0.0	3.16	6.09	6.72	2.08	4.948
1.0	10.0	1.0	0.0	3.16	11.26	9.94	2.77	13.242
1.0	1.0	10.0	0.0	3.16	8.15	12.69	3.30	12.305

Table 7 Values of cost function J of system 4 when the gain f_1, f_2 and f_3 are optimal gains and the f_4 is zero

system 4; $a_1=2.2, a_2=1.4, a_3=2.0, r=0.1$								
q_1	q_2	q_3	q_4	f_1	f_2	f_3	f_4	J
1.0	1.0	1.0	1.0	3.16	6.68	8.31	0.0	10.538
1.0	1.0	1.0	0.0	3.16	6.09	6.72	0.0	6.807
1.0	10.0	1.0	0.0	3.16	11.26	9.94	0.0	19.709
1.0	1.0	10.0	0.0	3.16	8.15	12.69	0.0	15.264

5-2 荷重係數와 PID 제어기의 파라미터와의 관계

상태 $x(t)$ 에 대한 荷重係數 q_1, q_2, q_3 와 PID 制御器의 파라미터와의 關係를 檢討하기 위하여 Table 1에 表示되어 있는 system 2를 제어대상으로 하고, 먼저 q_2 와 q_3 를 1.0으로, r 를 0.1로 固定해 두고 q_1 을 0.1, 0.5, 1.0, 5.0, 10.0, 50.0, 100.0으로 점차 增加시킬 때 PID 제어기의 각 파라미터의 값이 변화해 가는 橫樣을 Fig.8에 表示하고 있다. 또 q_1 과 q_3 를 1.0으로, r 를 0.1로 固定해 두고 q_2 를 上記와 같은 방법으로 변화시킨 경우 PID 제어기의 각 파라미터의 값은 Fig.9에 표시되어 있으며, q_1 과 q_2 를 1.0으로, r 를 0.1로 固定하고 q_3 를 變化시킨 경우는 Fig.10에 표시하고 있다. 이 세 그림에 있어서 荷重係數의 크기를 表示하는 橫軸의 座表는 常用對數의 눈금으로 한다.

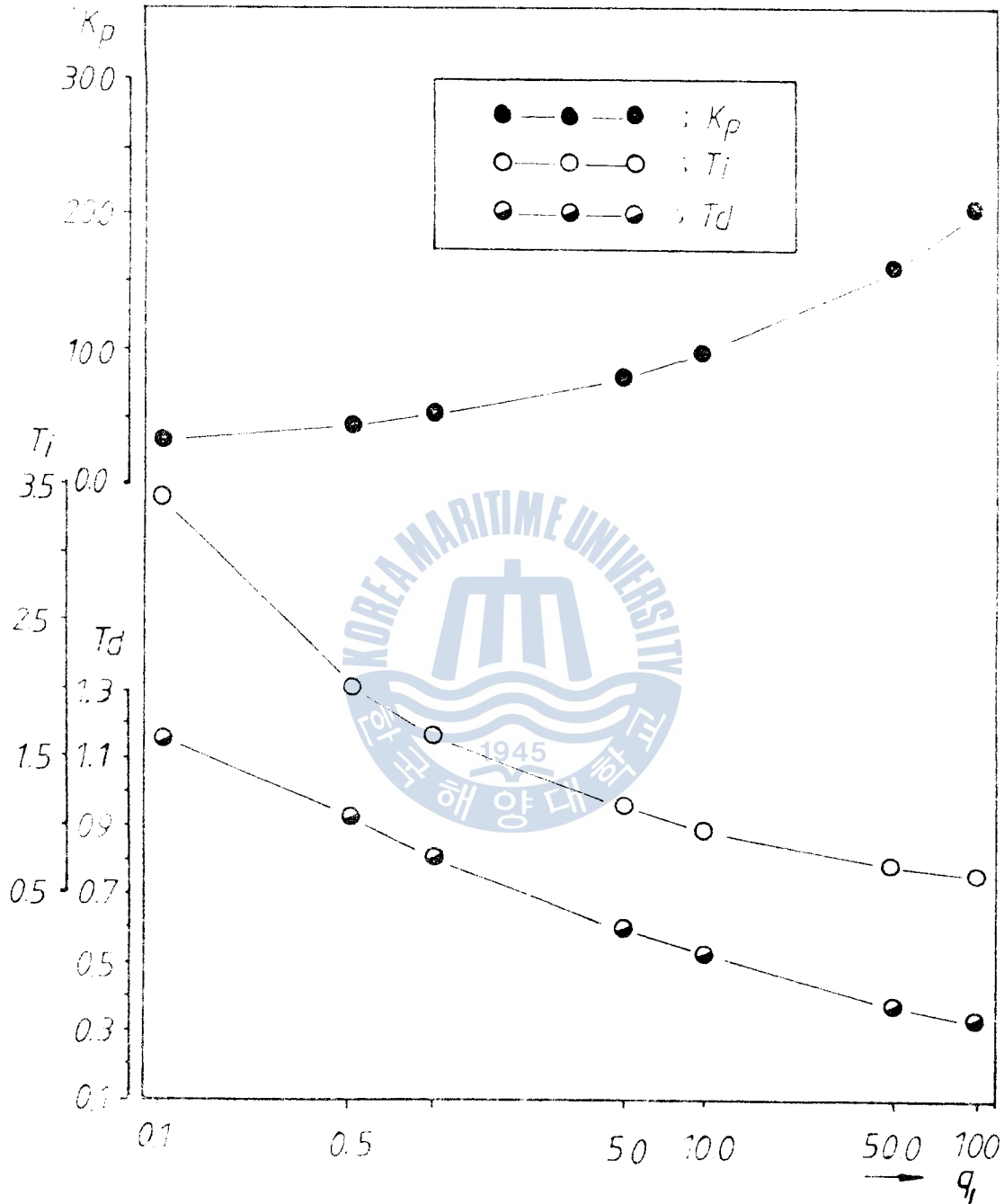


Fig. 8 Curves of K_p , T_i and T_d according to change of weighting factor q_1 when $q_2=q_3=1.0$ and $r=0.1$

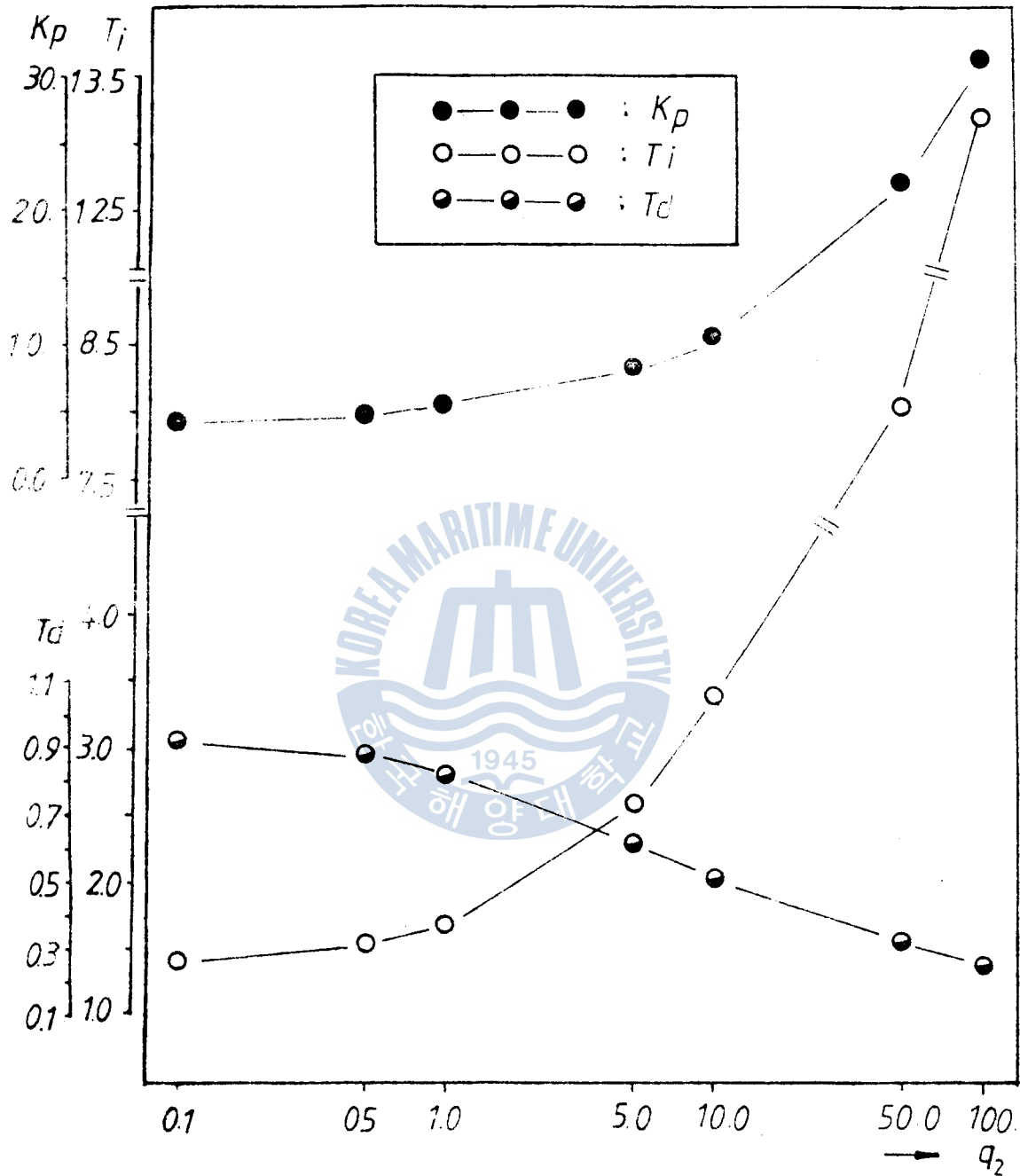


Fig. 9 Curves of K_p , T_i and T_d according to change of weighting factor q_2 when $q_1=q_3=1.0$ and $r=0.1$

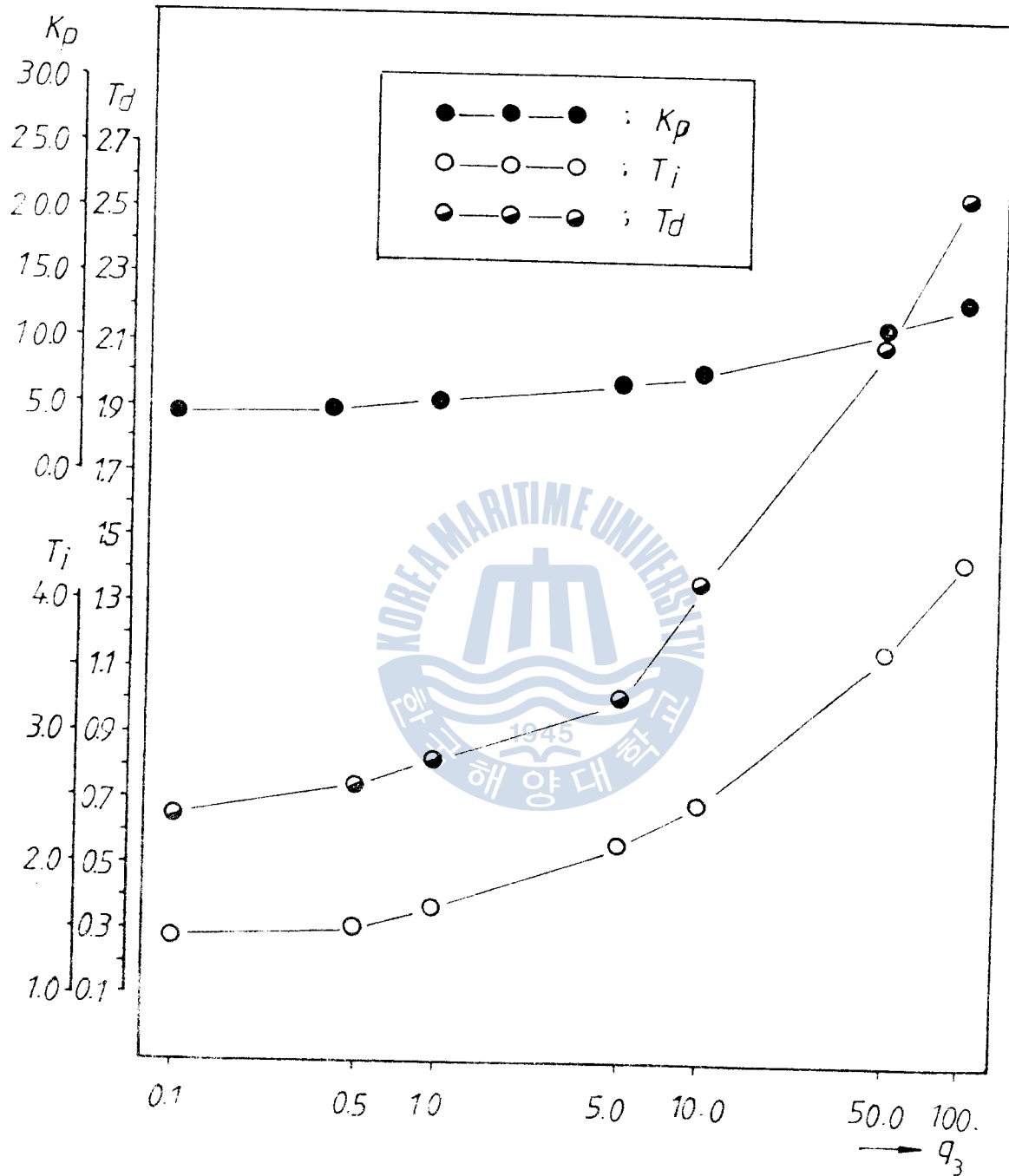


Fig. 10 Curves of K_p, T_i and T_d according to change of weighting factor q_3 when $q_1=q_2=1.0$ and $r=0.1$

5-3 應答 시뮬레이션

5-1節에서 數值計算된 最適제인으로 상태피드백 制御를 行하였을 때의 最適制御入力 $\bar{u}^o(t)$ 및 상태 $x_2(t)$ 의 system 1, system 2, system 3에 대한 應答 시뮬레이션을 行하고 그 結果를 표시하면 各各 Fig.11~Fig.13 과 같다.

Fig.14는 system 2에 대해 荷重係數 $r=0.1$, $q_1=1.0$, $q_2=10.0$, $q_3=1.0$ 으로 하여 5-1節에서 言及한 修定된 Ziegler-Nichols 方法으로 PID制御器를 選定한 경우와 本 研究에서 提示하는 方法에 의해 PID제어기의 퍼래미터를 選定한 경우와의 應答 시뮬레이션 結果를 比較 表示하고 있다.

또 system 4에 대한 應答 시뮬레이션 曲線들은 Fig.15~Fig.18 과 같다.

Fig.15 는 本 研究에서 提示하는 方法으로 最適피드백 제인 $f_1 \sim f_4$ 를 구하고 모든 狀態가 觀測 可能한 것으로 보고 상태피드백을 行한 경우의 응답 시뮬레이션 結果이다.

다음에 system 4의 경우 $n=4$ 로써 狀態가 $x_1(t) \sim x_4(t)$ 의 4개가 存在하나 出力으로는 PID 제어기의 入出力 2개 밖에 없으므로 部分狀態觀測器를 이용하여 2개의 狀態 $x_3(t)$ 와 $x_4(t)$ 를 推定 하여야 한다. 우선 行列 H의 要素 h_{ij} 를 決定하기 위하여 식 (3.2.8)에 $m=2$, $p=20.0$ 을 代入하면 行列 H는 다음과 같이 된다.

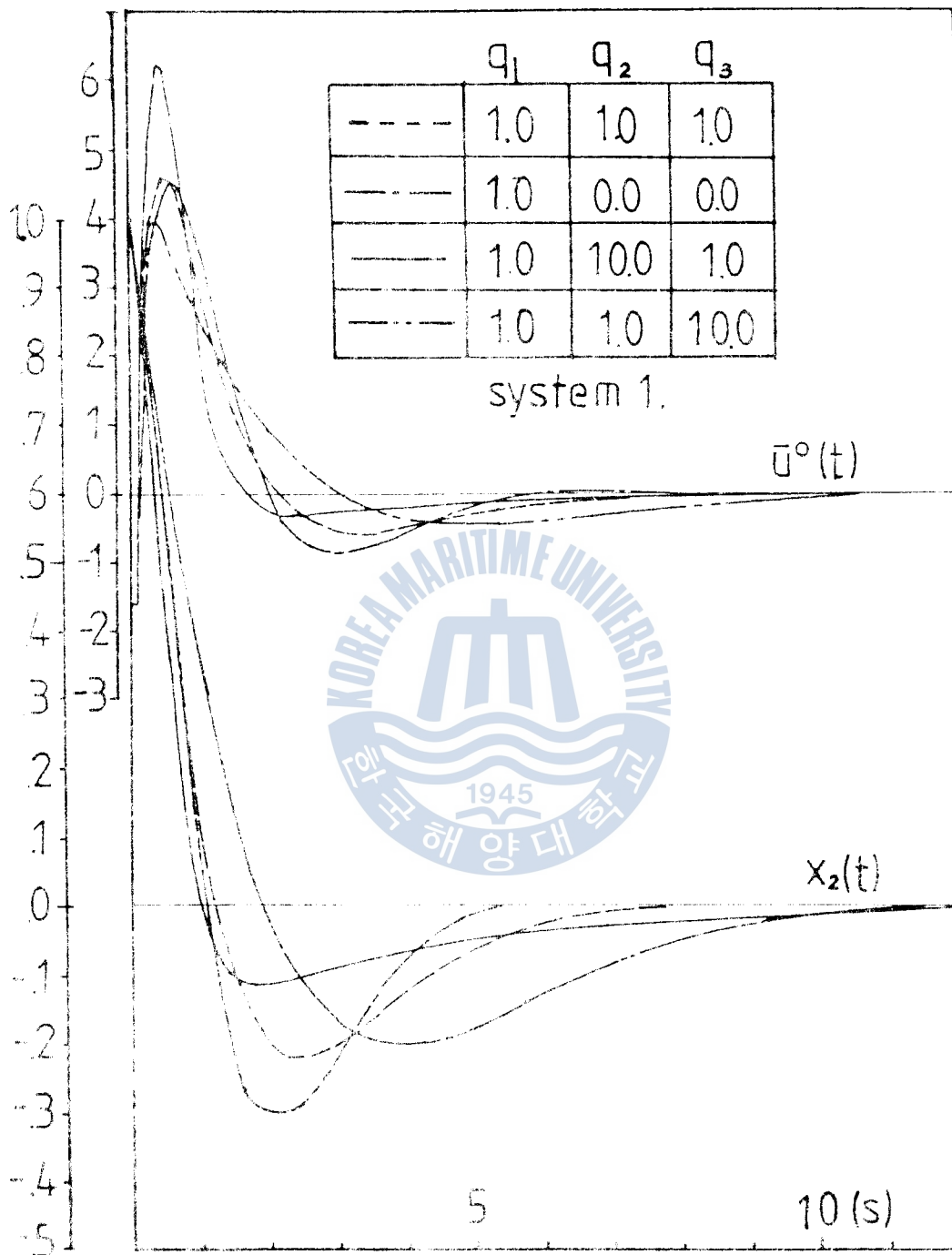


Fig. 11 Curves of state $x_2(t)$ and the optimal control input $\bar{u}^0(t)$ for system 1

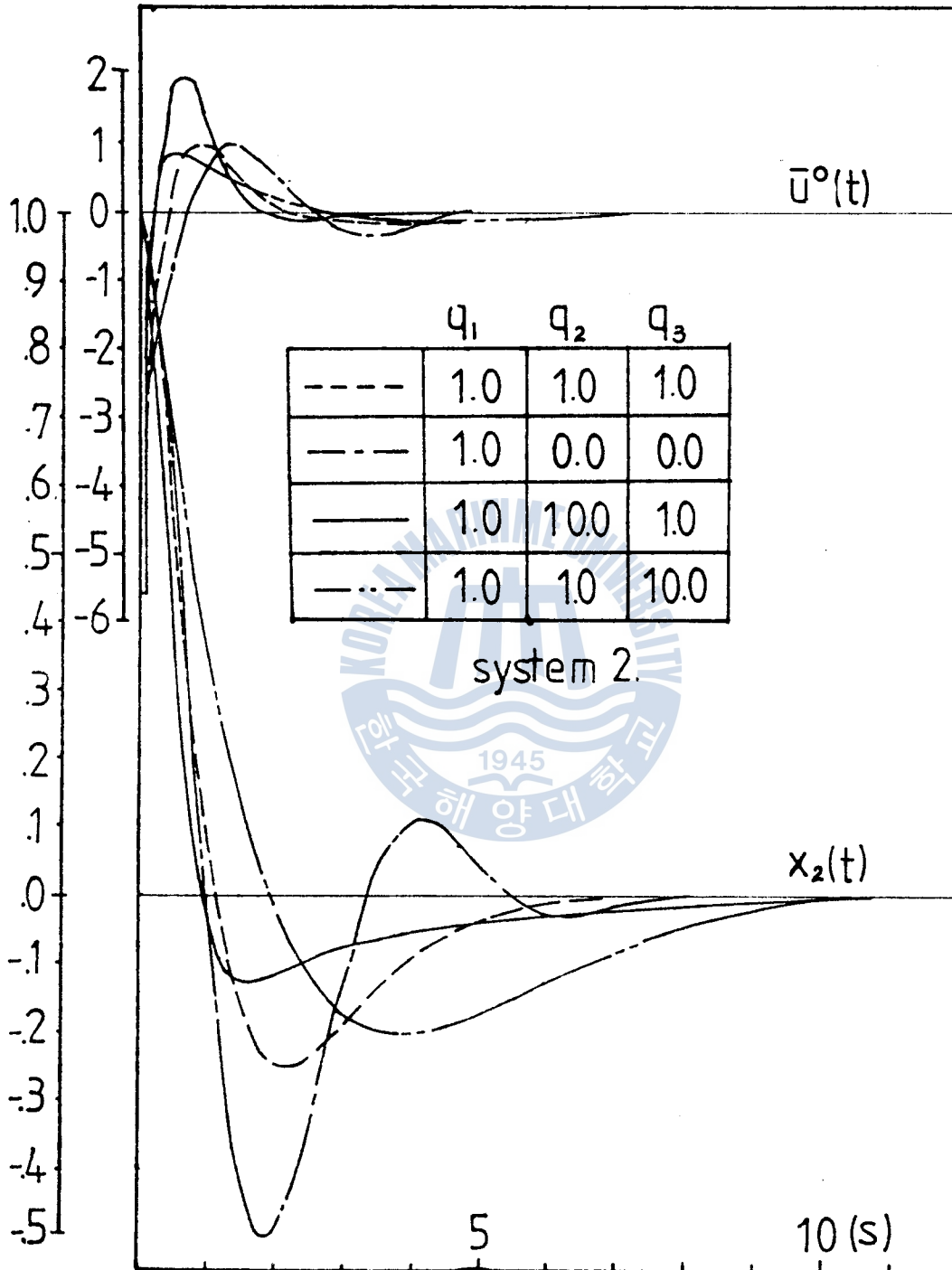


Fig.12 Curves of state $x_2(t)$ and the optimal control input $\bar{u}^0(t)$ for system 2

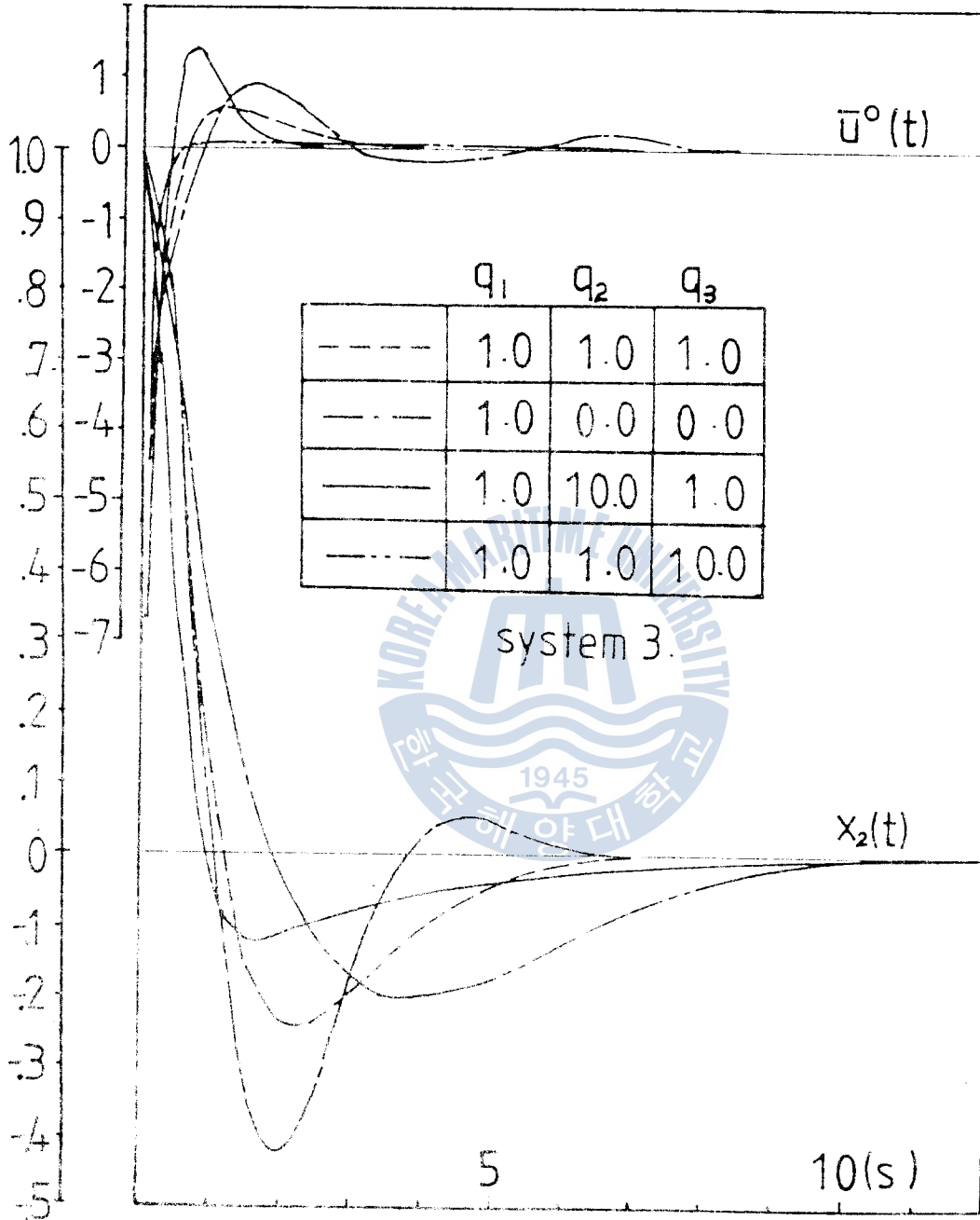


Fig.13 Curves of state $x_2(t)$ and the optimal control input $\bar{u}^0(t)$ for system 3

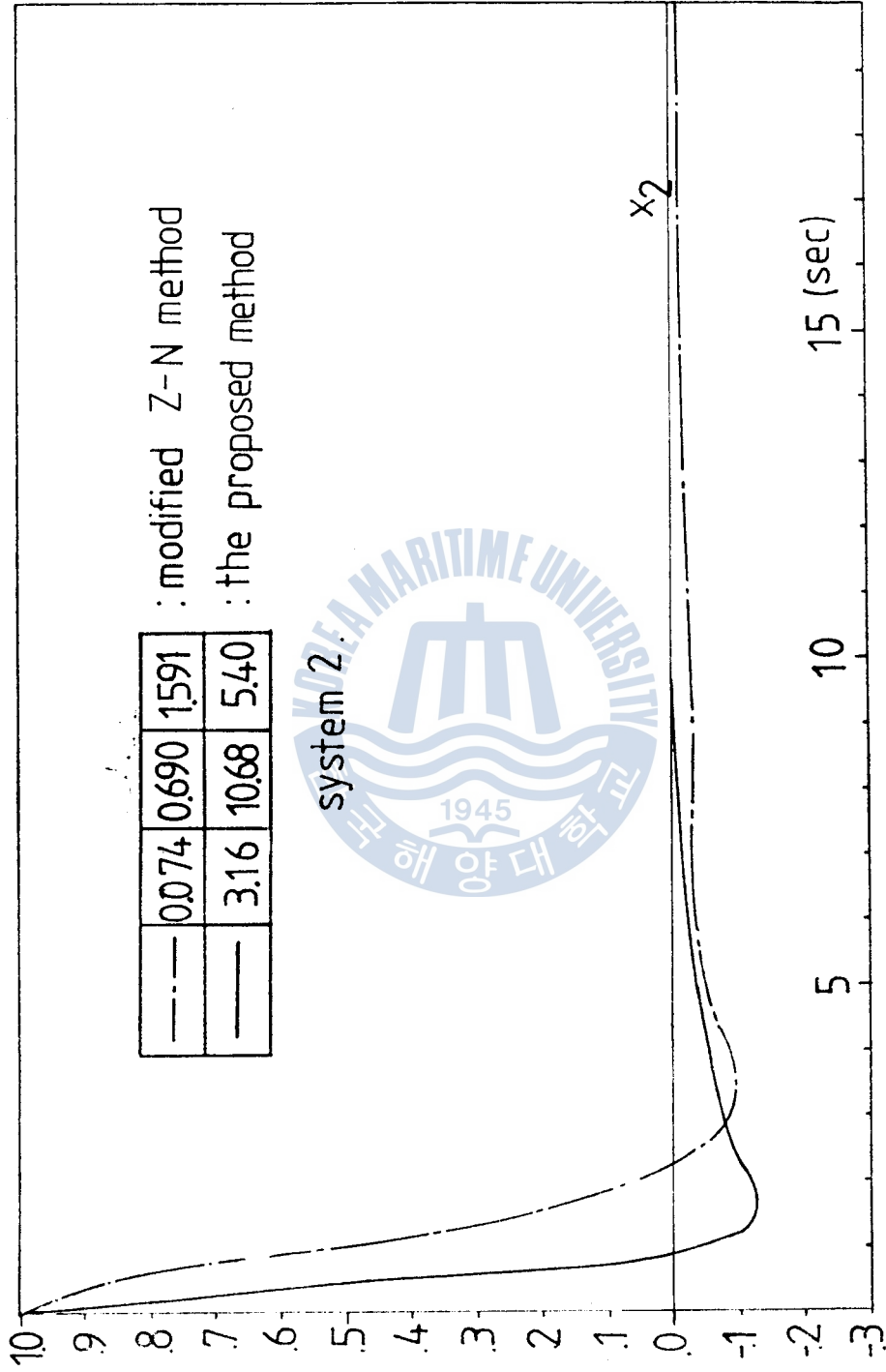


Fig.14 Curves of state $x_2(t)$ controlled by modified method of Z-N and method proposed in this paper

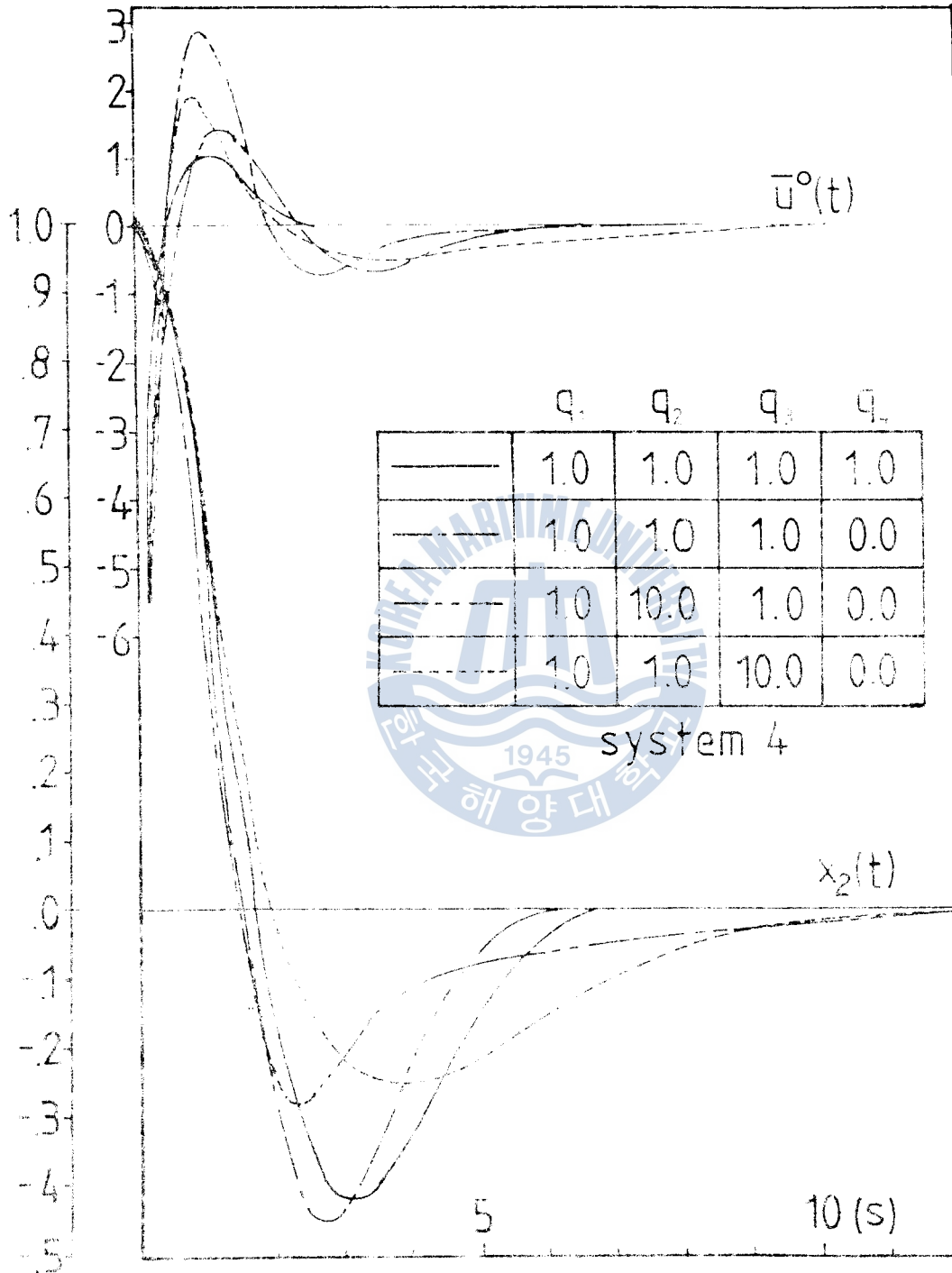


Fig.15 Curves of state $x_2(t)$ and the optimal control input $\bar{u}^0(t)$ for system 4

$$H = \begin{bmatrix} h_{11} & h_{12} \\ h_{21} & h_{22} \end{bmatrix} \quad (5.3.1)$$

$$\text{여기서, } h_{11} = h_{21} = 0$$

$$h_{12} = a_1 - 2C_1p = -37.8$$

$$h_{22} = a_2 - p^2 - a_1h_{12} = -483.16$$

이 H 를 利用하여 식(3.1.15)에 의해서 觀測器를 構成하고 식(3.1.16)에 의해서 $\hat{x}_4(t)$ 를 計算한 다음 PID 制御器 出力과 $f_4\hat{x}_4(t)$ 로서 最適피드백을 行한 경우의 應答 시뮬레이션을 行하고 그 結果를 表示한 것이 Fig.16 이다.

또한 Fig.17 은 상태 $x_4(t)$ 의 眞値와 觀測器를 이용하여 얻은 推定値 $\hat{x}_4(t)$ 를 比較한 그림이며 $x_4(t)$ 의 推定誤차가 피드백 制御 特性에 미치는 影響을 檢討하기 위하여 荷重係數의 여러가지의 값에 대하여 식(2.1.8)의 評價函數의 값을 計算하고 그 結果를 Table 8 에 表示한다. Table 8 에서 J_1 은 $x_4(t)$ 의 眞値를 이용한 경우이고 J_2 는 推定値 $\hat{x}_4(t)$ 를 이용한 경우이며 ϵ 은 $(J_2 - J_1)/J_1 \times 100$ 을 나타낸다.

Fig.18은 最適피드백 계인 f_1, f_2, f_3, f_4 중 f_1, f_2, f_3 만으로 制御器를 構成(즉, PID動作의 경우)하여 制御를 行하였을 경우와 f_1, f_2, f_3, f_4 全部로서 制御器를 構成하여 制御를 行한 경우와의 差異를 調査하기 위하여 f_4 를 0으로 하여 應答 시뮬레이션 行한 結果를 나타낸 그림이다.

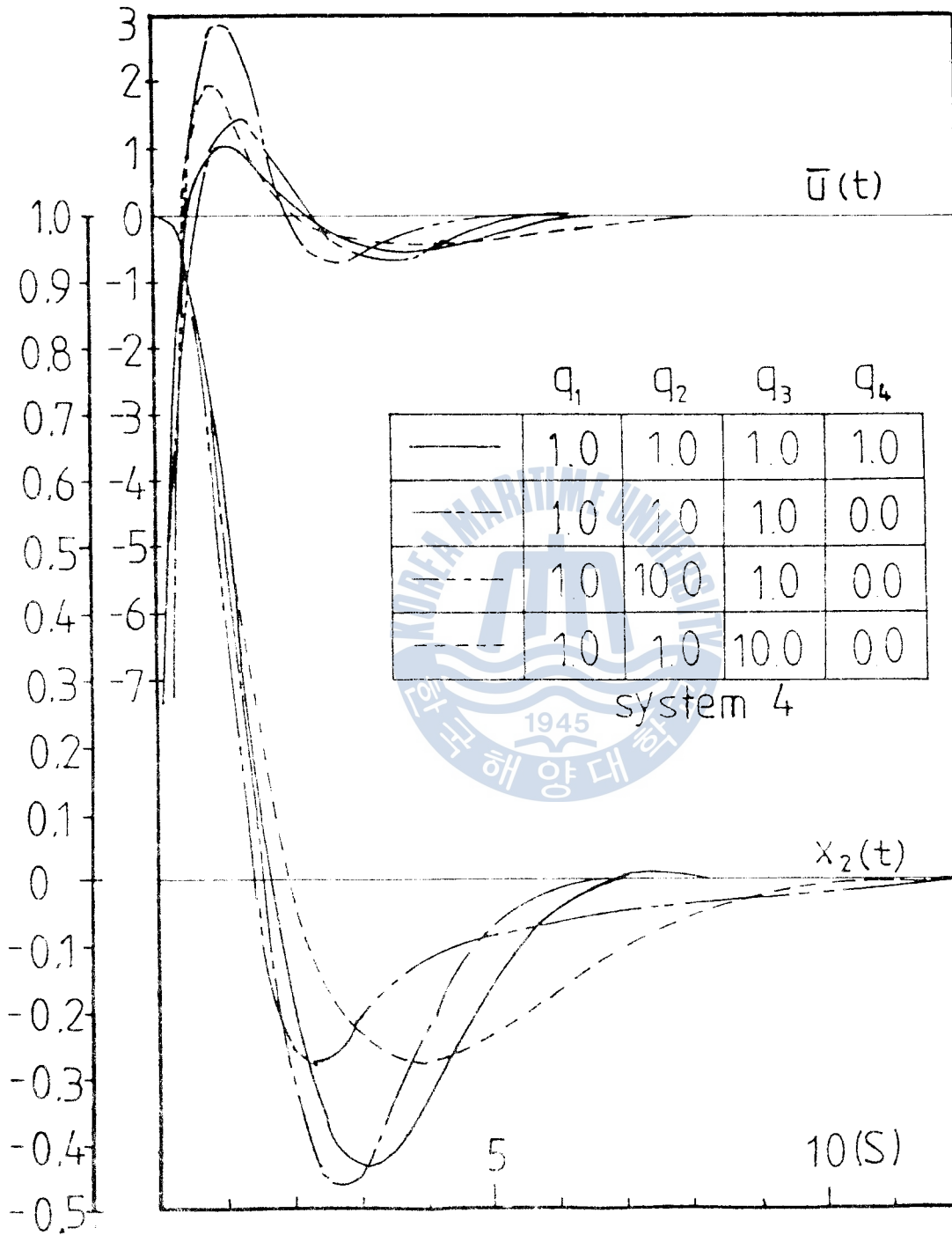
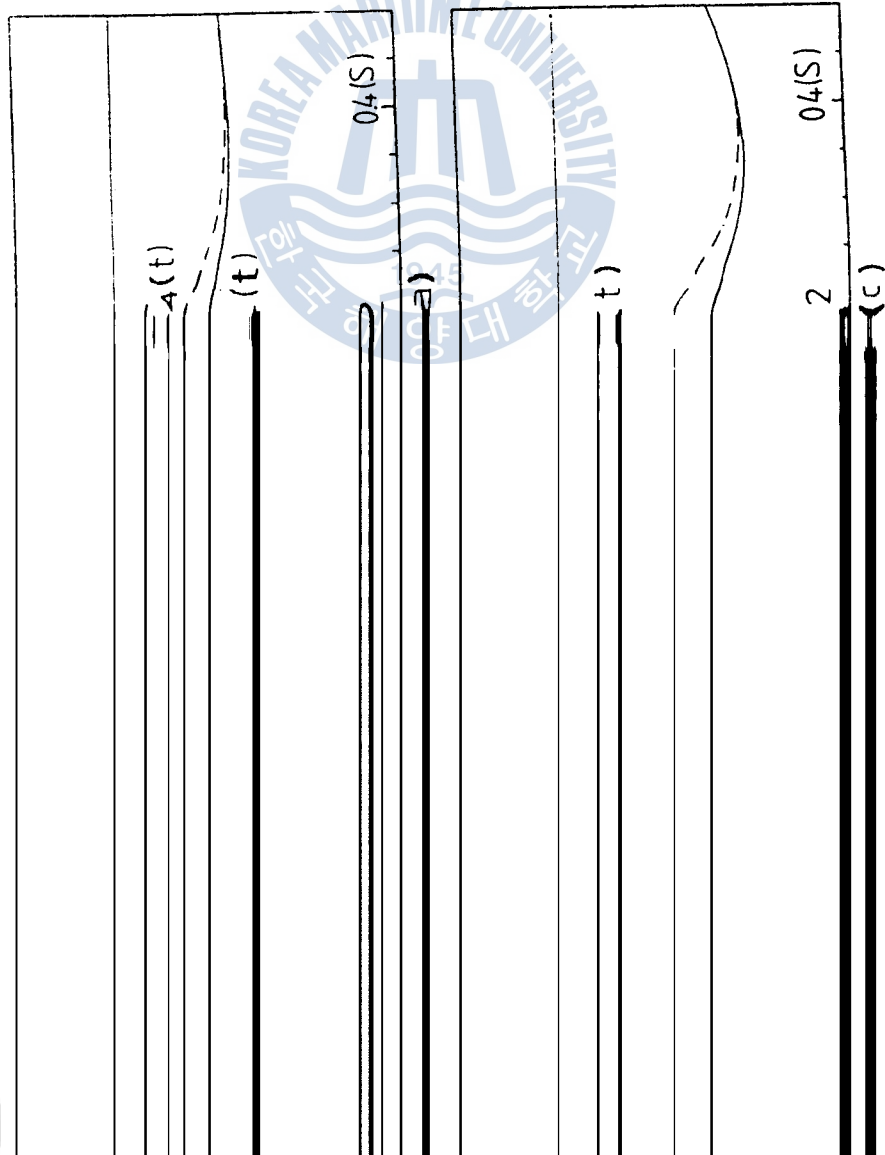
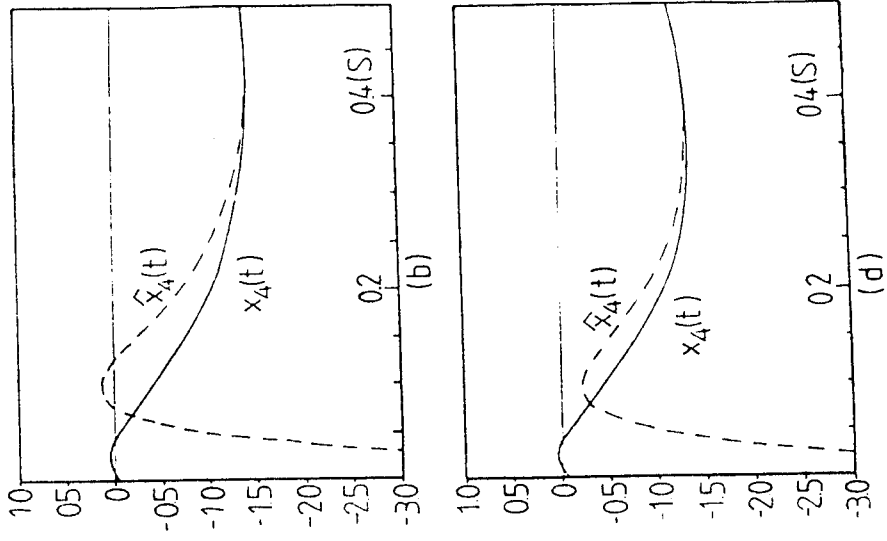


Fig.16 Curves of state $x_2(t)$ and control input $\bar{u}(t)$ with observer for system 4



Curves of true state $x_4(t)$ and estimated state $\hat{x}_4(t)$ for system 4 when $p = 20.0$

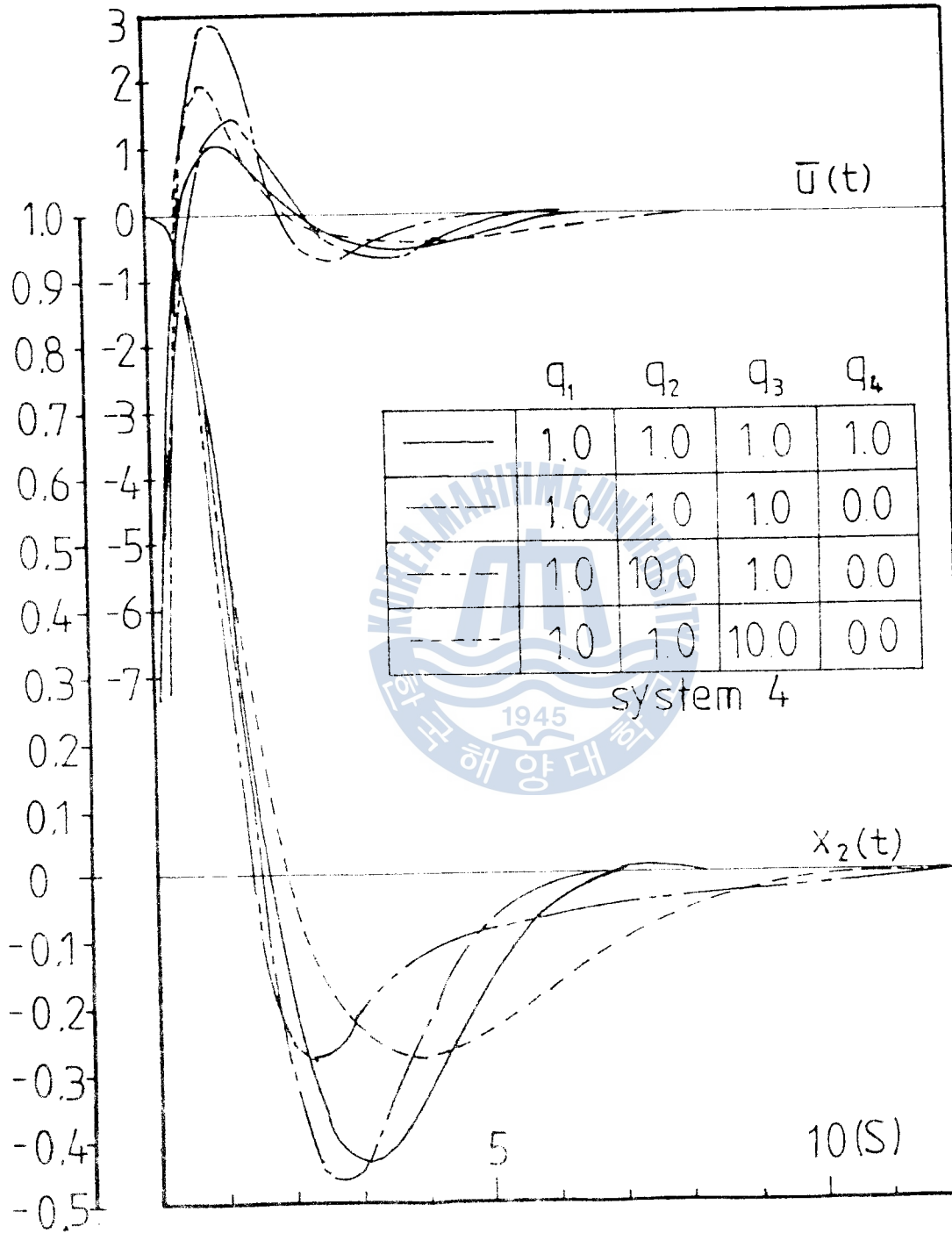


Fig.16 Curves of state $x_2(t)$ and control input $\bar{u}(t)$ with observer for system 4

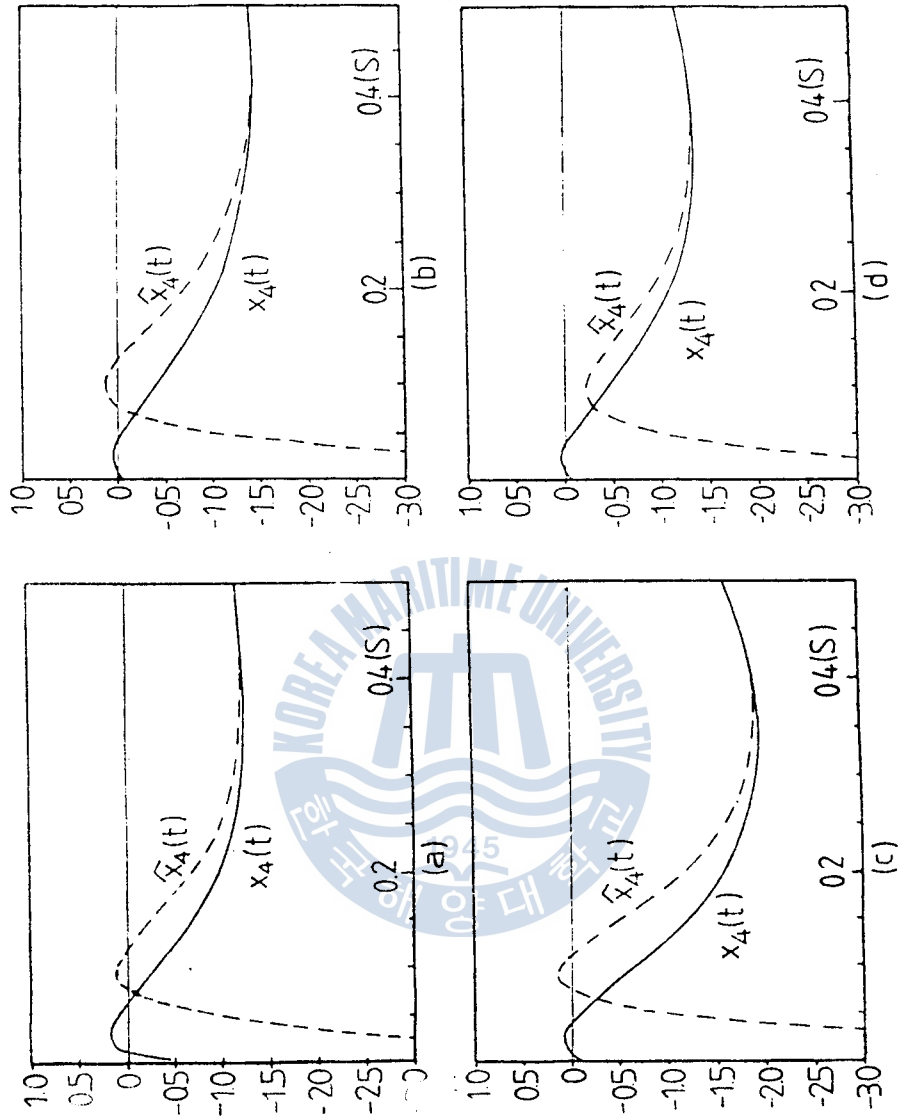


Fig.17 Curves of true state $x_4(t)$ and estimated state $\hat{x}_4(t)$ for system 4 when $p = z_{0.0}$

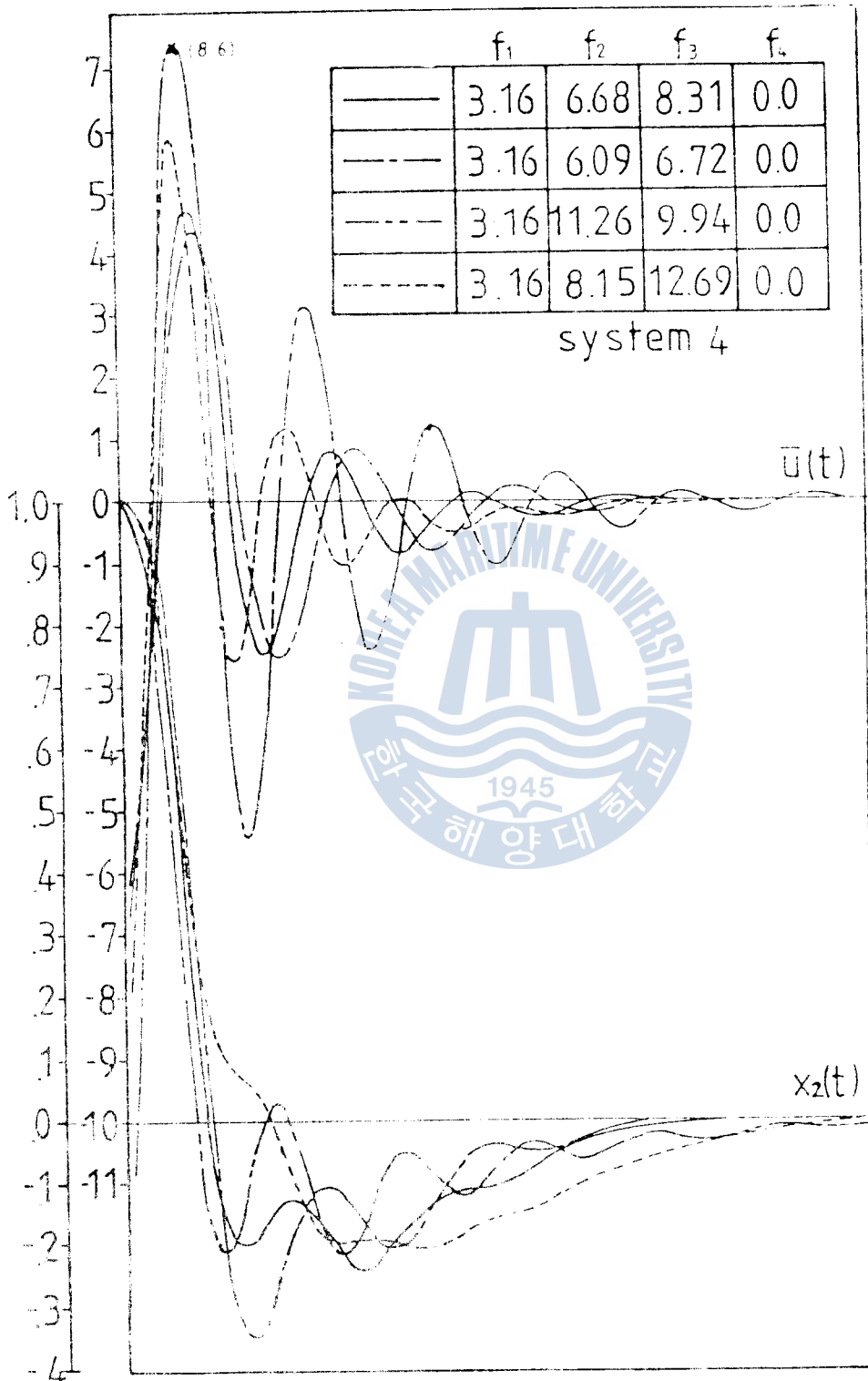


Fig.18 Curves of state $x_2(t)$ and control input $\bar{u}(t)$ for system 4 when gain f_1, f_2 and f_3 are optimal gains and f_4 is zero

Table 8 Comparison with performance index

$a_1=2.2$, $a_2=1.4$, $a_3=2.0$, $r=0.1$; system 4

q_1	q_2	q_3	q_4	value of performance index(J_1)	value of performance index(J_2)	ξ (%)
1.0	1.0	1.0	1.0	6.389	7.292	14.13
1.0	1.0	1.0	0.0	4.948	5.329	7.70
1.0	10.0	1.0	0.0	13.242	14.202	7.25
1.0	1.0	10.0	0.0	12.305	12.878	4.66

第6章 ; 마이크로 컴퓨터를 利用한 實時間制御 實驗

本 章에서는 實際의 플란트에 대하여 콘버터와 마이크로 컴퓨터로서 制御器와 觀測器를 實現함으로써 第2章 및 第3章에서 提 案한 方法으로 最適 피이드백 制御系統을 構成하고, 第4章에서 言 及한 디지털 制御 알고리즘으로 實時間 制御를 行하는 應答實驗 을 行하기로 한다.

6-1. 實驗裝置의 構成.

Fig.5의 블록선도 中の 制御器 및 觀測器와 최적 피이드백 계 인의 계산을 위한 CAD부분은 마이크로 컴퓨터를 이용하고 플란트 는 아날로그 컴퓨터(Analog Computer) 51)로서 實現하여 Fig.19의 블 록선도와 같이 최적 피이드백 제어계를 구성하였으며, 여기서 使 用된 ADC(Anlog-to-Digital Converter) 및 DAC(Digital-to-Analog Converter) 52-53), 마이크로 컴퓨터와 아날로그 컴퓨터의 仕様은 Table 9 와 같으며 Photo 1 은 實驗裝置의 實物 寫眞이다.

그리고, 制御器의 設計와 觀測器의 設計 및 實時間 制御를 위 한 프로그램의 알고리즘을 나타내는 플로우차트는 Fig.20에 表示 한 바와 같다. Fig.20에서 制御器의 설계 및 主 制御 알고리즘 은 FORTRAN 言語로 프로그램을 作成하였으며 SUBROUTINE OPERATION 내의 信號變換 부분 등은 ASSEMBLY 言語로 프로그램을 作成하였다.

Table 9 Microcomputer, ADC/DAC converter and analog computer

Microcomputer	Analog computer	AD & DA converter
기기명: TRIGEM AT MAIN CPU: 80286 (16bit) RAM: 64KB ROM: 32KB I/O SLOT: 12EA SERIAL PORT: RSC 232C REAL TIME CLOCK HARD DISC: 20MB FDD: 1.2MB 제작사: 삼보 COMPUTER	기기명: ADAC L-100 연산전압: -10V ~ +10V 출력전류: ±4mA (±10V에서) 정적정도: ±1 ~ ±3% (선형요소) ±1 ~ ±1.5% (비선형요소) 동적정도 (CYCLE TEST 치) : ±.1% / CYCLE η = 1rad/s : ±.3% / CYCLE η = 100rad/s 소비전력: 35VA 제작사: ANDO 전기주식회사	기기명: LAB-8000 구성요소: IBM-BUS TRANSLATER I/O DECODER DI-24 CHANNEL DO-24 CHANNEL D/A-16 CHANNEL A/D-16 CHANNEL A/D EXPANDER (16CH) TIMER/COUNTER 제작사: HANDO ENGINEERING CO.

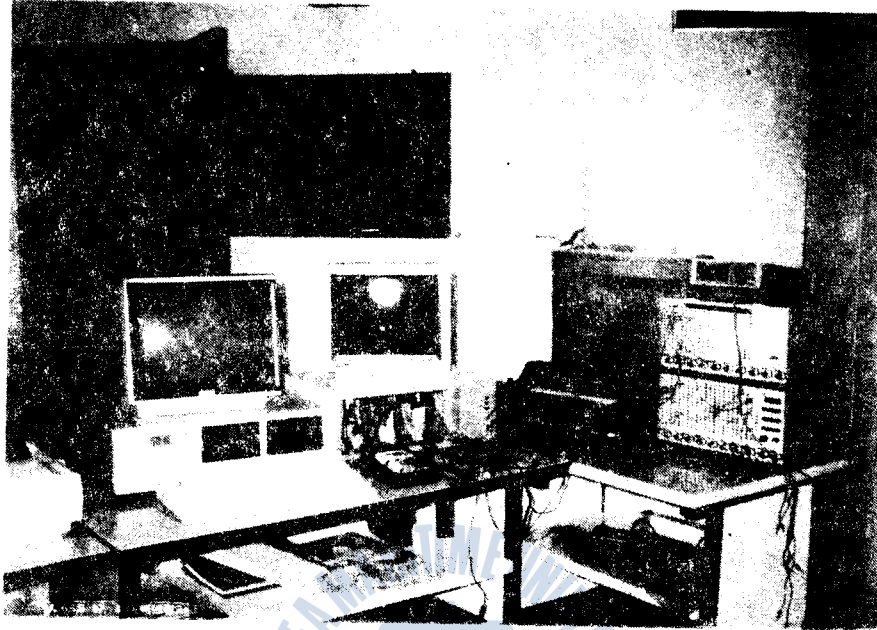


Photo.1 Photographs of experimental apparatus

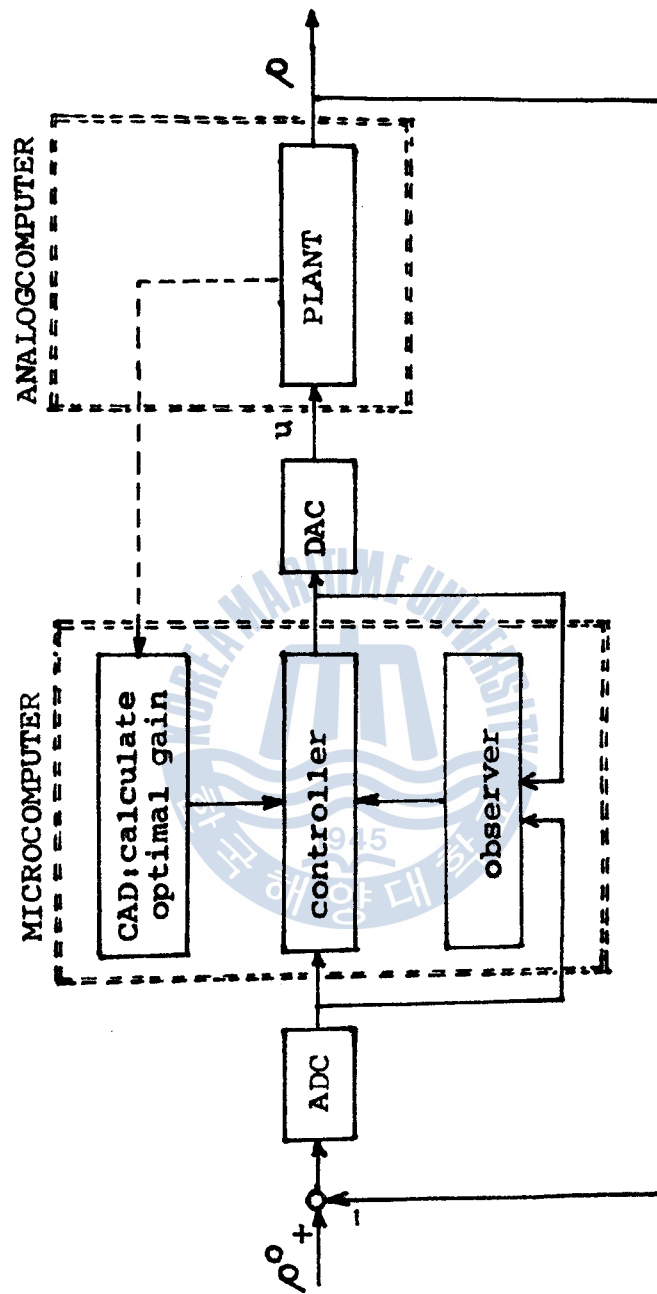


Fig. 19 Block diagram of control system using microcomputer

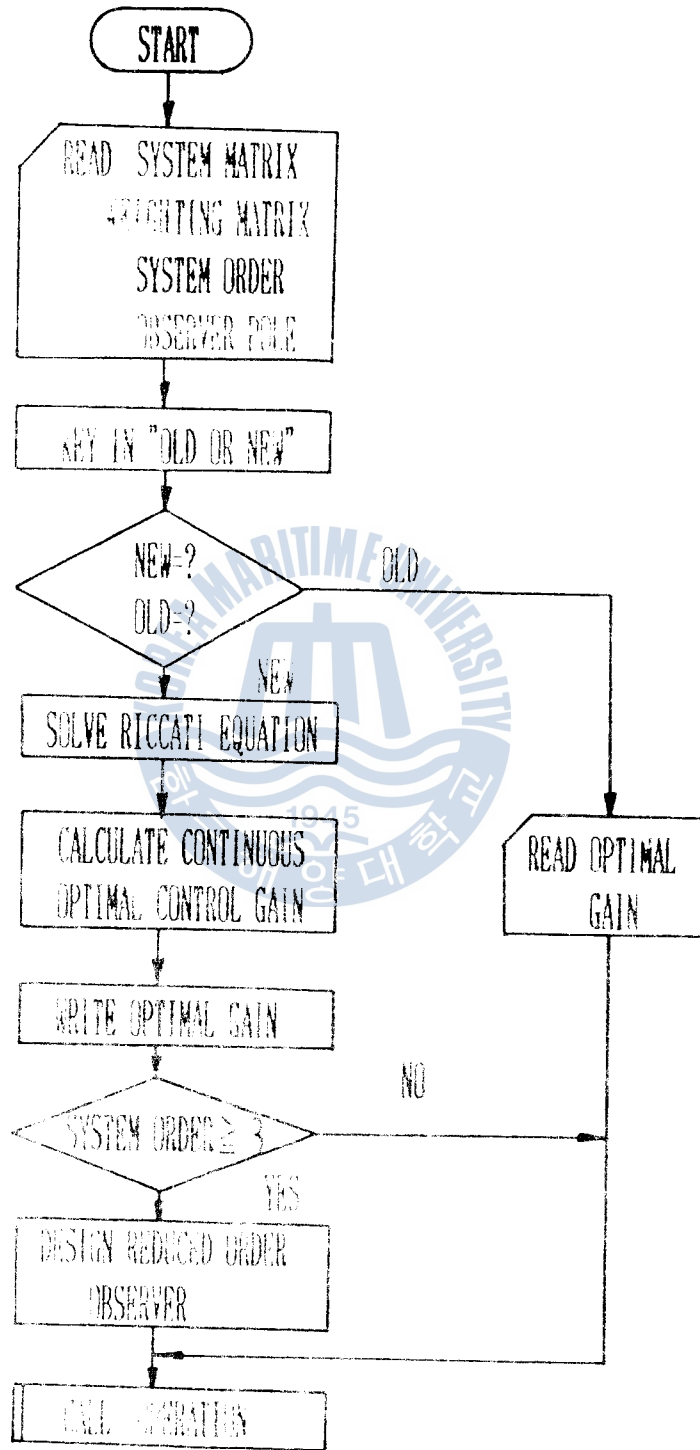


Fig. 20 Flow chart

Fig.21은 制御對狀이 3次인 System 4에 대하여 Fig.19의 플란트 부분을 아날로그 컴퓨터로서 實現한 實驗裝置의 概略圖이다. 本實驗에서는 基準入力(目標值)을 ADC, DAC 및 아날로그 컴퓨터의 演算電壓 범위 등의 제약조건을 감안하여 0.5V가 되게 設定하였으며, ADC 및 DAC의 DIP 스위치는 전압의 變換範圍가 $\pm 10V$ 가 되도록 調定하였다.

또한, Fig.22은 Fig.20의 플로우차트에 의해 作成된 프로그램으로 實時間 制御를 할 때 Key board상의 操作의 일 예를 나타내고 있다. 여기서 밑줄 친 부분은 Key board상에서 入力시키는 것을, ↵ 의 화살표는 Return Key의 操作을 意味한다. Operat는 實行 프로그램명이고, Op33. dat에는 제어대상에 관한 內容, 荷重行列 및 觀測器의 固有值 등에 관한 情報가 들어 있는 data file名이다. 시스템에 관한 制御器 및 觀測器의 설계가 되어 있지 않는 最初(New)에는 0을, 以前에 이미 계산되어 있는 경우(old)에는 1을 Key로 入力시킨다. 즉, New인 경우는 최적계인 등을 새로이 계산하고 Old인 경우에는 Op33. d에 있는 최적 계인을 읽어 온다.

Op33. r은 演算結果를 write하는 file명이고, Op33. d는 Old일 경우의 入力으로 될 최적계인을 write해 두는 file명이다.

그 다음 段階에서 샘플링 時間을 入力 시킴으로써 實時間 制御에 必要한 모든 準備 動作은 完了 된다. 제어 시작을 표시하는 命令(여기서는 1.0)을 入力 시킴으로써 實時間 制御가 시작되고 정해진 時間 동안 制御를 行하고 나면 제어의 끝남이 表示 된다.

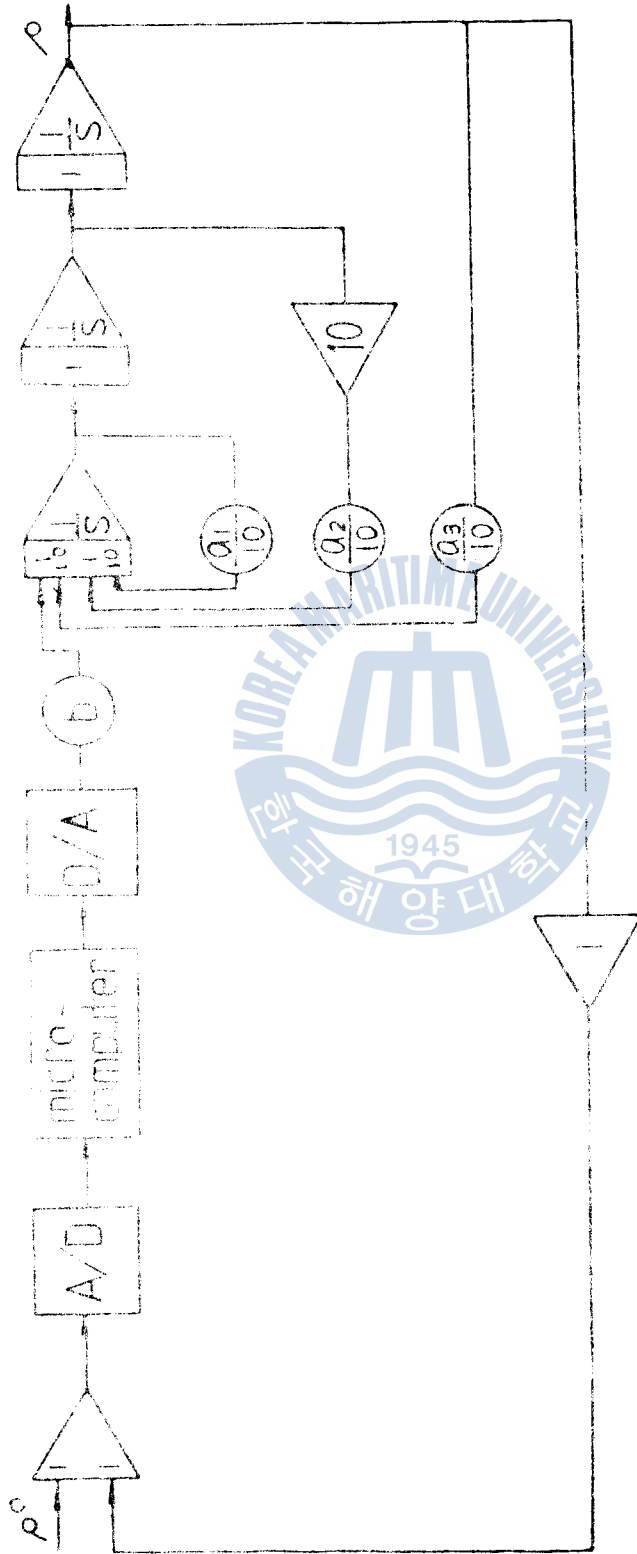


Fig. 21 Block diagram of control system using analog computer for plant of system 4

```

OPERAT  )
File name missing or blank - Please enter
UNIT 5? OP33.DAT  )

NEW == 0, OLD == 1, ?
0  )
UNIT 6? OP33.R  )
UNIT 7? OP33.D  )

SAMPLING TIME TS IS = ?
0.05  )

TS = .05000

KP= 8.864   TI= 2.806   TD= 1.198
G1= 221.246 G2=-433.309 G3= 212.303

START ==1.0 ?
1.0  )

CONTROL IS TERMINATED
CONTINUE = 1, STOP = 0
0  )
STOP

```

Fig.22 An example of real time control operation on microcomputer key board

6-2 샘플링 時間 T 의 選定

마이크로 컴퓨터를 이용하여 實際로 實時間 制御를 행하는 경우에 샘플링 時間 T 와 컴퓨터의 演算時間 및 콘버터의 信號變換時間 등은 매우 重要하다. 일반적으로 T 는 작을 수록 連續 制御에 가까와져서 더욱 精密한 制御를 행할 수 있으나, 컴퓨터의 演算時間과 콘버터의 信號變換時間 등의 制約으로 無限히 작게 할 수는 없다. 또한 A/D 變換時間과 演算時間의 合이 아주 작을 경우에는 A/D 變換과 D/A 變換이 거의 同時에 이루어졌다(즉, 同期가 되었다)고 볼 수 있으므로 샘플치 制御의 理論的 解析에 더욱 符合되어 良好한 制御가 可能하나 이는 컴퓨터 및 A/D 變換器 등의 하드웨어(hardware)적인 問題로 歸着된다. 이 A/D 變換時間, 演算時間, D/A 變換時間 등을 타임차트(time chart)로 表示하면 Fig. 23 과 같이 된다.

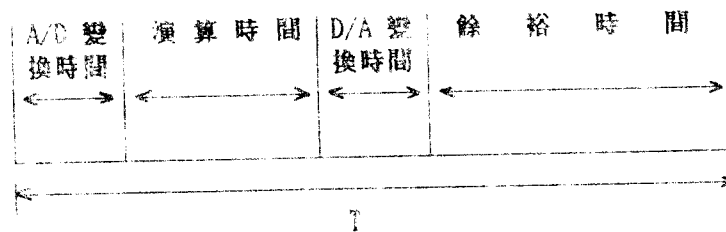


Fig. 23 Time chart

本 研究의 應答實驗에 이용된 콘버터의 信號變換時間은 A/D變換에 수 μsec , D/A變換에 $22\mu\text{sec}$ 가 소요되고, 制御 알고리즘의 演算에 約 2.5msec 가 소요된다. 여기서 콘버터의 信號變換時間에 비해 制御 알고리즘의 演算時間이 훨씬 크기 때문에 샘플링 時間 T의 變定の 決定的인 要因은 制御 알고리즘의 演算時間이라는 것을 알 수 있다. 本 實驗에서는 D/A變換 後 다음 샘플링 까지의 餘裕時間(idle time)을 47.5msec 로 하여 샘플링 時間 T를 50msec 로 하여 實時間 制御를 행하기로 한다.

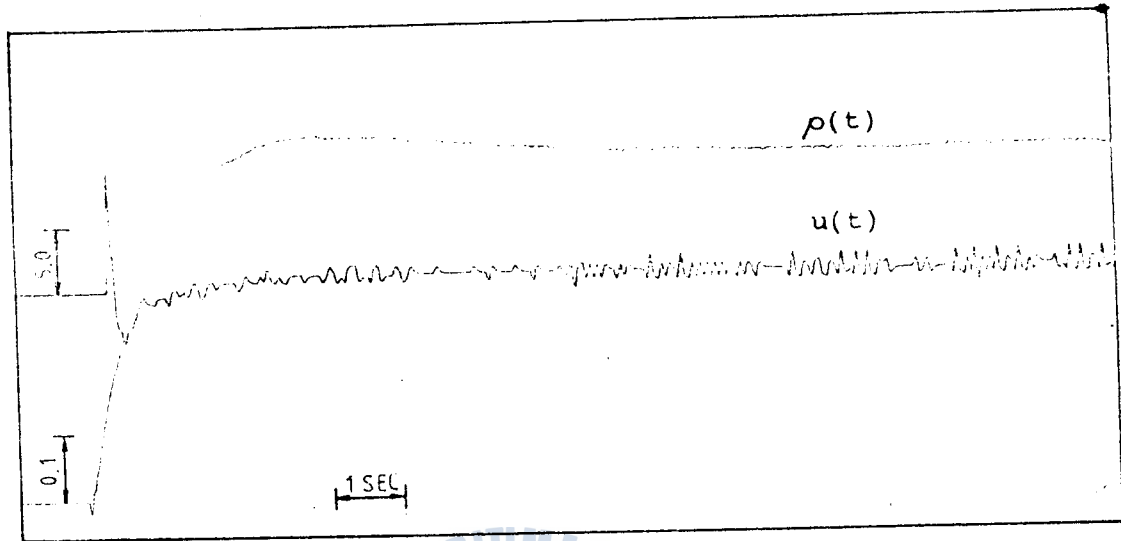


6-3. 應 答 曲 線.

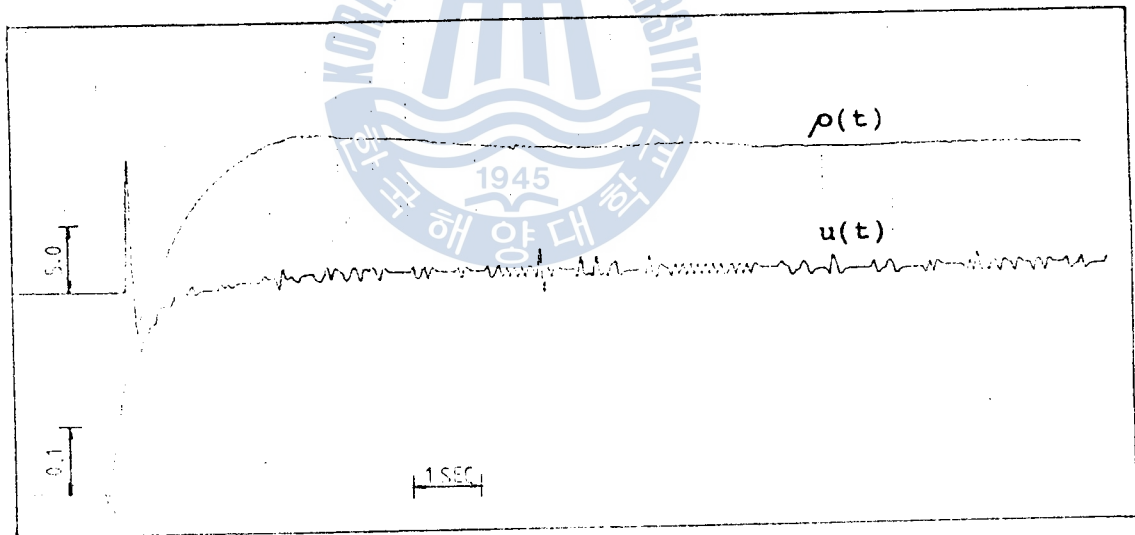
Fig.19와 같이 構成된 最適 피이드백 制御系에 대해서 플란트를 System 1 ~ System 4 의 4가지 경우에 대하여 應答實驗을 行하였다.

制御對象이 2次인 경우 즉, System 1, System 2, System 3의 경우에 대해 식(2.1.9)의 評價函數 中 入力에 대한 荷重係數 r 을 0.1로 固定하고 상태에 대한 하중계수 對角行列 Q 의 對角要素 q_1, q_2, q_3 를 各各 變化시키면서 應答實驗한 結果는 Fig.24 ~ Fig.26과 같다. 또, Fig.27는 제어對象이 3차인 경우(System 4)의 경우 r 을 0.1로 固定하고 q_1, q_2, q_3, q_4 를 各各 變化시키면 應答實驗한 結果를 表示하고 있다.

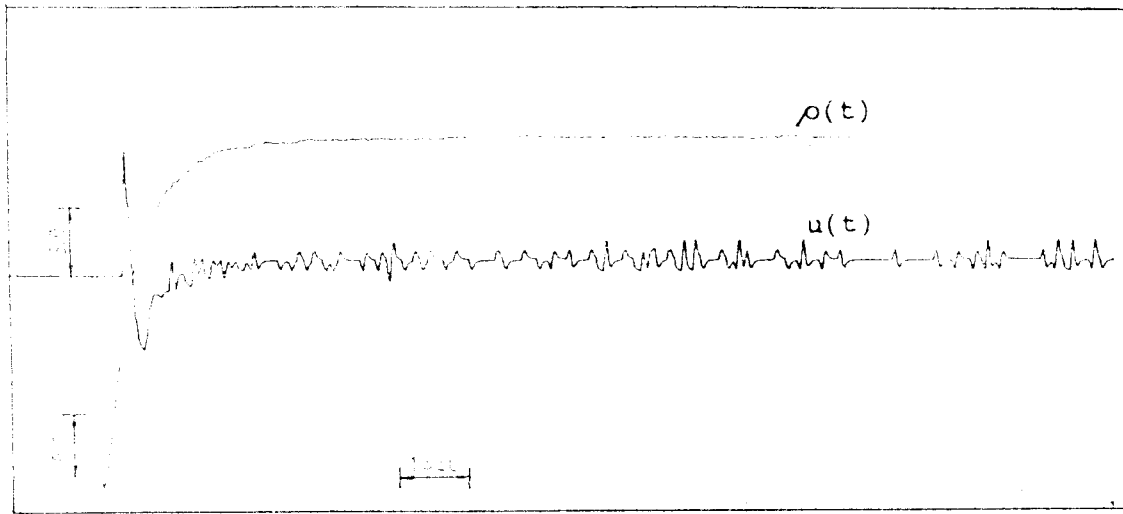
以上은 標準形 디지털 PID 制御器의 알고리즘에 의해 應答 實驗을 行한 경우이다. system 4 에 대해 修正된 디지털 PID 制御器의 알고리즘으로 應答 實驗한 것이 Fig.28 에 表示되어 있다.



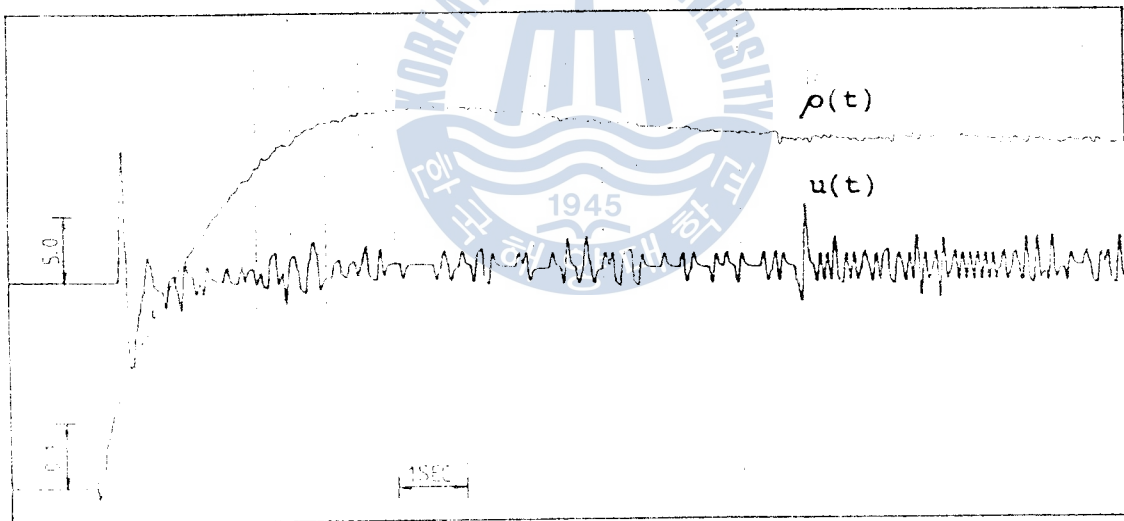
(Fig.24-a): $q_1=1.0, q_2=1.0, q_3=1.0, r=0.1$



(Fig.24-b): $q_1=1.0, q_2=0.0, q_3=0.0, r=0.1$



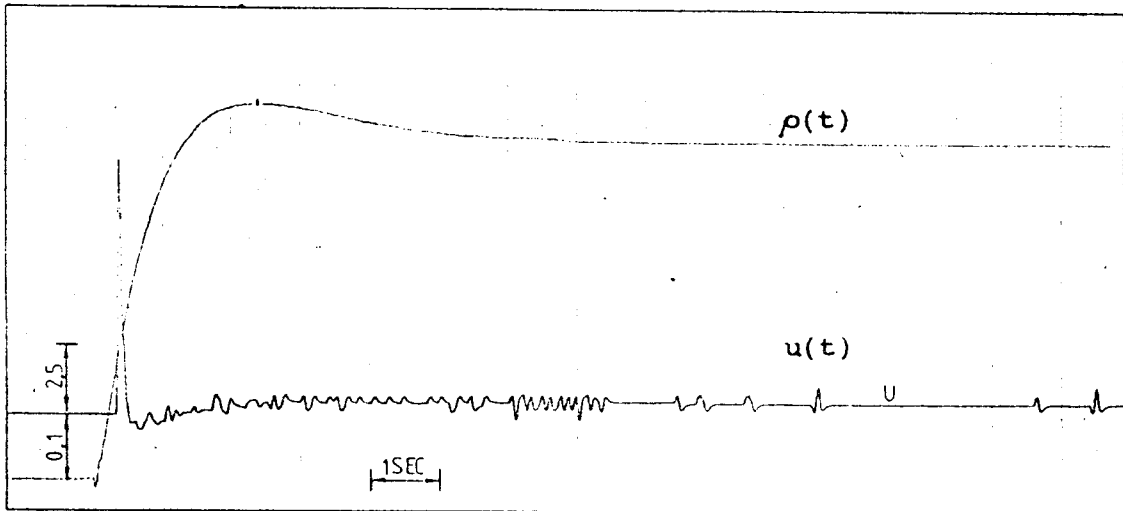
(Fig.24-c) : $q_1=1.0, q_2=10.0, q_3=1.0, r=0.1$



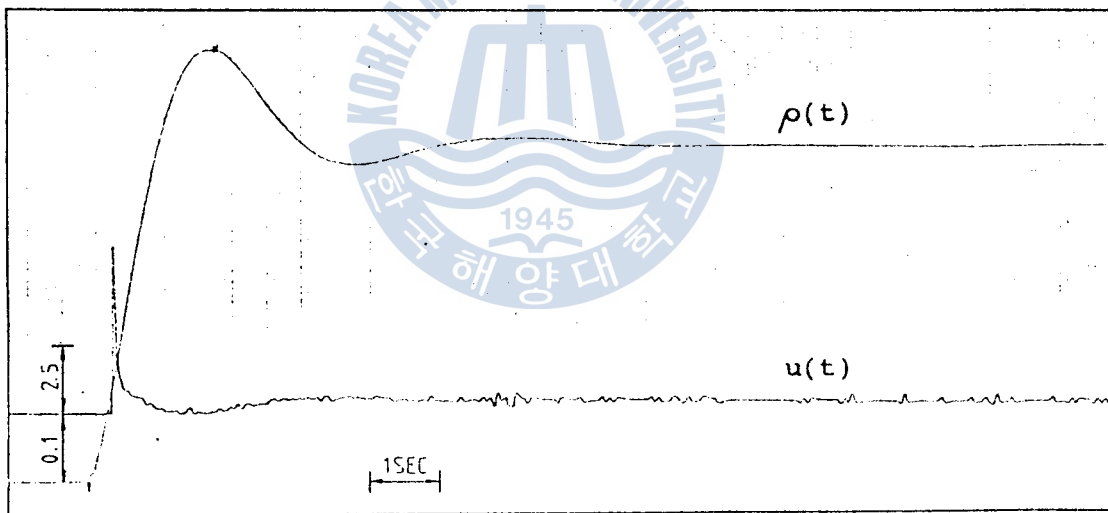
(Fig.24-d) : $q_1=1.0, q_2=1.0, q_3=10.0, r=0.1$

Fig.24 Curves of plant output $\rho(t)$ and control input $u(t)$

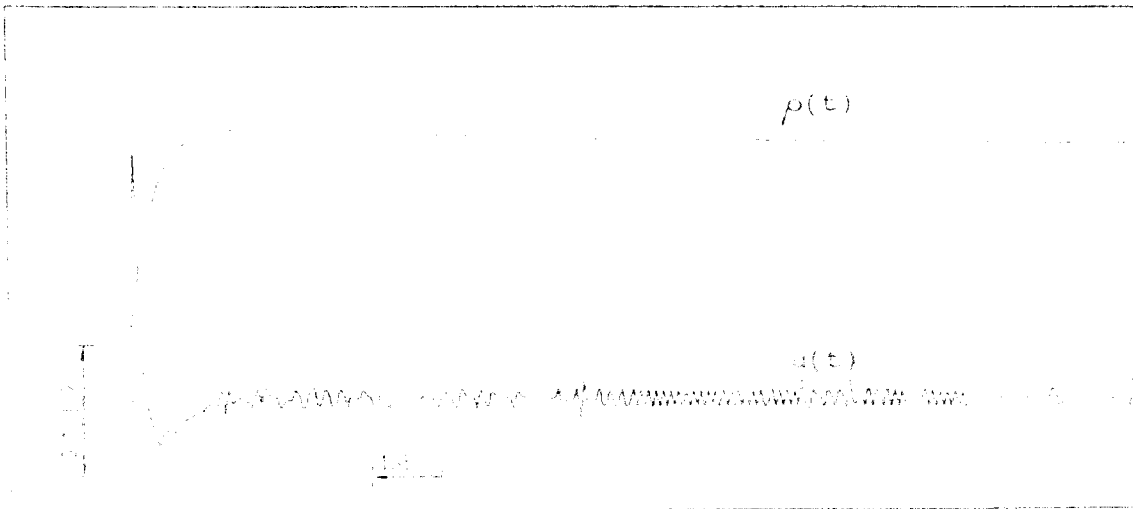
for system 1 with standard digital PID controller



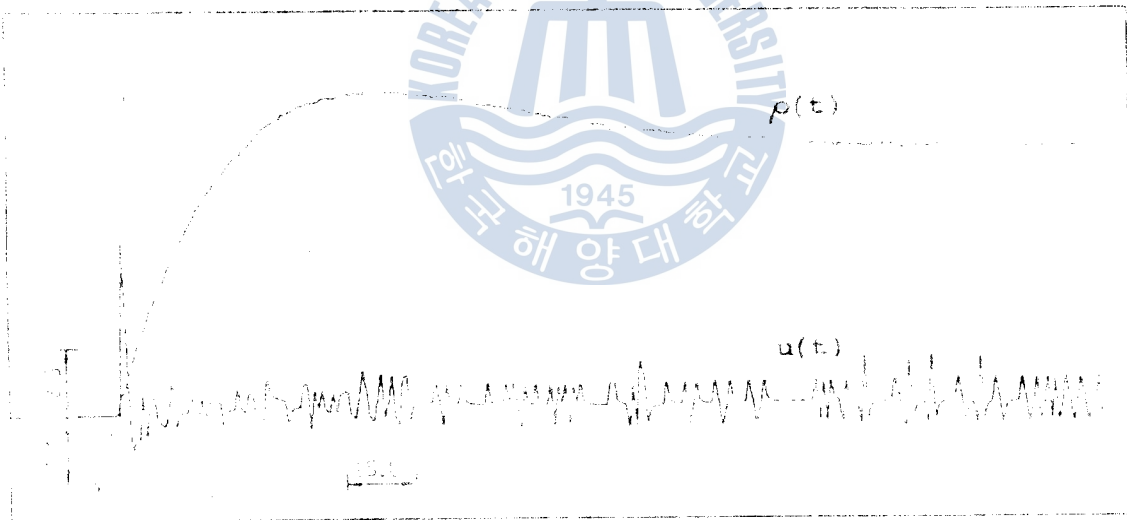
(Fig.25-a) : $q_1=1.0, q_2=1.0, q_3=1.0, r=0.1$



(Fig.25-b) : $q_1=1.0, q_2=0.0, q_3=0.0, r=0.1$

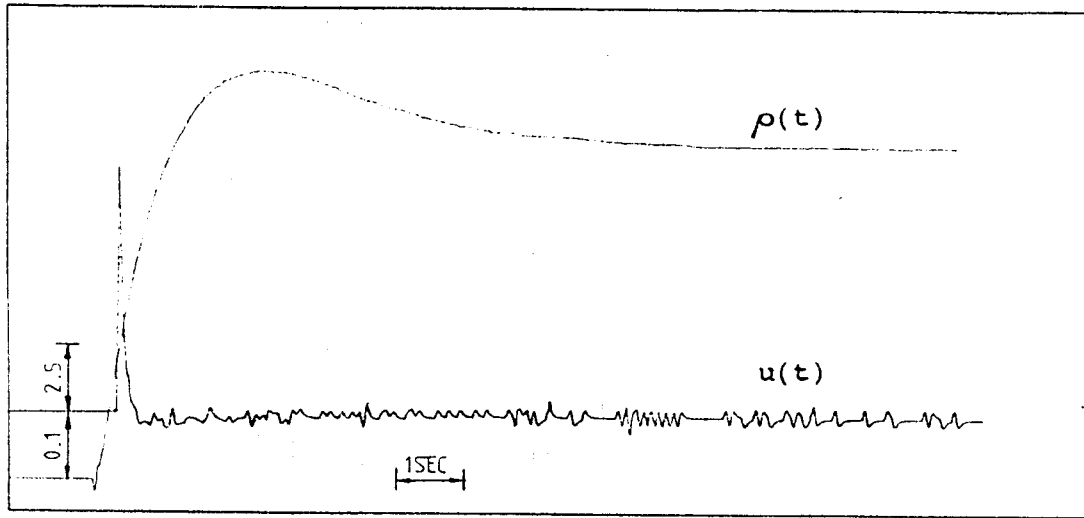


(Fig.25-c) : $q_1=1.0, q_2=10.0, q_3=1.0, r=0.1$

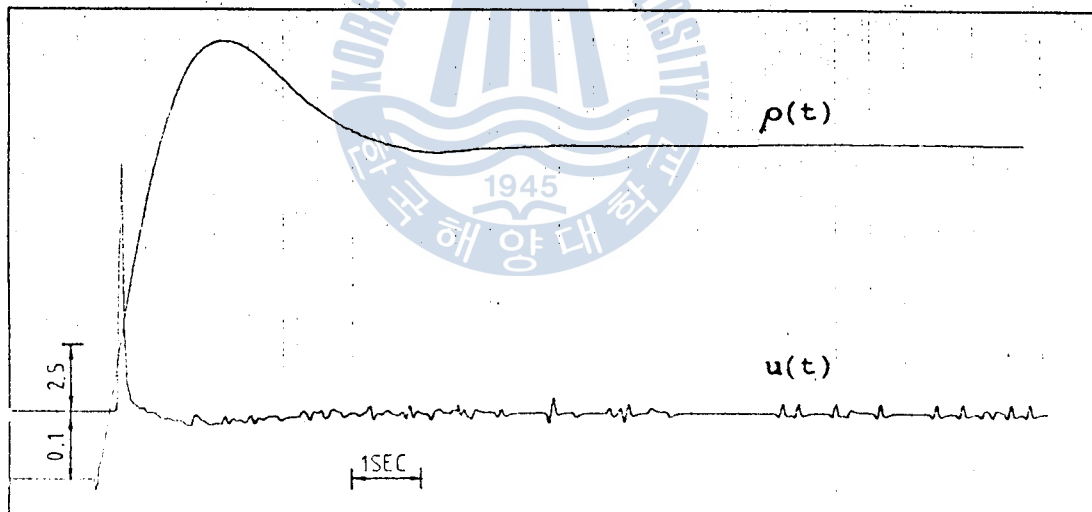


(Fig.25-d) : $q_1=1.0, q_2=1.0, q_3=10.0, r=0.1$

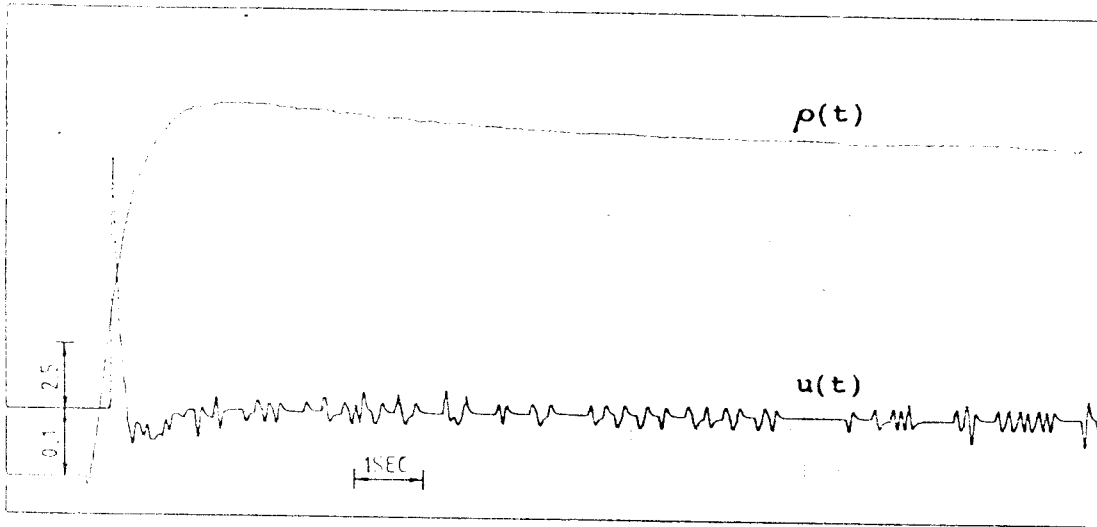
Fig.25 Curves of plant output $p(t)$ and control input $u(t)$
for system 2 with standard digital PID controller



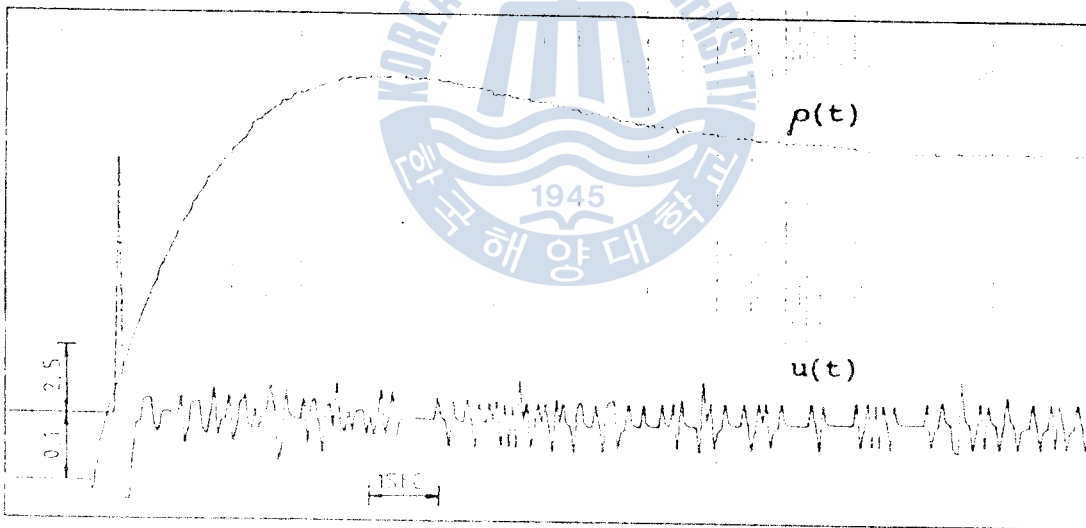
(Fig.26-a) : $q_1=1.0, q_2=1.0, q_3=1.0, r=0.1$



(Fig.26-b) : $q_1=1.0, q_2=0.0, q_3=0.0, r=0.1$

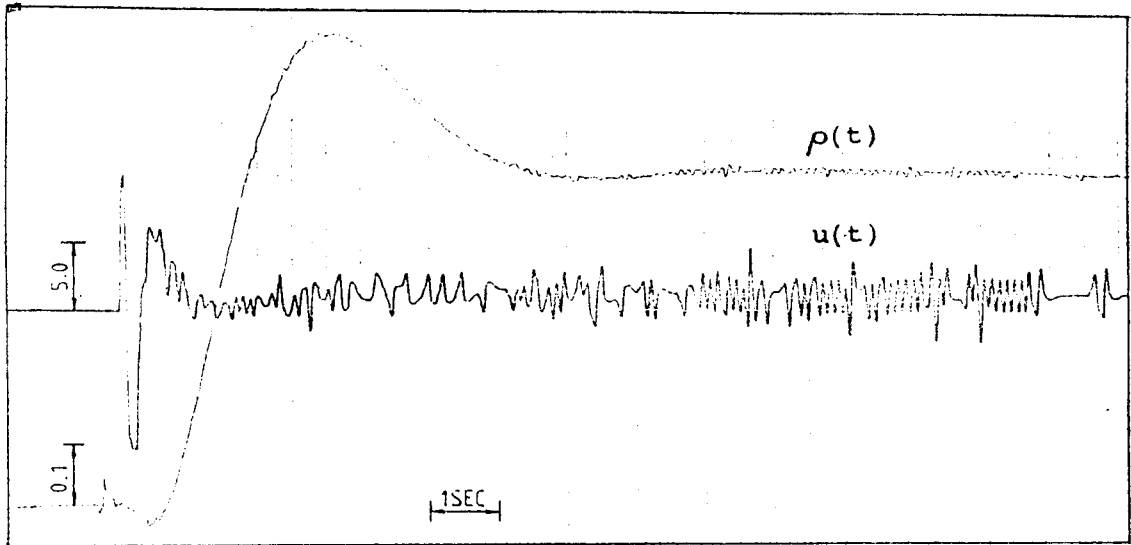


(Fig.26-c) : $q_1=1.0, q_2=10.0, q_3=1.0, r=0.1$

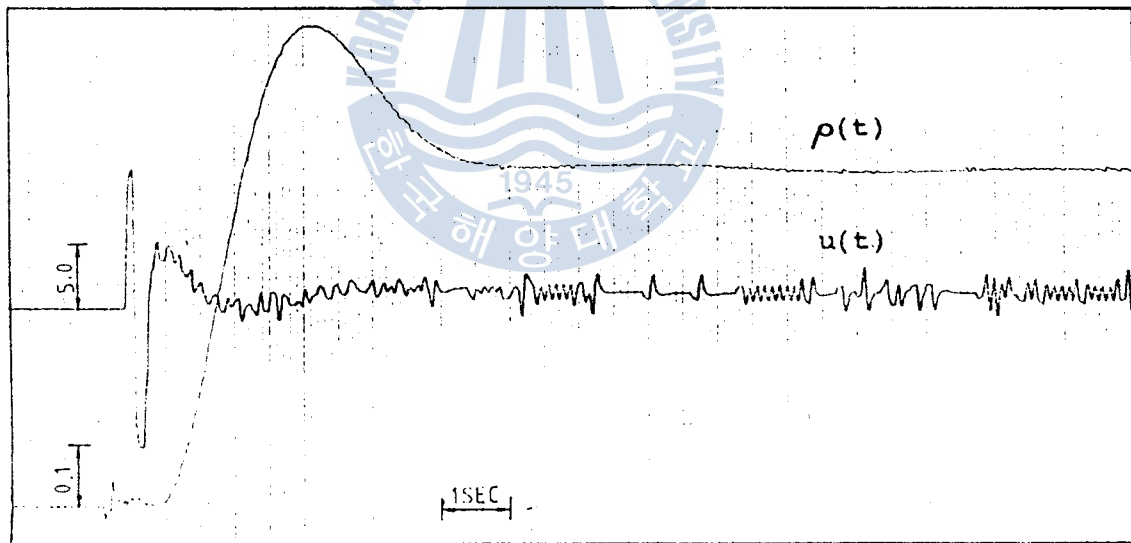


(Fig.26-d) : $q_1=1.0, q_2=1.0, q_3=10.0, r=0.1$

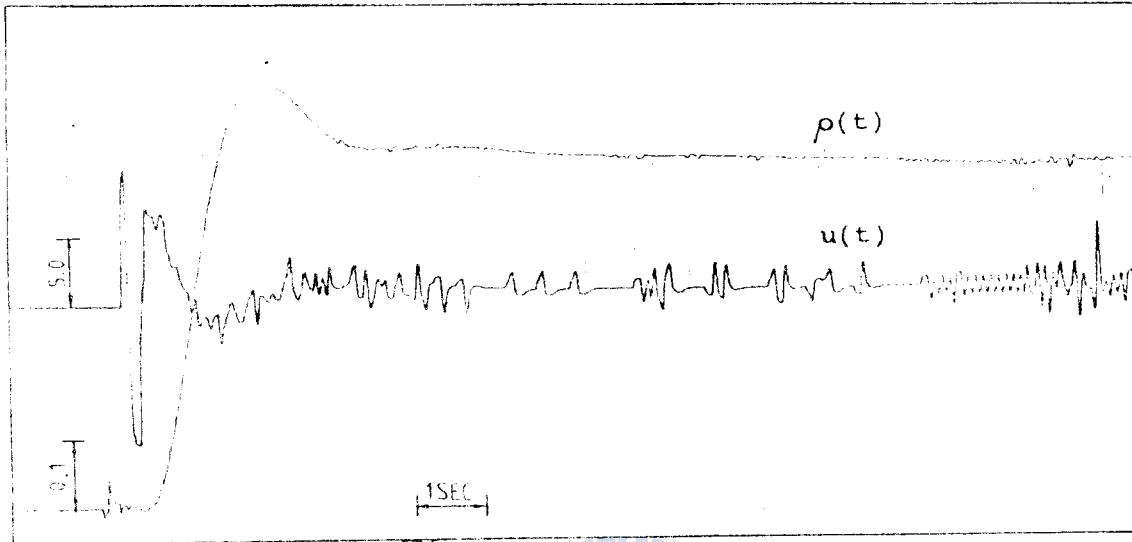
Fig.26 curves of plant output $p(t)$ and control input $u(t)$
for system 3 with standard digital PID controller



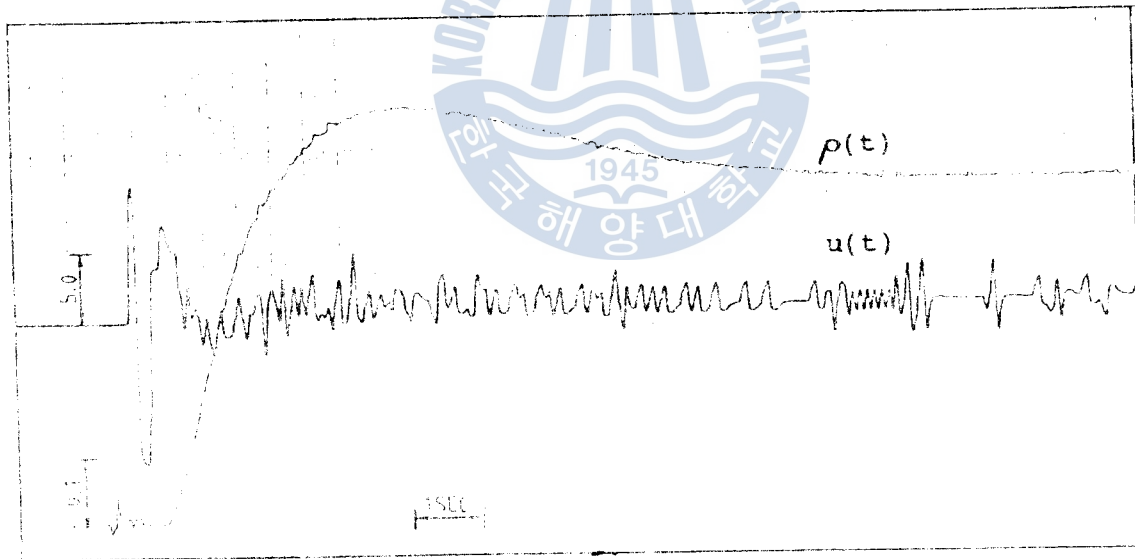
(Fig.27-a) : $q_1=1.0, q_2=1.0, q_3=1.0, q_4=1.0, r=0.1$



(Fig.27-b) : $q_1=1.0, q_2=1.0, q_3=1.0, q_4=0.0, r=0.1$



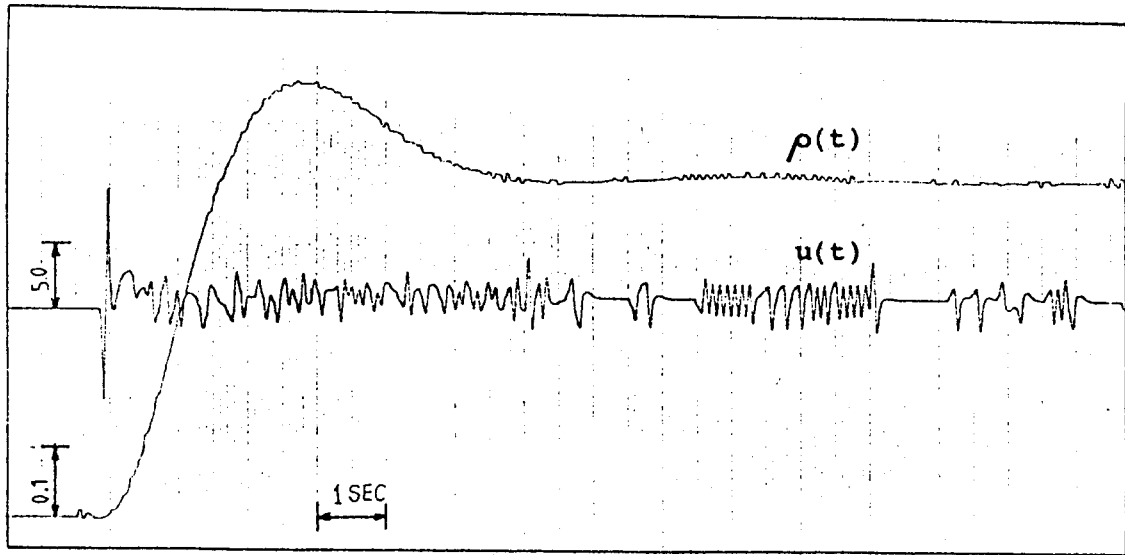
(Fig. 27-c) : $q_1=1.0, q_2=10.0, q_3=1.0, q_4=0.0, r=0.1$



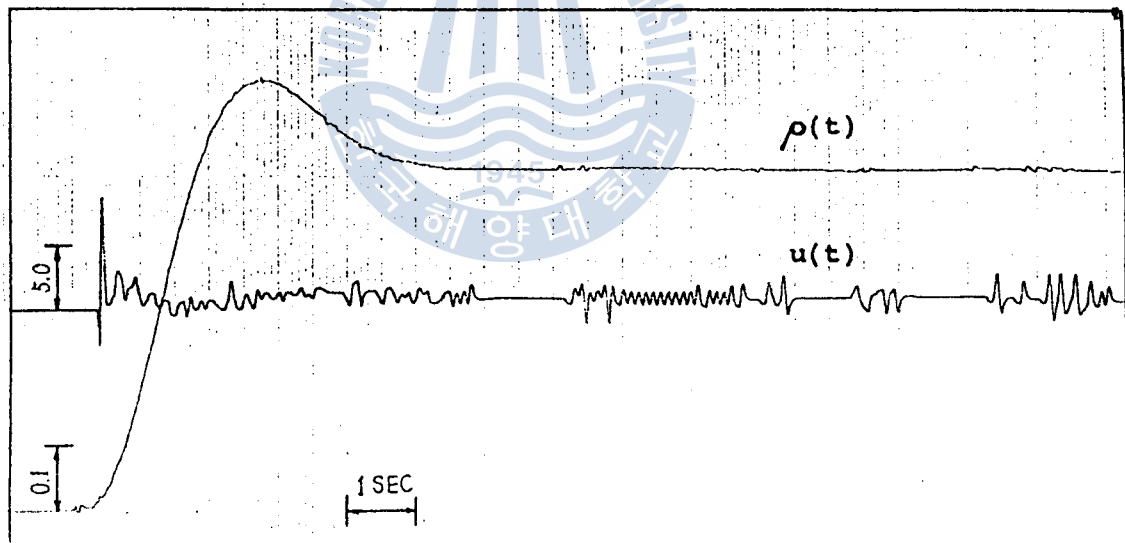
(Fig. 27-d) : $q_1=1.0, q_2=1.0, q_3=10.0, q_4=0.0, r=0.1$

Fig. 27 Curves of plant output $\rho(t)$ and control input $u(t)$

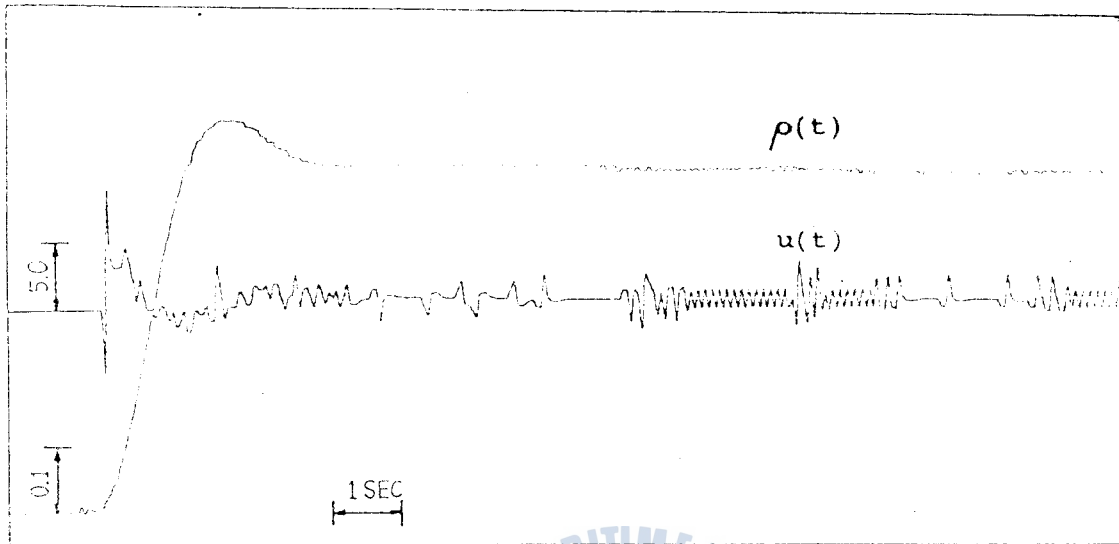
for system 4 with standard digital PID controller



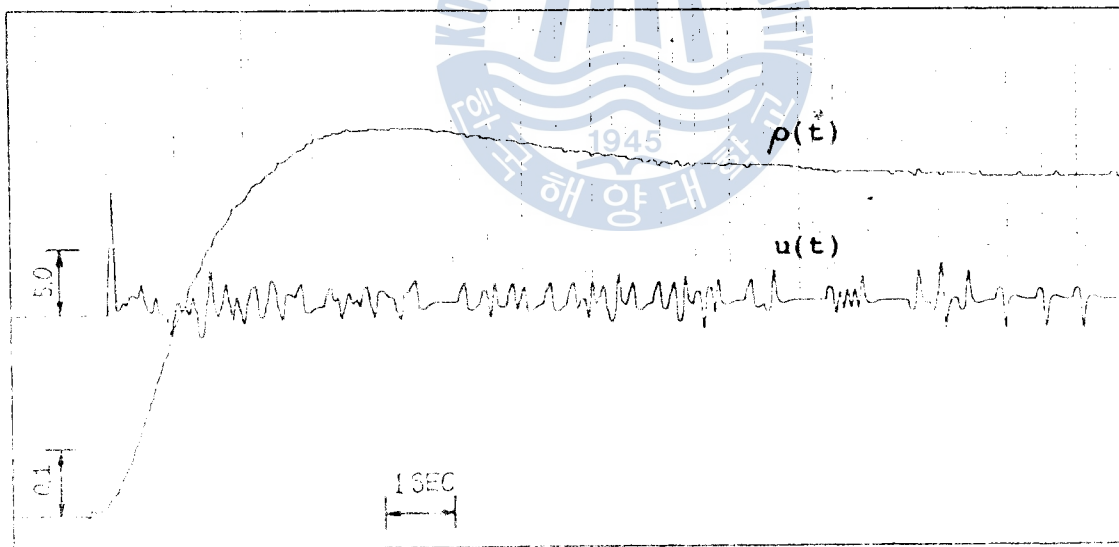
(Fig.28-a) : $q_1=1.0, q_2=1.0, q_3=1.0, q_4=1.0, r=0.1$



(Fig.28-b) : $q_1=1.0, q_2=1.0, q_3=1.0, q_4=0.0, r=0.1$



(Fig.28-c) : $q_1=1.0, q_2=10.0, q_3=1.0, q_4=0.0, r=0.1$



(Fig.28-d) : $q_1=1.0, q_2=1.0, q_3=10.0, q_4=0.0, r=0.1$

Fig.28 Curves of plant output $\rho(t)$ and control input $u(t)$
for system 4 with modified digital PID controller

第 7 章 ; 檢 討

7-1 u_s, x_{1s} 에 대한 檢討

2-1節의 식(2.1.6)에서 定義한 플란트의 目標值 ρ^0 에 對應하는 制御入力の 定常值 u_s , 狀態 x_1 의 定常值 x_{1s} 와 ρ^0 사이에는 다음과 같은 關係가 있다.

$$u_s = \frac{a_{n-1}}{b} \rho^0 \quad (7.1.1)$$

$$x_{1s} = \frac{a_{n-1}}{bf_1} \rho^0$$

따라서 u_s 및 狀態 $x_1(t)$ 의 定常值 x_{1s} 는 ρ^0 가 0이면 모두 0으로 되어 최적 regulator問題와 같게 된다. 또한 $\bar{u}^2(t)$ 가 $u^2(t)$ 와 같게 되어 制御入力(에너지)의 供給형식은 維持하게 된다.

그러나 ρ^0 가 0이 아닐 경우에는 2次形式의 評價函數中 $x_1(t)$ 는 $\int x_1(t)dt - x_{1s}$ 로서 誤差의 積分과는 相異하게 될 뿐 아니라 制御入力の 2次形式이 $\bar{u}^2(t)$ 의 形式 즉,

$$\bar{u}^2(t) = (u_s - u(t))^2 = (u(t) - u_s)^2 \quad (7.1.2)$$

으로 되어 制御入力 $u^2(t)$ 와는 다른 形式으로 되기 때문에 評價函數 中の 荷重係數 q_1 과 r 의 選定에는 主意를 要한다. 즉 r 은 狀態變數의 荷重係數 보다 가능한한 작게 取하는 것이 바람직 하다.

7-2 PID制御器의 파라미터 選定에 대한 檢討

本 研究에서 提案하는 方法에 의하면 制御對象이 2次 以下인 경우는 PI 또는 PID 制御器로서 最適피드백 制御系統을 構成할 수 있으나, 3次系 以上인 制御對象에 대해서는 식(2.3.28)에서 보는 바와 같이 PID動作 外에 상태 피드백 動作이 있어야 最適피드백 制御系統을 構成할 수 있음을 알 수 있다.

또한 오그먼트 시스템의 상태 $x_1(t)$ 에 대한 荷重係數 q_1 을 0으로 하면 식(2.3.14)으로 부터 F_{13} 이 0으로 되고 이것을 식(2.3.13)에 적용시키면 I動作이 存在하지 않는다는 것을 알 수 있다.

Table 2, Table 3, Table 4에서 보는 바와 같이 荷重係數 q_1 이 크게 됨에 따라 상태 $x_1(t)$ 의 최적계인 f_1 이 상대적으로 크게 되고, q_2 가 커지면 최적계인 f_2 가, q_3 가 크게 되면 최적계인 f_3 가 점점 크게 됨을 알 수 있다. 이것은 하중계수 q_1, q_2, q_3 가 상태 $x_1(t), x_2(t), x_3(t)$ 의 荷重(weight)이기 때문이다.

하중계수 q_1, q_2, q_3 와 PID制御器의 퍼라미터 K_p, T_i, T_d 와의 關係를 나타내고 있는 Fig. 8, Fig. 9 및 Fig. 10으로 부터 다음과 같은 사실을 알 수 있다.

즉, Fig. 8에서 보는 바와 같이 r, q_2, q_3 를 固定하고 q_1 을 增加시키에 따라 K_p 는 增加하고 T_i 및 T_d 는 減小한다. 또 Fig. 9

로 부터 q_2 가 크게 됨에 따라 K_p 와 T_i 는 增加하고 T_d 는 減少한다. Fig.10으로 부터 q_3 가 크게 됨에 따라 K_p , T_i , T_d 모두가 增加하는 趨勢를 보이고 있다.

또한 이 세 그림을 同時에 比較해 보면 다음과 같은 事實을 알 수 있다.

比例動作의 利得 K_p 의 變化幅의 程度는 q_1 , q_3 의 變化時 보다 q_2 의 變化時가 가장 크다. 이것은 q_2 가 상태 $x_2(t)$ 의 荷重係數이고 PID制御器의 P動作은 상태 $x_2(t)$ 에 의해 이루어지기 때문이다.

다음 積分時間 T_i 가 減少하는 것은 하중계수 q_1 을 增加시킬 때이고 微分時間 T_d 가 增加하는 것은 荷重係數 q_3 가 增加할 때이다. 이것은 q_1 및 q_3 가 오그멘트 상태 $x_1(t)$ 및 $x_3(t)$ 에 관한 하중계수이고 상태 $x_1(t)$ 은 상태 $x_2(t)$ 의 積分에 該當하는 상태로서 q_1 이 크게 됨에 따라 積分時間 T_i 의 크기가 減少하여 積分項의 係數 $1/T_i$ 의 값은 증가하게 되어 結局은 PID動作 中 積分動作이 큰 比重을 차지하게 되고 q_3 가 크게 되면 微分動作이 큰 比重을 차지하게 된다고 생각할 수 있다.

7-3 應答 시뮬레이션에 대한 檢討

本 節에서는 實際의 플란트에 대한 實時間制御 實驗을 行하기 前에 最適피드백 제어系統에 대한 디지털 컴퓨터로써 應答시뮬레이션을 行한 結果에 대해서 檢討한다.

System 1은 不安定한 제어대상이었으나 本 연구에서 提案하는 方法에 의해 구하여진 最適계인으로 制御器를 구성하였을 경우 그 應答가 安定하면서도 良好하다는 것을 Fig.11로 부터 알 수 있다. 또한 이 Fig.11의 상태 $x_2(t)$ 의 應答를 觀察해 보면 하중계수 q_2 가 큰 경우(實線으로 表示된 曲線)가 다른 세가지의 경우보다 應答速度는 빠르면서 오버슈트는 크게 일어나지 않음을 나타내고 있는데, 이는 상태 $x_1(t)$, $x_2(t)$, $x_3(t)$ 중에서 $x_2(t)$ 의 荷重을 크게 두어 상태 $x_2(t)$ 를 重靚한 것으로 부터 비롯된 것으로 볼 수 있으며, 이때 최적제이입력은 다른 경우보다 크다는 것을 알 수 있다. 이 理由는 이 경우 操作量에 대한 하중계수 r 를 0.1로 두어 操作量에 대한 比重을 상태 $x(t)$ 에 대한 比重보다 輕靚했기 때문이다. 즉, 出力의 2乘誤差面積의 評價函數($\int e^2(t)dt$)를 最小화 하는 경우와 似的 檢제 하기 위해서는 플란트 출력의 誤差에 該當하는 오그먼트 상태 $x_2(t)$ 의 荷重係數 q_2 를 다른 荷重係數 r , q_1 , q_3 , q_4 보다 아주 큰 값을 取하면 된다.

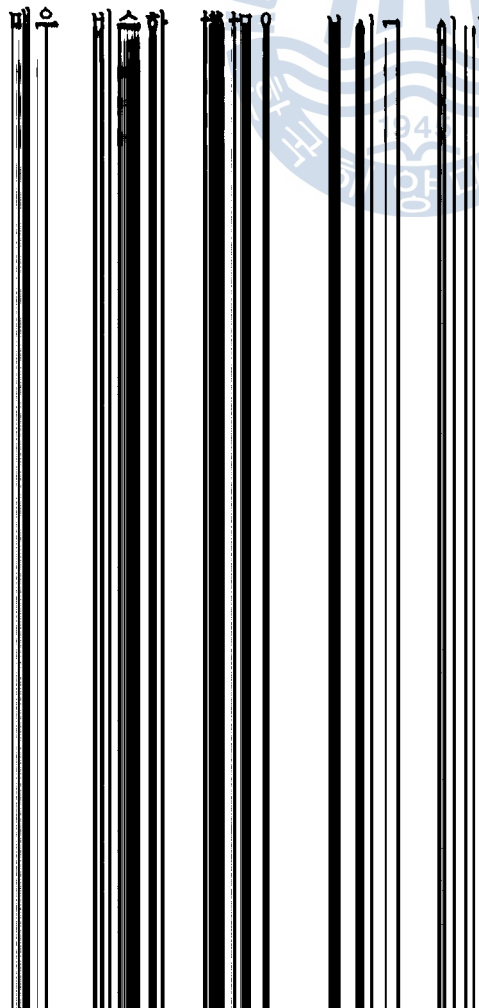
또, Fig.12, Fig.13에서 보는 바와 같이 安定한 系(System 2) 및 서미모트(System 3)에 대해서도 비슷한 樣相을 나타내고 있다.

Fig.13에서 一點鎖線으로 表示된 曲線은 System 2를 제어대상의

로 하고 PID 제어기의 각 파라미터의 값을 修定된 Ziegler-Nichols방법에 의해 구한 것으로 K_p 의 再調定을 2乘誤差面積이 最小가 되도록 조정한 것이다. 그리고 實線의 경우는 本 연구에서 提案하는 方法으로 구한 최적계인으로 制御器를 구성한 경우의 應答으로서 이 두 경우를 比較해 보면 本 方法이 越等히 優秀하다는 것을 알 수 있다.

또한 이들을 數值的인 값으로 比較해 보기 위해 評價函數 J 의 값 및 2乘誤差面積을 구해보면 Table 5에서 보는 바와 같이 本 方法에 의해 설계된 制御器로서 制御를 行한 경우가 작다는 것을 알 수 있다.

Fig.15는 3차계(System 4)에 대한 경우로서 2차계의 경우들과



7-3 應答 시뮬레이션에 대한 檢討

本 節에서는 實際의 플란트에 대한 實時間制御 實驗을 行하기 前에 最適피드백 제어系統에 대한 디지털 컴퓨터로써 應答시뮬레이션을 行한 結果에 대해서 檢討한다.

System 1은 不安定한 제어대상이었으나 本 연구에서 提案하는 方法에 의해 구하여진 最適계인으로 制御器를 구성하였을 경우 그 應答이 安定하면서도 良好하다는 것을 Fig. 11로 부터 알 수 있다. 또한 이 Fig. 11의 상태 $x_2(t)$ 의 應答을 觀察해 보면 하중계수 q_2 가 큰 경우(實線으로 表示된 曲線)가 다른 세가지의 경우보다 應答速度는 빠르면서 오버슈트는 크게 일어나지 않음을 나타내고 있는데, 이는 상태 $x_1(t)$, $x_2(t)$, $x_3(t)$ 중에서 $x_2(t)$ 의 荷重을 크게 두어 상태 $x_2(t)$ 를 重視한 것으로 부터 비롯된 것으로 볼 수 있으며, 이때 최적제어입력은 다른 경우보다 크다는 것을 알 수 있다. 이 理由는 이 경우 操作量에 대한 하중계수 r 를 0.1로 두어 操作量에 대한 比重을 상태 $x(t)$ 에 대한 比重보다 輕視했기 때문이다. 즉, 出力의 2乘誤差面積의 評價函數($\int e^2(t)dt$)를 最小化 하는 경우와 거의 같게 하기 위해서는 플란트 출력의 誤差에 該當하는 오그먼트 상태 $x_2(t)$ 의 荷重係數 q_2 를 다른 荷重係數 q_1, q_3, q_4 보다 아주 큰 값을 取하면 된다.

또, Fig. 12, Fig. 13에서 보는 바와 같이 安定한 系(System 2) 및 제어보류(System 3)에 대해서도 비슷한 樣相을 나타내고 있다.

Fig. 13에 點鎖線으로 表示된 曲線은 System 2를 제어대상으로

로 하고 PID 제어기의 각 파라미터의 값을 修定된 Ziegler-Nichols방법에 의해 구한 것으로 K_p 의 再調定을 2乘誤差面積이 最小가 되도록 조정한 것이다. 그리고 實線의 경우는 本 연구에서 提案하는 方法으로 구한 최적계인으로 制御器를 구성한 경우의 應答으로서 이 두 경우를 比較해 보면 本 方法이 越等히 優秀하다는 것을 알 수 있다.

또한 이들을 數值的인 값으로 比較해 보기 위해 評價函數 J 의 값 및 2乘誤差面積을 구해보면 Table 5에서 보는 바와 같이 本 方法에 의해 설계된 制御器로서 制御를 行한 경우가 작다는 것을 알 수 있다.

Fig.15는 3차계(System 4)에 대한 경우로서 2차계의 경우들과 매우 비슷한 樣相을 보이고 있다.

Fig.16은 3차계(System 4)에 대해 최적피드백 계인 f_1, f_2, f_3, f_4 를 구하고 이 중에서 f_4 를 0으로 한 경우 즉, PID制御 動作만으로 제어기를 구성한 경우의 상태 $x_2(t)$ 및 制御入力 $u(t)$ 의 曲線을 표시하고 있으며 이 경우는 應答이 바람직하지 못할 뿐 아니라 그 때의 制御入力도 過大하게 크게 된다는 것을 알 수 있다.

또, Table 6, Table 7의 數值的인 比較에서도 評價函數의 값이 크게 되어 좋지 못하다는 것을 同時에 알 수 있다.

그러므로, 本 方法에 의해서 최적피드백 계인을 구하고 制御器를 구성할 경우는 이 피드백 계인 모두를 考慮해야 한다는 것을 알 수 있으며 이를 위해서는 제어대상이 3차 以上인 高次

系에 대해서는 觀測器가 必要하다는 것도 아울러 알 수 있다.

다음 앞에서 예로든 System 4에 대해 本 연구에서 提案하는 方法으로 最適 피드백 계인을 구하고, 이것으로 부터 상태 $x_1(t)$, $x_2(t)$, $x_3(t)$ 는 眞值로서 피드백 시키고 상태 $x_4(t)$ 는 5-4節에서 說明한 方法에 의한 觀測器로서 상태를 推定한 상태 $\hat{x}_4(t)$ 를 피드백 시킨 경우의 應答曲線을 나타내고 있는 Fig. 17과 모든 상태를 眞值로서 피드백 시킨 경우의 應答을 表示하는 Fig. 15를 比較해 보면 肉眼으로는 거의 구별되지 않을 程度로 잘 一致하고 있음을 보이고 있다.

그러나 Fig. 18에서 보는 바와같이 實線으로 表示된 상태 $x_4(t)$ 의 眞值와 點線으로 표시된 觀測器에 의한 推定值 $\hat{x}_4(t)$ 는 初期에 상당한 差異가 있음을 보이고 있으며 약 0.3초 정도 經過하면 두 값은 잘 一致한다. 이것은 本 연구에서 觀測器를 설계할 때 식(3.1.15)의 λ_{22} 의 固有值 즉 μ 의 값을 -20.0 , -20.0 으로 선택한 爲한 값을 選擇한기 때문이다($e^{-20 \times 0.3} = e^{-6.0} = 0.00248$). 이윽고 이윽고 眞 값을 推定하면 收斂速度는 빨라질 것이다. 즉, 변입 계수를 50.0으로 하면 0.15초 정도에서 $x_4(t)$ 의 眞值와 推定 應答의 差異는 거의 消滅되고 말 것이다.

또한 이 두 경우를 評價函數 J 의 값으로 比較해 본 結果 Table 9에서 보는 바와같이 推定值 $\hat{x}_4(t)$ 로서 피드백 시킨 경우의 價値 J_2 가 眞值 $x_4(t)$ 로서 피드백 시킨 경우보다 J 의 값이 크고, 이 둘 중 상태 $x_4(t)$ 에 比重을 크게 둔 경우가 다른 세 경우보다 평가함수 J 의 값의 增加率이 크다는 것도 알 수 있다.

다음 操作量 $\bar{u}(t)$ 에 대해서 檢討해 보면, Fig.11 ~ Fig.13의 그림에서 알 수 있듯이 操作量 $\bar{u}(t)$ 의 絶對값의 크기가 初期에 큰 값으로 되는데 그 理由는 다음과 같이 생각할 수 있다.

즉, 本 研究에서 취급한 플란트의 傳達函數의 일반식(식(2.1.1))을 $G_P(s)$ 라 하고 PID制御器의 傳達函數를 $G_{PID}(s)$ 라 할 때 基準入力 $R(S)$ 와 操作量 $U(S)$ 사이에는 다음식과 같은 關係가 있고,

$$\frac{U(S)}{R(S)} = \frac{G_{PID}(S)}{1 + G_{PID}(S)G_P(S)} \quad (7.3.1)$$

이 식의 分母 分子를 S 에 관한 多項式으로 整理하면 分子가 $(n+1)$ 次로서 分母의 n 次 보다 한 次數 높게 되기 때문에 식(7.3.1)은 다음과 같이 쓸 수 있다.

$$\frac{\bar{U}(S)}{R(S)} = c_1 S + c_2 + G_1(S) \quad (7.3.2)$$

여기서 $G_1(S)$ 는 分母의 次數가 n 이고 分子의 次數가 n 보다 작은 S 의 多項式의 比로 表示되는 傳達函數이다.

따라서 $R(S)=1/S$ 일 때 즉, $r(t)$ 가 單位階段函數일 때 $\bar{u}(t)$ 는 다음과 같이 된다.

$$\bar{u}(t) = c_1 \delta(t) + c_2 + \int_0^t g_1(\tau) d\tau \quad (7.3.3)$$

$$\text{단, } g_1(\tau) = \mathcal{L}^{-1}[G_1(S)]$$

c_1, c_2 : 常數

$\delta(t)$: dirac 의 delta function

式(7.3.3)에서 알 수 있듯이 $\bar{u}(t)$ 의 式 中에는 델타함수가 包含되기 때문에 無限的으로 큰값을 갖게 된다. 이 델타함수는 PID

制御器 中の D 動作 때문에 생겨난 것으로 實際로는 存在할 수 없는 것이다.

또한, Fig.15의 경우도 制御器의 構成이 PID 動作 外에 상태 $x_4(t)$ 의 피드백 動作이 있으나 앞에서와 같은 樣相을 보이고 있으며, 狀態 $x_4(t)$ 의 피드백이 없는 경우(Fig.16)는 그 影響이 더욱 크게 나타난다는 것은 알 수 있다.



7-4 實時間 制御實驗에 대한 檢討

本 研究에서 예로 든 System 1, System 2, system 3, system 4에 대하여 標準形 디지털 PID制御器의 알고리즘으로 마이크로 컴퓨터로서 PID 制御器를 구성하여 施行한 實時間 制御實驗의 結果 (Fig.24~ Fig.27)와 디지털 시뮬레이션한 결과(Fig.11~Fig.13, Fig.15)를 比較檢討하기 위하여 이 두 경우의 應答曲線으로 부터 최대 오버슈터와 그때의 時間을 Table로 表示하면 Table 10~Table 13과 같이 된다.

또 system 4에 대해 디지털 시뮬레이션한 結果(Fig.15)와 標準形 디지털 PID制御器로서 實時間 制御實驗한 結果(Fig.26)및 修正된 디지털 PID제어기로서 實時間 制御實驗한 結果(Fig.28)를 比較檢討하기 위하여 앞에서 말한 두 값을 表示한 것은 Table 14과 같다.

system 1에 대해서는 Fig.11과 Fig.24 또는 Table 10에서 알 수 있는 바와 같이 (a)의 경우(入力에 대한 荷重係數 r 를 0.1로 고정하고 상태 $x(t)$ 에 대한 荷重係數行列 Q 의 對角要素 q_1, q_2, q_3 가 모두 1.0인 경우), 시뮬레이션한 結果는 최대오버슈터가 22.28%이고 그때의 時間은 2.4秒 였으나, 實時間 制御實驗한 結果는 최대오버슈터는 6.5%이고 그때의 時間은 3.4秒로서 實時間 制御實驗한 結果가 오버슈터는 작고 應答速度는 느리게 된다. 또 (b) 및 (d)의 경우도 이와같은 樣相을 나타내고 있으나 (c)의 경우는 시뮬레이션한 結果는 최대오버슈터가 11.60%이고 그때의 時間

Table 10 Comparison of simulation results
and real time responses for system 1

weighting factor			simulation		real time response		
q_1	q_2	q_3	max. over -shoot(%)	time (sec)	max. over -shoot(%)	time (sec)	
(a)	1.0	1.0	1.0	22.28	2.4	6.0	3.4
(b)	1.0	0.0	0.0	30.65	2.1	6.2	2.9
(c)	1.0	10.0	1.0	11.60	1.8	x	x
(d)	1.0	1.0	10.0	20.12	3.9	12.0	4.8

Table 11 Comparison of simulation results
and real time responses for system 2

weighting factor			simulasion		real time response		
q_1	q_3	q_3	max. over -shoot(%)	time (sec)	max. over -shoot(%)	time (sec)	
(a)	1.0	1.0	1.0	25.19	2.1	11.0	2.4
(b)	1.0	0.0	0.0	50.10	1.85	28.0	1.9
(c)	1.0	10.0	1.0	12.65	1.6	4.0	2.1
(d)	1.0	1.0	10.0	20.51	3.8	16.0	4.3

Table 12 Comparison of simulation results
and real time responses for system 3

weighting factor			simulation		real time response		
q_1	q_2	q_3	max. over -shoot(%)	time (sec)	max. over -shoot(%)	time (sec)	
(a)	1.0	1.0	1.0	24.71	2.2	20.5	2.5
(b)	1.0	0.0	0.0	42.52	1.95	30.5	2.0
(c)	1.0	10.0	1.0	12.31	1.7	12.0	2.4
(d)	1.0	1.0	10.0	20.71	3.9	20.5	4.3

Table 13 Comparison of simulation results and real time responses for system 4

weighting factor				simulation		real time response	
q_1	q_2	q_3	q_4	max. over-shoot(%)	time (sec)	max. over-shoot(%)	time (sec)
(a)	1.0	1.0	1.0	42.57	3.1	41.0	3.4
(b)	1.0	1.0	0.0	45.68	2.7	44.0	3.0
(c)	1.0	10.0	1.0	27.98	2.3	26.5	2.5
(d)	1.0	1.0	10.0	26.98	3.9	22.0	4.4

Table 14 Comparison of real time responses controlled by standard digital PID controller and by modified digital PID controller

weighting factor				standard PID cont.		modified PID cont.	
q_1	q_2	q_3	q_4	max. over-shoot(%)	time (sec)	max. over-shoot(%)	time (sec)
(a)	1.0	1.0	1.0	41.0	3.4	28.5	3.3
(b)	1.0	1.0	0.0	44.0	3.0	28.5	2.8
(c)	1.0	10.0	1.0	26.5	2.5	16.0	2.4
(d)	1.0	1.0	10.0	22.0	4.4	14.5	4.3

最適 피드백 制御系統의 構成에 關한 研究

은 1.8秒 였으나, 實時間 制御實驗한 結果에서는 오버슈터가 뚜렷히 나타나지 않는 應答曲線으로 되었다. system 2에 대해서도 Fig.12와 Fig.25또는 Table 11에서 알 수 있는 바와같이 (a), (b), (c), (d)의 네 경우 모두 實時間 制御實驗한 경우의 應答이 오버슈터는 작고 應答遲延이 느리게 된다.

system 3, system 4도 system 2와 同一한 樣相을 나타내고 있을 것으로 생각된다.

이와 같은 결과는 連續 PID제어기의 경우 階段上的 갑작스런 制御器의 入力變化에 대해 初期에 制御器의 出力이 離間的으로 큰 값을 갖게 되는 경우와 같이라도 連續 PID制御器를 離散化하여 離散的 制御한 PID제어기의 알고리즘으로 制御를 行할 경우에는 큰 값과 變動的으로 큰 값을 갖게 된다면 이 값을 變動的으로 實現시키기 곤란한 原因이라고 생각된다.

특히 system 4에서와 같은 變動的인 結果와 實時間 制御實驗한 結果가 大차이 있는 差異를 나타내고 있는 것은 플란트의 制御入力の 變動的인 入力으로 作用하고 있는데, 制御器의 알고리즘에 의해 變動的인 結果를 그래프 出力시키지 못하기 때문에 상태 $x_4(t)$ 가 穩定한가 變動的인 數值를 대 한 時間을 갖하기 때문이라고 생각된다.

그리고 이와같이 制御器의 入力이 階段上으로 갑작스럽게 變化하더라도 制御器의 出力이 離間的으로 큰 값이 되지 않도록 개차항의 入力變換을 PID제어기의 變分項에서 除外시킨 修正된 디지털 PID제어기의 알고리즘으로 system 4에 대해 實時間 制御實驗한

結果(Fig.28) 또는 Table 14에서 알 수 있는 바와같이 修正된 디지털 PID制御器로서 制御를 行한 경우가 標準形 디지털 PID 制御器로서 制御한 경우보다 오버슈터도 작고 應答速度도 빠라짐을 알 수 있다. 즉 制御器의 入力이 階段上으로 갑작스런 變化가 많은 경우에는 標準形 디지털 PID制御器의 알고리즘보다도 修正된 디지털 PID制御器의 알고리즘으로 디지털 制御를 行하는 쪽이 더 優秀하다는 것을 알 수 있다.



은 1.8秒 였으나, 實時間 制御實驗한 結果에서는 오버슈터가 뚜렷히 나타나지 않는 應答曲線으로 되었다. system 2에 대해서도 Fig.12와 Fig.25또는 Table 11에서 알 수 있는 바와같이 (a), (b), (c), (d)의 네 경우 모두 實時間 制御實驗한 경우의 應答가 오버슈터는 작고 應答速度가 느리게 된다.

system 1, system 4는 system 2와 同一한 樣相을 나타내고 있음을 알 수 있다.

이상같은 現象은 連續 PID제어기의 경우 階段上의 갑작스런 制御器의 入力變化에 대해 初期에 制御器의 出力이 離間的으로 큰 값을 갖게 되는 경우와 같거나도 連續 PID制御器를 離散化하여 變換된 樣相인 PID제어기의 알고리즘으로 制御를 行할 경우에는 큰 차이를 顯한 것으로 보일 것을 갖게 되지만 이 값을 變換적으로 變換시키지 못하면 예후와 같고 생각된다.

특히 system 4에서의 變換에 의한 結果의 實時間 制御實驗한 結果가 2차의 큰 差異를 나타내고 있는 것은 플란트의 制御入력이 離散化的 入力으로 作用하고 있는데, 制御器의 알고리즘에 의해 變換의 結果를 그대로 出力시키지 못하기 때문에 상태 $x_4(t)$ 의 變換되지 變換이 變換하는 데 큰 時間을 要하기 때문이라고 생각된다.

그리고 이와같이 制御器의 入力이 階段上으로 갑작스럽게 變化하더라도 制御器의 出力이 離間的으로 큰 값이 되지 않도록 제어한다. 入力變化를 PID제어기의 積分項에서 除外시켜 變換된 變換된 PID제어기의 알고리즘으로 system 4에 대해 實時間 制御實驗한

結果(Fig.28) 또는 Table 14에서 알 수 있는 바와같이 修正된 디지털 PID制御器로서 制御를 行한 경우가 標準形 디지털 PID 制御器로서 制御한 경우보다 오버슈터도 작고 應答速度도 빠라짐을 알 수 있다. 즉 制御器의 入力이 階段上으로 갑작스런 變化가 많은 경우에는 標準形 디지털 PID制御器의 알고리즘보다도 修正된 디지털 PID制御器의 알고리즘으로 디지털 制御를 行하는 쪽이 더 優秀하다는 것을 알 수 있다.



第 8 章 : 結 論

一般적인 피드백 制御系統에 대하여 本 研究에서 提案하는 方法으로 制御系를 構成하여 디지털 電子計算機에 의해 應答 시뮬레이션을 行하고, 마이크로 컴퓨터를 이용하여 實時間 制御實驗을 行한 結果에 대한 檢證를 通하여 다음과 같은 結論을 얻게 되었다.

- 1) 식(2.1.6)과 같이 플란트의 모델링을 행함으로써 最適制御理論을 利用한 일반적인 피드백 制御系統의 最適化가 可能하였으며, 식(7.1.1)에서 알 수 있는 바와 같이 ρ^2 가 0이 될 때 x_1 및 x_{1s} 도 0이 되므로 本 研究에서 提案하는 制御器의 構成 方法은 最適 regulator 問題에도 그대로 適用 可能하다.
- 2) 本 研究에서 提示하는 方法에 의하면 制御系統이 2次 以下인 경우에는 PI 또는 PID 制御器 만으로 最適 制御系統을 構成할 수 있으나 3次 以上인 경우는 PID 動作 以外에 狀態 觀察器가 必要하고 이를 위해서는 部分狀態觀察器가 必要하다.
- 3) PI 制御器의 入出力을 利用함으로써 構成하여야 할 狀態 觀察器의 次元을 減소할 수 있으며, 部分狀態觀察器의 次元을 行차 \overline{A}_{22} 의 固有値가 零의 작은 값을 갖도록 必要條件을 식(3.2.8)으로 부터 決定하면 精度 높은 狀態觀察器를 容易하게 構成할 수 있다.

- 4) 評價函數에 包含되는 荷重係數 q_i 의 값은 制御系統의 特性에 重大한 影響을 미치므로 이 값은 制御目的에 따라 慎重히 選定하여야 한다.
- (i) 오그먼트 狀態 x_1 에 대한 荷重係數 q_1 이 0이면 PID動作中 積分動作(I動作)은 存在하지 않는다.
- (ii) 2乘誤差面積의 評價函數를 最小로하는 경우와 類似하게 하기 위해서는 荷重係數 q_2 를 다른 荷重係數보다 相對的으로 크게 하면 된다.
- 5) 實時間 制御實驗한 경우는 콘버터, 플란트의 飽和現象 및 마이크로 컴퓨터의 演算時間 때문에 시뮬레이션한 경우보다 應答速度가 느리고 오버슈터는 작게 된다.
- 6) 目標値나 狀態에 대한 外亂이 階段上으로 變化가 할 경우는 標準形보다도 修定된 디지털 PID 制御器의 알고리즘으로 制御를 行하는 것이 有利하다.

以上 應答시뮬레이션 및 實時間 制御實驗 結果, 本 研究에서 提案하는 制御器의 構成方法으로 制御系를 構成하면 良好한 制御가 可能하다는 것이 立證되었다.

*** 參考文獻 ***

- 1) J.C. ZIEGLER and N.B. NICHOLS, "Optimum settings for Automatic Controls", Trans. ASME, 64, pp 759-768, 1942.
- 2) 湯津權, "自動制御工學", 海峽圖書出版社, pp 251-252, 1980.
- 3) D.B. COUGHLIN and L.F. KUPPEL, "Process Systems Analysis and Control", McGraw-Hill, pp 313-314, 1965.
- 4) J.E. GUZBE, Taylor Instrument Companies, Technical Data, TDS-10A, 120, Issue 1.
- 5) SUN-PING SHIH and CHIH-CHAN CHEN, "On the Weisberg Factors of the Quadratic Criterion in Optimal Control", Int. J. Control, vol. 19, No. 5, pp947-955, 1974.
- 6) R. ATHANS and P. BALF, "Optimal Control: An Introduction to the Theory and Its Application", McGraw-Hill, pp241-284, 1966.
- 7) 嚴子英, "船舶制動系統之工學", 成山堂書局, pp 220-226, 1982.
- 8) 嚴子英, "船舶制動系統之工學", 成山堂書局, pp 165-191, 1974.
- 9) 嚴子英, "最適制動之數學的工夫", 綜合圖書, pp 25-98, 1986.
- 10) G. BIRCHES and A. GRAHAM, "Introduction to Control Theory and Finding Optimal Control", Ellis Horwood, pp 307-309, 1980.
- 11) R. ATHANS and P. BALF, "Optimal Control: An Introduction to

- the Theory and its Applications", McGraw-Hill, pp 756-787, 1966.
- 12) S.P. SETHI and G.L. THOMPSON, "Optimal Control Theory, Application to Management Science", Martinus Nijhoff Publishing, pp 21-54, 1981.
 - 13) A.P. SAGE and CHELSEA C. WHITE, III, "Optimum Systems Control", McGraw-Hill, pp 53- 86, 1980.
 - 14) R. OLDENBURGER, "Optimal and Self-Optimizing Control", The Massachusetts Institute of Technology, pp 210-266, 1966.
 - 15) G.R. WALSH, "Methods of Optimization", John Wiley and Son pp 164-183, 1975.
 - 16) J.L. KUESTER and J.H. MIZE, "Optimization Techniques with Fortran", McGraw-Hill, pp 155-202, 1973.
 - 17) ARTHUR E. BRYSON, JR. and YU-CHI HO, "Applied Optimal Control, Optimization, Estimation, and Control", John Wiley and Sons, pp 131-147, 1975.
 - 18) M. ATHANS and P.L. FALB, "Optimal Control, An Introduction to the Theory and Its Application", McGraw-Hill, pp 504-661, pp 662-749, 1972.
 - 19) Y. TAKAHASHI, M.J. RABINS, "Control and Dynamic System", Addison-Wesley Publishing Company, pp 548-550, 1972.
 - 20) M. ATHANS and P.L. FLAB, "Optimal Control", McGraw- Hill, pp 756-787, 1972.

- 21) H. KWAKERNAAK and R. SIVAN, "Linear Optimal Control systems", Willy-Interscience, pp 201-247, 1972.
- 22) BRAIN D.O. ANDERSON and J.B. MOORE, "Linear Optimal Control", Prentice-Hall, pp 11-49, 1971.
- 23) A. SUBA and T. FUJII, "The Optimality Property of an Optimal Regulator Incorporating an Observer", Int. J. Control, Vol.33, NO.4, pp 617-647, 1981.
- 24) M. ATHANS and P.L. FLAB, "Optimal Control", McGraw-Hill, pp 793-812, 1972.
- 25) H. KWAKERNAAK and R. SIVAN, "Linear Optimal Control systems", pp 253-279, 1972.
- 26) BRAIN D.O. ANDERSON and J.B. MOORE, "Linear Optimal Control", pp 247-271, 1971.
- 27) 梁注鎔, 外田, "PID制御器의 最適設計에 關한 研究(I)", 慶南專門大學 論文集, 第15輯, pp 229-235, 1987.
- 28) 梁注鎔, 河注植, "PID制御器의 最適設計에 關한 研究(II)", 韓國船舶機關學會誌, 第11卷, 第3號, pp 227-235, 1987.
- 29) P. KILHAMMER and J.B. MOORE, "Three-Term Controller Parameter Selection Using Suboptimal Regulator Theory", IEEE Trans. on Automatic Control, pp 82-83, 1971, 2.
- 30) STEFANO MARILLI-LIBELLI, "Optimal Design of PID Regulators", Int. J. Control, Vol.33, NO.4, pp 601-636, 1981.
- 31) 梁注鎔, 河注植, "피드백을 利用한 最適 피드백 制

- 御에 관한 研究”, 韓國船用機關學會誌, 第12卷, 第4號, pp287-295, 1987.
- 32) G.F.FRANKLIN and J.D.POWELL, "Digital Control of Dynamic Systems", Addison-Wesley Publishing Company, Inc., pp 251-265, 1980.
- 33) T. PAPPAS, A.J. LAUB and N.R. SANDELL. JR., "On the Numerical Solution of the Discrete-Time Algebraic Riccati Equation", IEEE Trans.on Automatic Control, Vol. AC-25, NO.4, pp631-641, 1980.
- 34) C.H. SCHLETY, JR., and I. LEE, "Optimal Control Computation by the Newton-Raphson Method and the Riccati Transformation", IEEE Trans. on Automatic Control, Vol. AC-12, NO.2, pp 139-144 1967.
- 35) H. KWAKERNAAK and R. SIVAN, "Linear Optimal Control systems" pp 335-338, 1972.
- 36) 伊藤正美, 木村英紀, 細江繁幸, "線形制御系の設計理論", 計測自動制御學會, pp 119-124, 1972.
- 37) K.FURUTA and S.KAWAJI, "Linear Function Observer with Possibly Minimal Dimension", IEEE Trans. on Automatic Control, Vol.AC-22, NO.6, pp 977-980, 1977.
- 38) W.S. HEATH, "A System Executive for Real-Time Microcomputer Programs", IEEE MICRO, pp 20-32, June, 1984.
- 39) D.A. CROWL, "A Real-Time Fortran Executive", IEEE MICRO, pp 48-66, August, 1985.

- 40) T. TSUCHIYA, "Improved Direct Digital Control Algorithm for Microcomputer Implimentation", IEEE Trans. on Automatic Control, Vol.AC-27, NO.2, pp 295-306, 1982.
- 41) K. FURUTA, T. CHIKADA and H. KAJIWARA, "Computer Aided Design and Computer Control using Minicomputer", IFAC Computer Aided Design, Indiana, USA, pp 425-429, 1982.
- 42) E.H. BRISTOL, "Designing and Programming Control Algorithms for DDC Systems", Control Engineering The Foxboro Company, pp 24-26, January, 1977.
- 43) J.W. BERNARD and J.F. CASHEN, "Direct Digital Control", Instruments & Control Systems, the Foxboro Company, Vol.38, pp 151-158, September, 1965.
- 44) 吉田勝久, "制御系-CAD SYSTEM", 日本電氣學會雜誌, 第106卷, 第2號, pp 106-112, 1986.
- 45) K.FURUTA, H.KAJIWARA and Y.OHYAMA, "Control System Design for Furnace by using CAD", IFAC Theory and Apprication of Digital Control, New Delhi, India, pp 527-532, 1982.
- 46) ROLF ISERMANN, "Digital Control Systems", Springer-Verlag, pp 74-76, 1981.
- 47) K.J. ASTROM and B. WITTENMARK, "Computer Controlled Systems, Theory and Design", Prentice-Hall, pp180-188, 1984.
- 48) ROLF ISERMANN, "Digital Control Systems", Springer-Verlag, pp 95-97, 1981.

- 49) J.H. AYLOR, R.L. RAMEY and R.L. KAHLER, "Stability and Performance Considerations in the Selection of Digital PID Controller Parameters", Ieee-Ieci Proceeding Apprication pp59-63, 1980.
- 50) A.M. LOPEZ, P.W. MURRILL, C.L. SMITH, "Tuning PI and PID Digital Controllers", Instruments & Control Systems, Vol. 42, pp 89-95, 1969.
- 51) AS-40414, ADAC L-100 ANALOG 計算機說明書, 安藤電氣株式會社, 1980.
- 52) Data Aquisition and Control System, HANDO ENGINEERING CO.1986.
- 53) EUGENE L.ZUCH, "Data Aquisition and Conversion Handbook, A Technical Guide to A/D - D/A Conversion and Their Applications", Datel-Intersil, 1982.

